



Appendice A: tabelle descrittive residenti

1. PARAMETRI EMATOCHIMICI DI BASE

Nelle tabelle 1-12 sono riportati in dettaglio i risultati delle analisi descrittive riguardanti i parametri ematochimici di base dosati nei soggetti in studio.

Per ogni parametro è riportata la distribuzione della concentrazione nel sangue per zona di residenza, sesso e classe di età. Inoltre è riportato il valore di riferimento utilizzato dal laboratorio di analisi; il 95° percentile della distribuzione dei valori dell'intero campione in studio è evidenziato in grassetto laddove è maggiore del limite superiore dell'intervallo di riferimento.

Con il Test di Kruskal-Wallis è stata verificata la presenza di differenze statisticamente significative tra le mediane dei gruppi messi a confronto

Tab 1. Distribuzione valori di glucosio (mg/dl) per zona di residenza

	<i>n</i>	<i>media</i>	<i>dev std</i>	5° <i>perc</i>	25° <i>perc</i>	50° <i>perc</i>	75° <i>perc</i>	95° <i>perc</i>	<i>min</i>	<i>max</i>	<i>IQR</i>	<i>range</i>
<i>resid T03</i>	198	93.1	18.6	74	82	89.5	99	123	65	232	17	167
<i>resid T01</i>	196	95.2	21.9	77	84	91	97	133	68	232	13	164
<i>Test di Kruskal-Wallis: p-value = 0.539</i>												
<i>totale</i>	394	94.2	20.3	75.0	83.0	90.0	98.0	125.0	65.0	232.0	15.0	167.0
<i>totale escluso soggetti trattati*</i>	373	91.3	13.4	75	83	89	96	115	65	215	13	150

Valori di riferimento: 70-110 (mg/dl)

* dall'analisi sono stati esclusi i soggetti che dalle informazioni raccolte con il questionario risultato in terapia specifica

Tab 2. Distribuzione valori di glucosio (mg/dl) per sesso

	<i>n</i>	<i>media</i>	<i>dev std</i>	5° <i>perc</i>	25° <i>perc</i>	50° <i>perc</i>	75° <i>perc</i>	95° <i>perc</i>	<i>min</i>	<i>max</i>	<i>IQR</i>	<i>range</i>
<i>maschi</i>	195	96.5	18.4	75	86	93	101	129	66	215	15	149
<i>femmine</i>	199	91.9	21.8	74	82	87	95	123	65	232	13	167

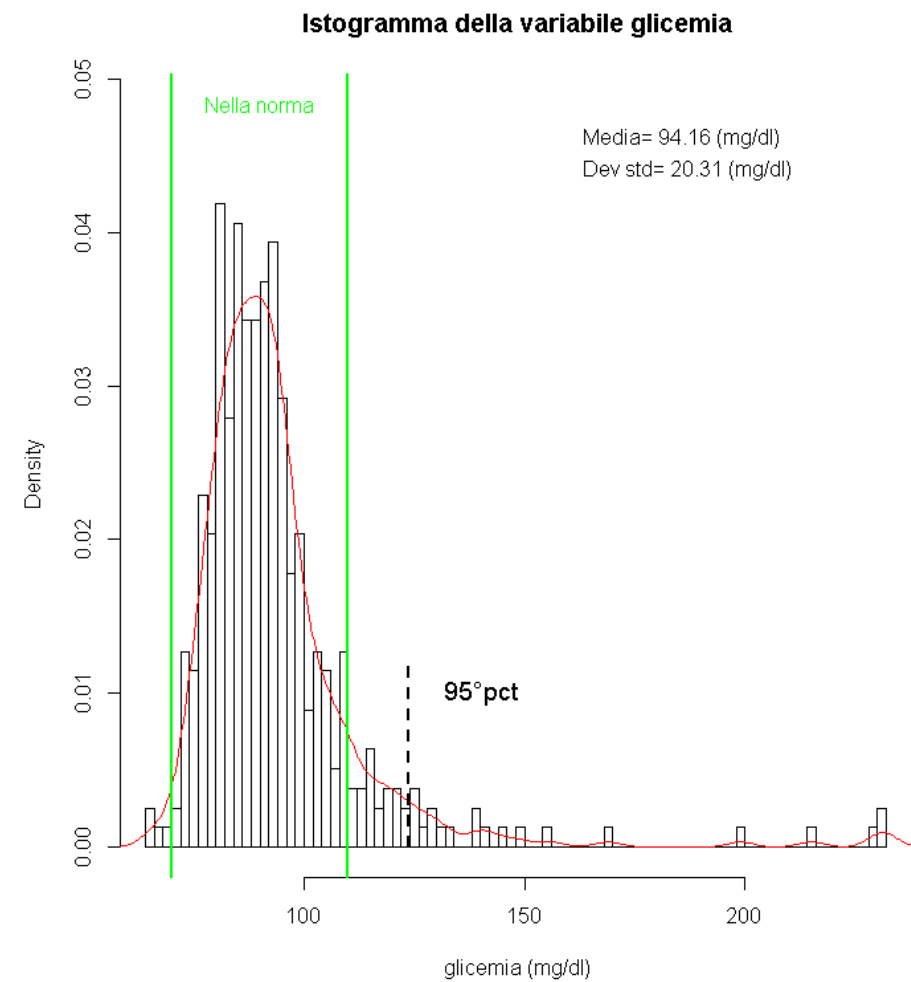
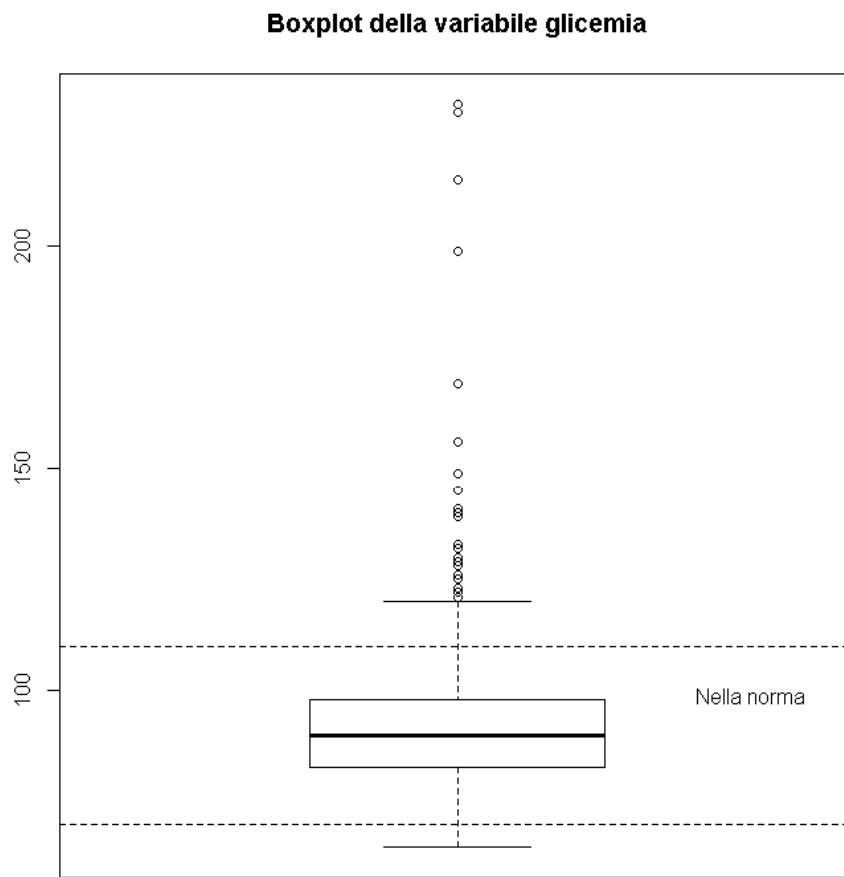
Test di Kruskal-Wallis: p-value <0.0001

Tab 3. Distribuzione valori di glucosio (mg/dl) per classi d'età

	<i>n</i>	<i>media</i>	<i>dev std</i>	5° <i>perc</i>	25° <i>perc</i>	50° <i>perc</i>	75° <i>perc</i>	95° <i>perc</i>	<i>min</i>	<i>max</i>	<i>IQR</i>	<i>range</i>
31-40	56	86.2	12.8	73	79.5	84	89	107	69	156	9.5	87
41-50	120	89.3	11.7	74	81	87	95	115.5	65	128	14	63
51-60	116	97.4	22.4	78	86	93	103	133	66	232	17	116
61-70	102	100.6	25.8	79	88	94	103	140	73	232	15	159

Test di Kruskal-Wallis: p-value <0.0001

Fig 1. Box plot e istogramma della distribuzione dei valori totali di glucosio (mg/dl)



Tab 4. Distribuzione valori di colesterolo totale (mg/dl) per zona di residenza

	<i>n</i>	<i>media</i>	<i>dev std</i>	5° <i>perc</i>	25° <i>perc</i>	50° <i>perc</i>	75° <i>perc</i>	95° <i>perc</i>	<i>min</i>	<i>max</i>	<i>IQR</i>	<i>range</i>
<i>resid T03</i>	198	210.7	34.7	157	188	209.5	231	275	124	310	43	186
<i>resid T01</i>	196	205.4	39.4	147	177.5	205.5	226	271	104	358	48.5	254
<i>Test di Kruskal-Wallis: p-value = 0.143</i>												
<i>totale</i>	394	208.1	37.1	154	182	207.5	228	273	104	358	46	254
<i>totale escluso soggetti trattati*</i>	345	210.4	34.9	157	186	210	231	272	104	327	45	223

Valori di riferimento: 50-250 (mg/dl)

* dall'analisi sono stati esclusi i soggetti che dalle informazioni raccolte con il questionario risultato in terapia specifica

Tab 5 . Distribuzione valori di colesterolo totale (mg/dl) per sesso

	<i>n</i>	<i>media</i>	<i>dev std</i>	5° <i>perc</i>	25° <i>perc</i>	50° <i>perc</i>	75° <i>perc</i>	95° <i>perc</i>	<i>min</i>	<i>max</i>	<i>IQR</i>	<i>range</i>
<i>maschi</i>	195	203.7	35.39	147	179	204	224	269	104	310	45	206
<i>femmine</i>	199	212.3	38.4	156	184	211	234	280	111	358	50	247

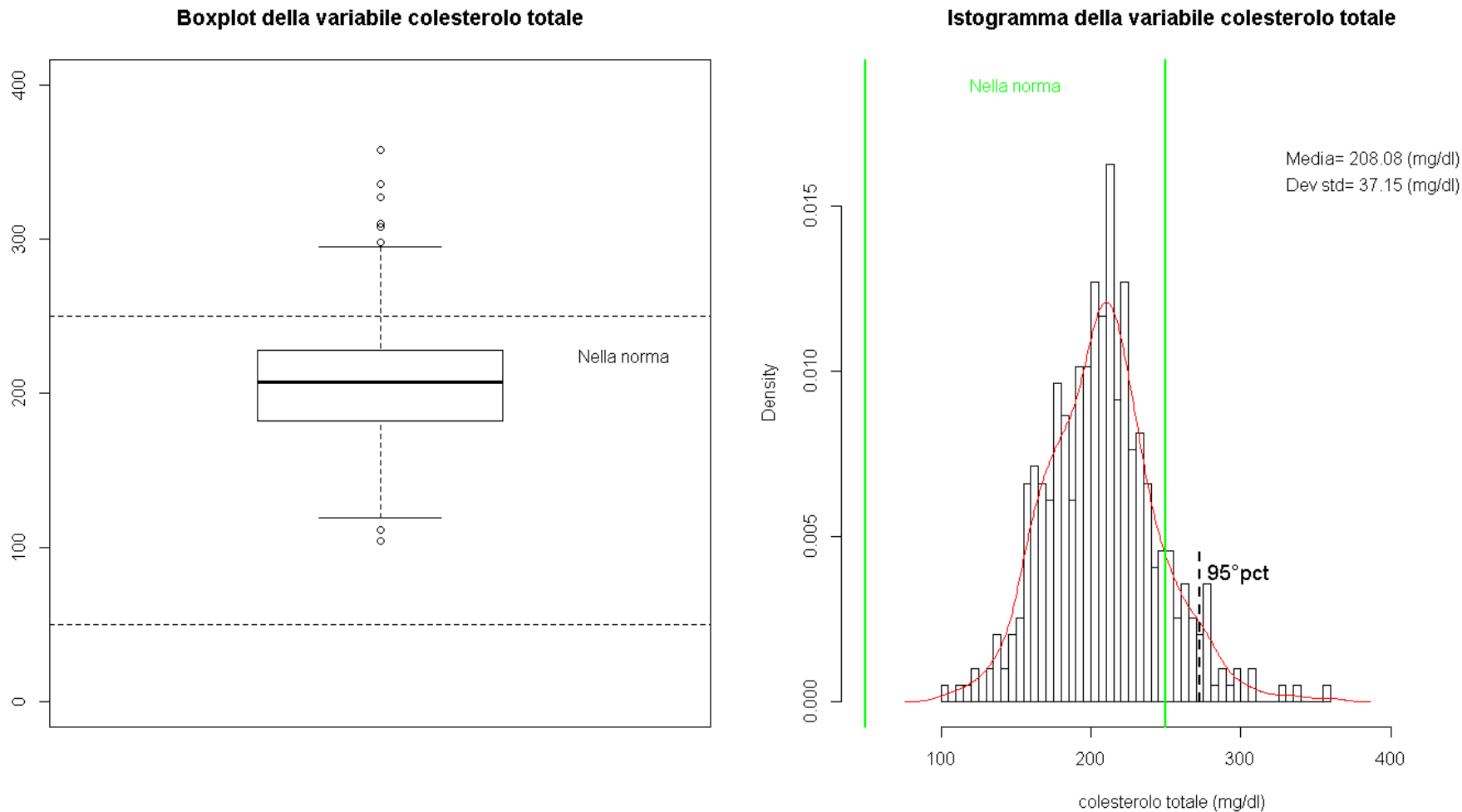
Test di Kruskal-Wallis: p-value = 0.028

Tab 6. Distribuzione valori di colesterolo totale (mg/dl) per classi d'età

	<i>n</i>	<i>media</i>	<i>dev std</i>	5° <i>perc</i>	25° <i>perc</i>	50° <i>perc</i>	75° <i>perc</i>	95° <i>perc</i>	<i>min</i>	<i>max</i>	<i>IQR</i>	<i>range</i>
<i>31-40</i>	56	191.3	33.3	137	169	190	212	269	132	277	43	145
<i>41-50</i>	120	208.0	37.0	157	180.5	207.5	227.5	275	111	336	47	225
<i>51-60</i>	116	221.8	35.0	166	201.5	218.5	237.5	280	157	358	36	201
<i>61-70</i>	102	201.8	36.6	145	177	204	224	263	104	298	47	194

Test di Kruskal-Wallis: p-value <0.0001

Fig 2. Box plot e istogramma della distribuzione dei valori totali di colesterolo totale (mg/dl)



Tab 7. Distribuzione valori di colesterolo hdl (mg/dl) per zona di residenza

	<i>n</i>	<i>media</i>	<i>dev std</i>	5° <i>perc</i>	25° <i>perc</i>	50° <i>perc</i>	75° <i>perc</i>	95° <i>perc</i>	<i>min</i>	<i>max</i>	<i>IQR</i>	<i>range</i>
<i>resid T03</i>	198	57.0	13.3	39	48	56	65	81	31	107	17	76
<i>resid T01</i>	196	57.1	14.6	36	47	55	66	84	27	105	19	78
<i>Test di Kruskal-Wallis: p-value = 0.143</i>												
<i>totale</i>	394	57.1	13.9	37	47	55	65	82	27	107	18	80
<i>totale escluso soggetti trattati*</i>	345	57.6	14.2	37	48	56	66	83	27	107	18	80

Valori di riferimento: 35-80 (mg/dl)

* dall'analisi sono stati esclusi i soggetti che dalle informazioni raccolte con il questionario risultato in terapia specifica

Tab 8. Distribuzione valori di colesterolo hdl (mg/dl) per sesso

	<i>n</i>	<i>media</i>	<i>dev std</i>	5° <i>perc</i>	25° <i>perc</i>	50° <i>perc</i>	75° <i>perc</i>	95° <i>perc</i>	<i>min</i>	<i>max</i>	<i>IQR</i>	<i>range</i>
<i>maschi</i>	195	50.0	10.8	35	43	48	55	70	27	89	12	62
<i>femmine</i>	199	64.0	13.2	46	55	62	72	89	31	107	17	76

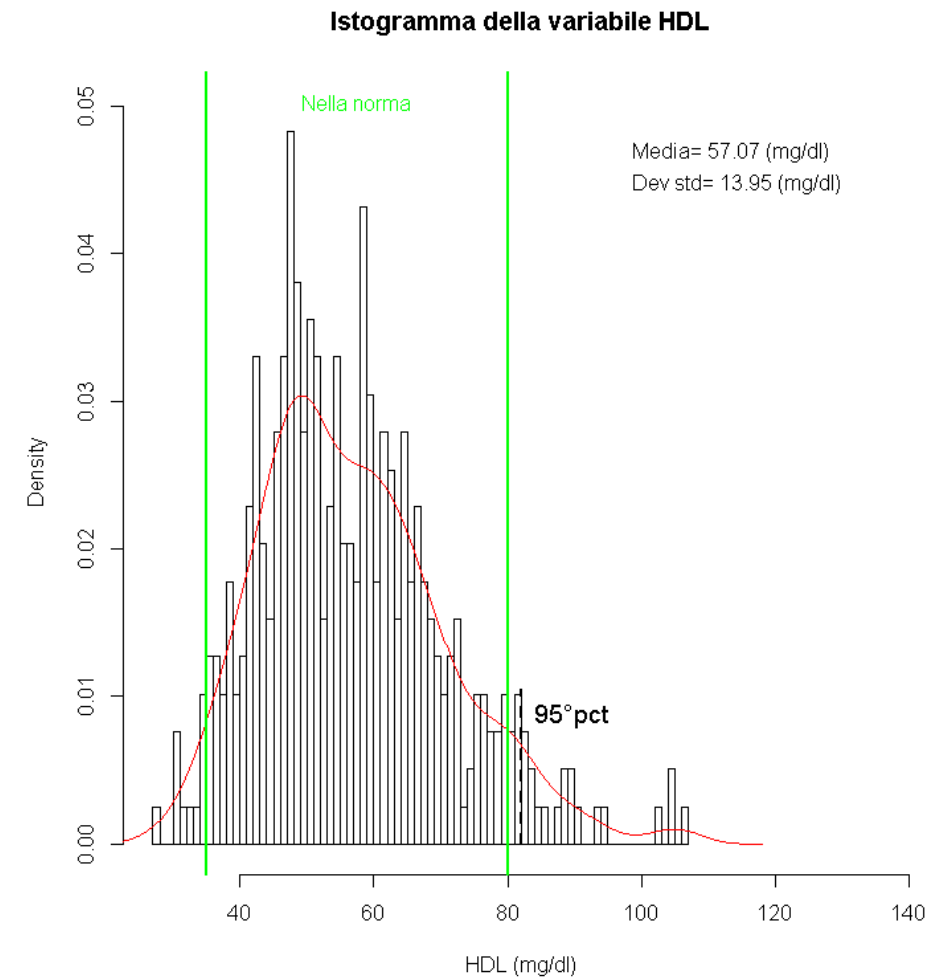
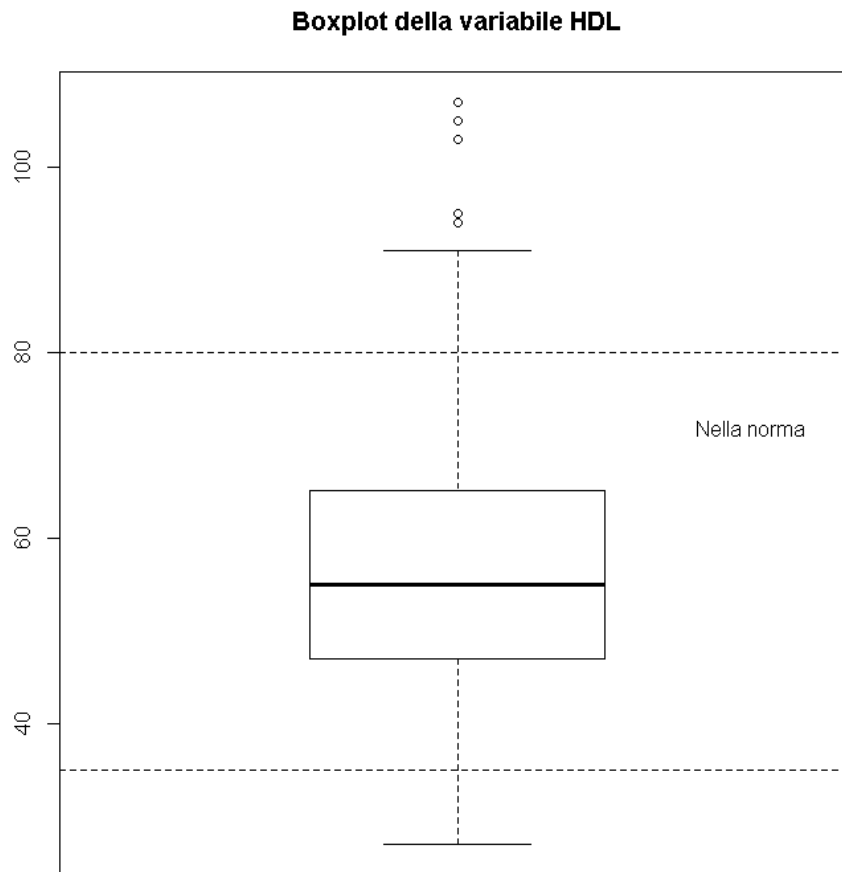
Test di Kruskal-Wallis: p-value <0.0001

Tab 9. Distribuzione valori di colesterolo hdl (mg/dl) per classi d'età

	<i>n</i>	<i>media</i>	<i>dev std</i>	5° <i>perc</i>	25° <i>perc</i>	50° <i>perc</i>	75° <i>perc</i>	95° <i>perc</i>	<i>min</i>	<i>max</i>	<i>IQR</i>	<i>range</i>
<i>31-40</i>	56	55.2	12.6	38	46	54	61.5	78	27	91	15.5	64
<i>41-50</i>	120	56.7	14.0	37	46	54.5	65	82	31	95	19	64
<i>51-60</i>	116	59.2	14.5	39	48.5	58	66.5	84	31	107	18	76
<i>61-70</i>	102	56.1	13.8	36	47	53.5	65	82	31	103	18	72

Test di Kruskal-Wallis: p-value <0.243

Fig 3. Box plot e istogramma della distribuzione dei valori totali di colesterolo hdl (mg/dl)



Tab 10. Distribuzione valori di trigliceridi (mg/dl) per zona di residenza

	<i>n</i>	<i>media</i>	<i>dev std</i>	5° <i>perc</i>	25° <i>perc</i>	50° <i>perc</i>	75° <i>perc</i>	95° <i>perc</i>	<i>min</i>	<i>max</i>	<i>IQR</i>	<i>range</i>
<i>resid T03</i>	198	118.5	89.8	51	71	93.5	131	270	34	803	60	769
<i>resid T01</i>	196	115.2	65.6	47	71	100	136.5	253	25	383	65.5	358
<i>Test di Kruskal-Wallis: p-value = 0.628</i>												
<i>totale</i>	394	117.1	78.5	49	71	96	135	261	25	803	64	778

Valori di riferimento: 25-180 (mg/dl)

Tab 11. Distribuzione valori di trigliceridi (mg/dl) per sesso

	<i>n</i>	<i>media</i>	<i>dev std</i>	5° <i>perc</i>	25° <i>perc</i>	50° <i>perc</i>	75° <i>perc</i>	95° <i>perc</i>	<i>min</i>	<i>max</i>	<i>IQR</i>	<i>range</i>
<i>maschi</i>	195	133.2	91.0	53	80	107	158	294	41	803	78	762
<i>femmine</i>	199	100.9	60.2	47	61	86	117	204	25	471	56	446

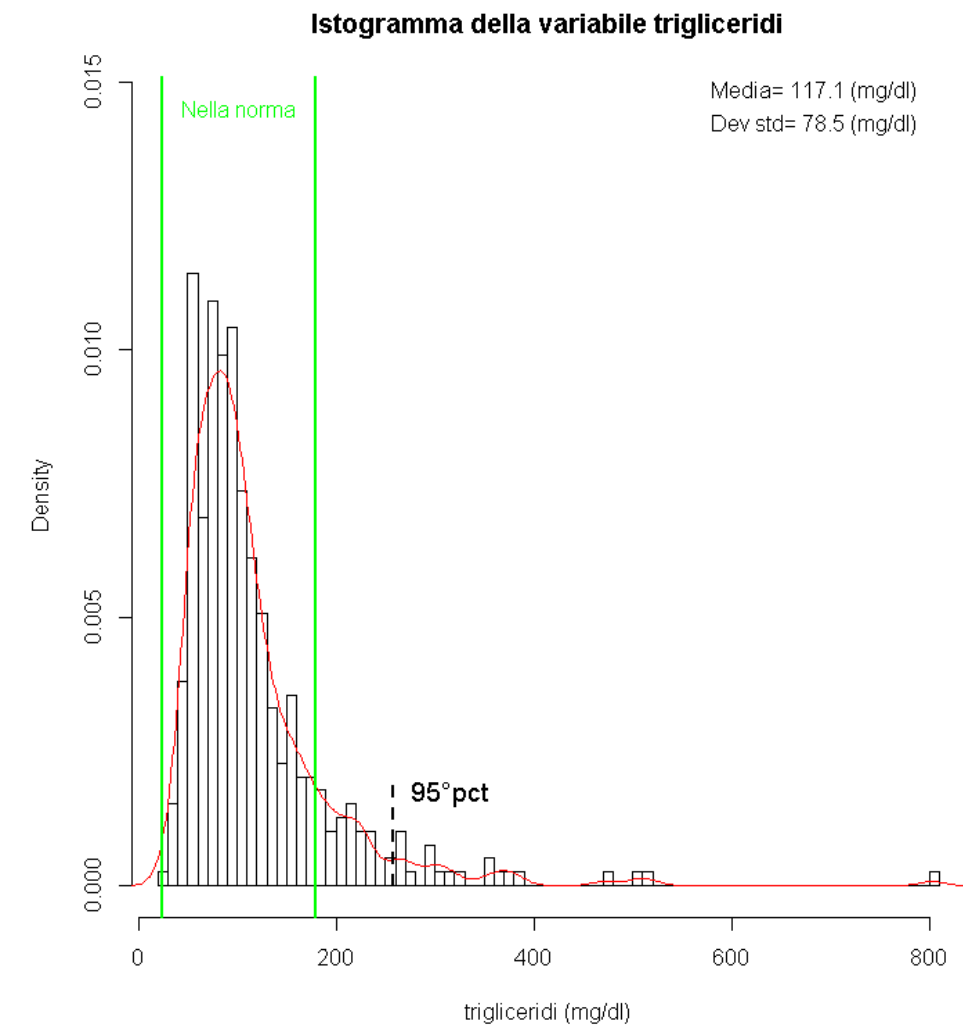
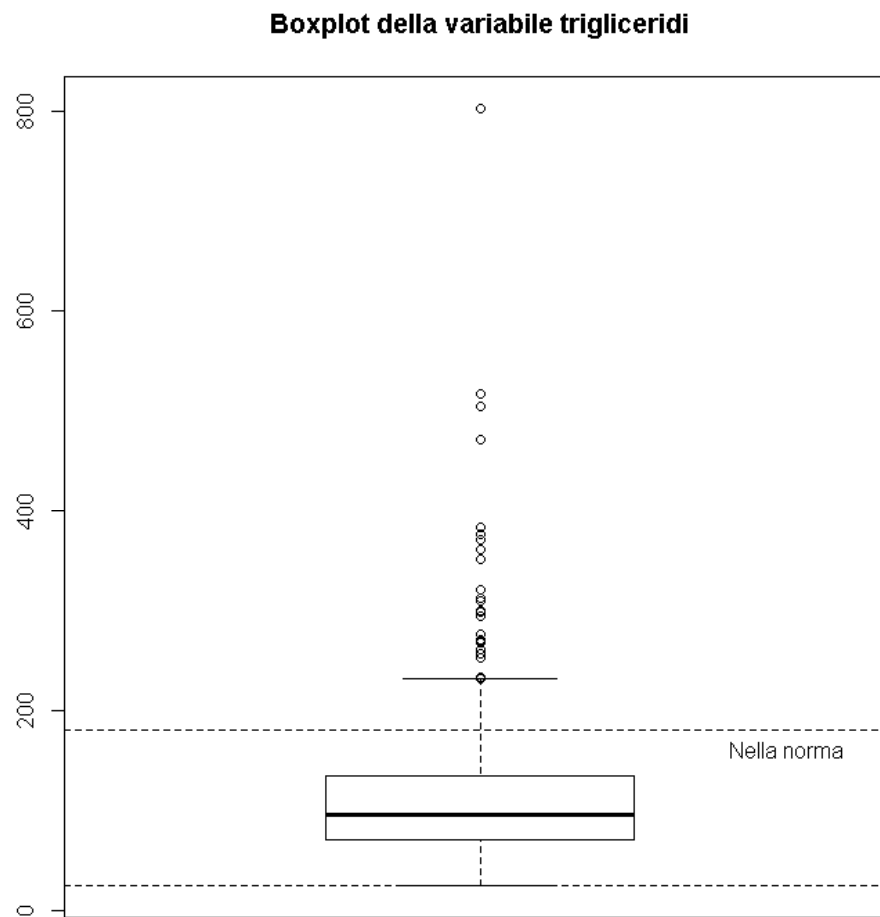
Test di Kruskal-Wallis: p-value <0.0001

Tab 12. Distribuzione valori di trigliceridi (mg/dl) per classi d'età

	<i>n</i>	<i>media</i>	<i>dev std</i>	5° <i>perc</i>	25° <i>perc</i>	50° <i>perc</i>	75° <i>perc</i>	95° <i>perc</i>	<i>min</i>	<i>max</i>	<i>IQR</i>	<i>range</i>
<i>31-40</i>	56	98.1	59.4	47	58	77.5	117.5	230	38	360	59.5	322
<i>41-50</i>	120	112.3	70.2	41.5	60.5	98	130	243	25	504	69.5	479
<i>51-60</i>	116	126.3	94.8	50	76	100.5	141.5	299	41	803	65.5	762
<i>61-70</i>	102	121.7	75.7	60	78	95	147	257	49	517	69	468

Test di Kruskal-Wallis: p-value = 0.0168

Fig 4. Box plot e istogramma della distribuzione dei valori totali di trigliceridi (mg/dl)



2. PARAMETRI FUNZIONALITA' RENALE

Nelle tabelle 13-24 sono riportati in dettaglio i risultati delle analisi descrittive riguardanti i parametri per la funzionalità renale dosati nei soggetti in studio.

Tab 13. Distribuzione valori di azotemia (mg/dl) per zona di residenza

	<i>n</i>	<i>media</i>	<i>dev std</i>	5° <i>perc</i>	25° <i>perc</i>	50° <i>perc</i>	75° <i>perc</i>	95° <i>perc</i>	<i>min</i>	<i>max</i>	<i>IQR</i>	<i>range</i>
<i>resid T03</i>	198	36.4	8.8	23	30	36	41	52	15	64	11	49
<i>resid T01</i>	196	35.9	10.8	22	29	34	41	56	18	88	12	70
<i>Test di Kruskal-Wallis: p-value=0.0858</i>												
<i>totale</i>	394	36.1	9.8	23	29	35	41	55	15	88	12	73

Valori di riferimento: 10-50 mg/dl

Tab 14. Distribuzione valori di azotemia (mg/dl) per sesso

	<i>n</i>	<i>media</i>	<i>dev std</i>	5° <i>perc</i>	25° <i>perc</i>	50° <i>perc</i>	75° <i>perc</i>	95° <i>perc</i>	<i>min</i>	<i>max</i>	<i>IQR</i>	<i>range</i>
<i>maschi</i>	195	38.1	8.7	25	32	37	42	56	20	64	10	44
<i>femmine</i>	199	34.2	10.5	21	27	33	39	52	15	88	12	73

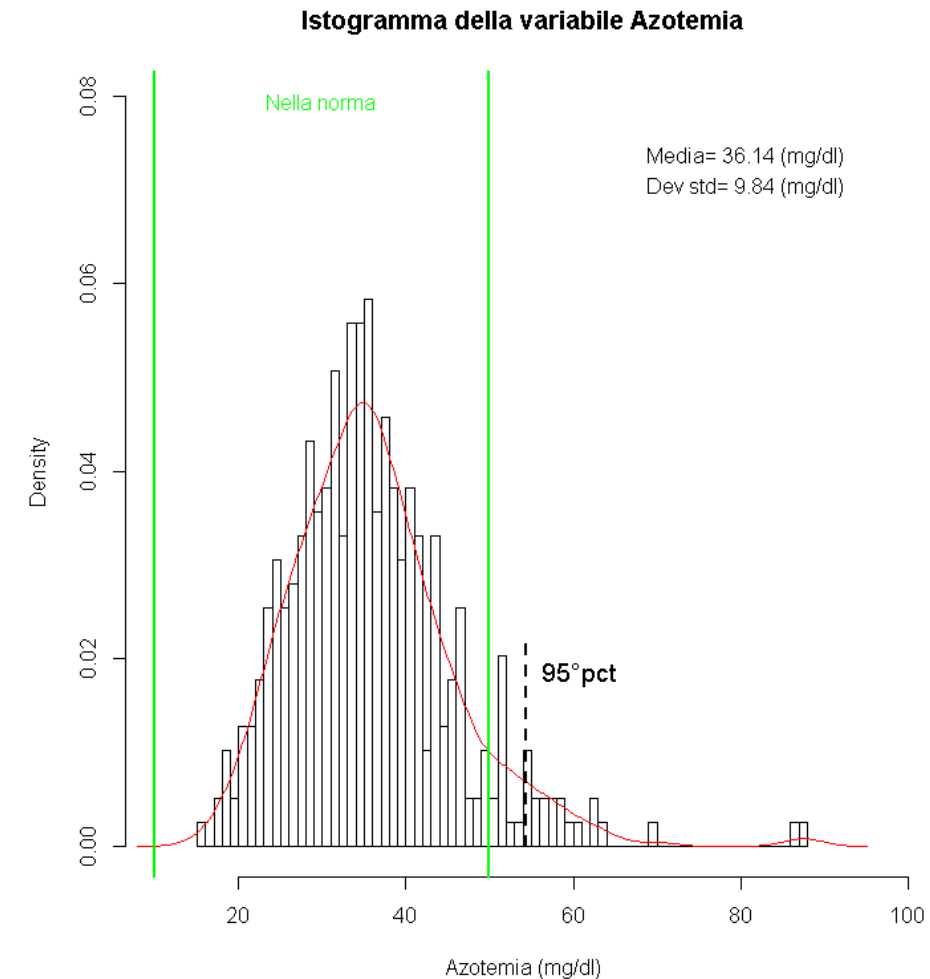
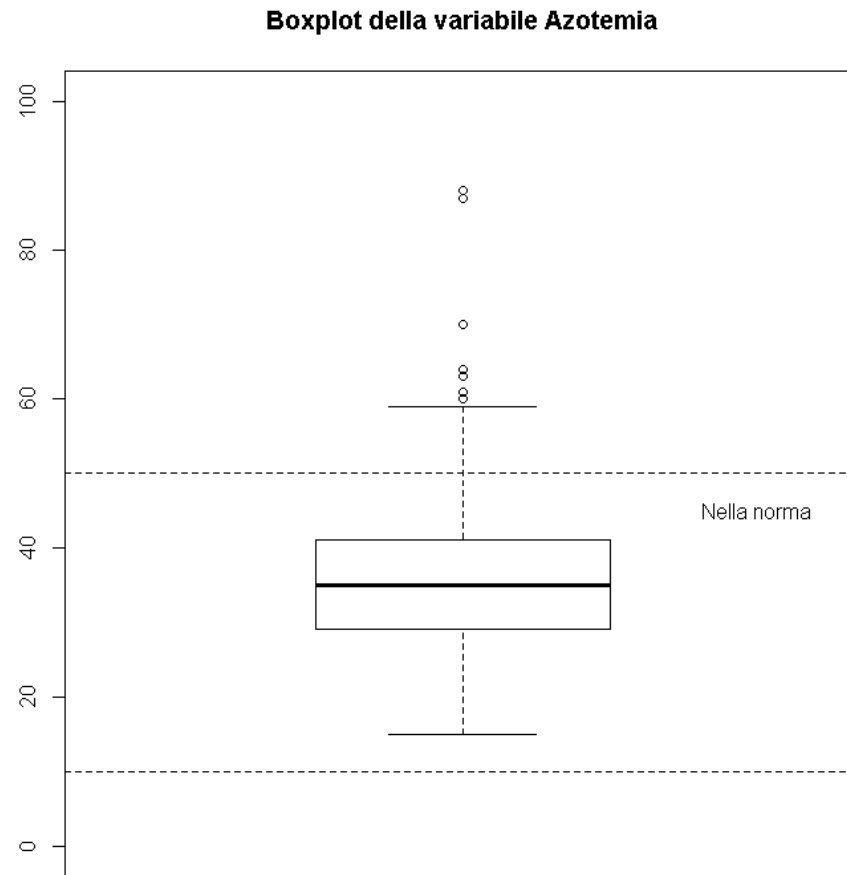
Test di Kruskal-Wallis: p-value<0.0001

Tab 15. Distribuzione valori di azotemia (mg/dl) per classi d'età

	<i>n</i>	<i>media</i>	<i>dev std</i>	5° <i>perc</i>	25° <i>perc</i>	50° <i>perc</i>	75° <i>perc</i>	95° <i>perc</i>	<i>min</i>	<i>max</i>	<i>IQR</i>	<i>range</i>
<i>31-40</i>	56	32.5	9.1	18	26.5	32	36	50	15	56	9.5	41
<i>41-50</i>	120	34.0	9.1	22.5	26.5	33	39	51.5	19	64	12.5	45
<i>51-60</i>	116	36.8	9.8	22	31	35.5	41	57	20	88	10	68
<i>61-70</i>	102	40.0	9.9	28	32	39	44	56	23	87	12	64

Test di Kruskal-Wallis: p-value<0.0001

Fig 5. Box plot e istogramma della distribuzione dei valori totali di azotemia (mg/dl)



Tab 16. Distribuzione valori di creatinina (mg/dl) per zona di residenza

	<i>n</i>	<i>media</i>	<i>dev std</i>	5° <i>perc</i>	25° <i>perc</i>	50° <i>perc</i>	75° <i>perc</i>	95° <i>perc</i>	<i>min</i>	<i>max</i>	<i>IQR</i>	<i>range</i>
<i>resid T03</i>	198	0.98	0.15	0.75	0.87	0.95	1.06	1.23	0.6	1.58	0.19	0.98
<i>resid T01</i>	196	1.02	0.19	0.77	0.885	0.99	1.12	1.32	0.58	1.97	0.235	1.39
<i>Test di Kruskal-Wallis: p-value=0.0216</i>												
<i>totale</i>	394	1.00	0.17	0.77	0.88	0.97	1.09	1.27	0.58	1.97	0.21	1.39

Valori di riferimento: 0.50–1.30 (mg/dl)

Tab 17. Distribuzione valori di creatinina (mg/dl) per sesso

	<i>n</i>	<i>media</i>	<i>dev std</i>	5° <i>perc</i>	25° <i>perc</i>	50° <i>perc</i>	75° <i>perc</i>	95° <i>perc</i>	<i>min</i>	<i>max</i>	<i>IQR</i>	<i>range</i>
<i>maschi</i>	195	1.10	0.13	0.91	1	1.08	1.17	1.32	0.8	1.58	0.17	0.78
<i>femmine</i>	199	0.90	0.15	0.73	0.82	0.88	0.94	1.07	0.58	1.97	0.12	1.39

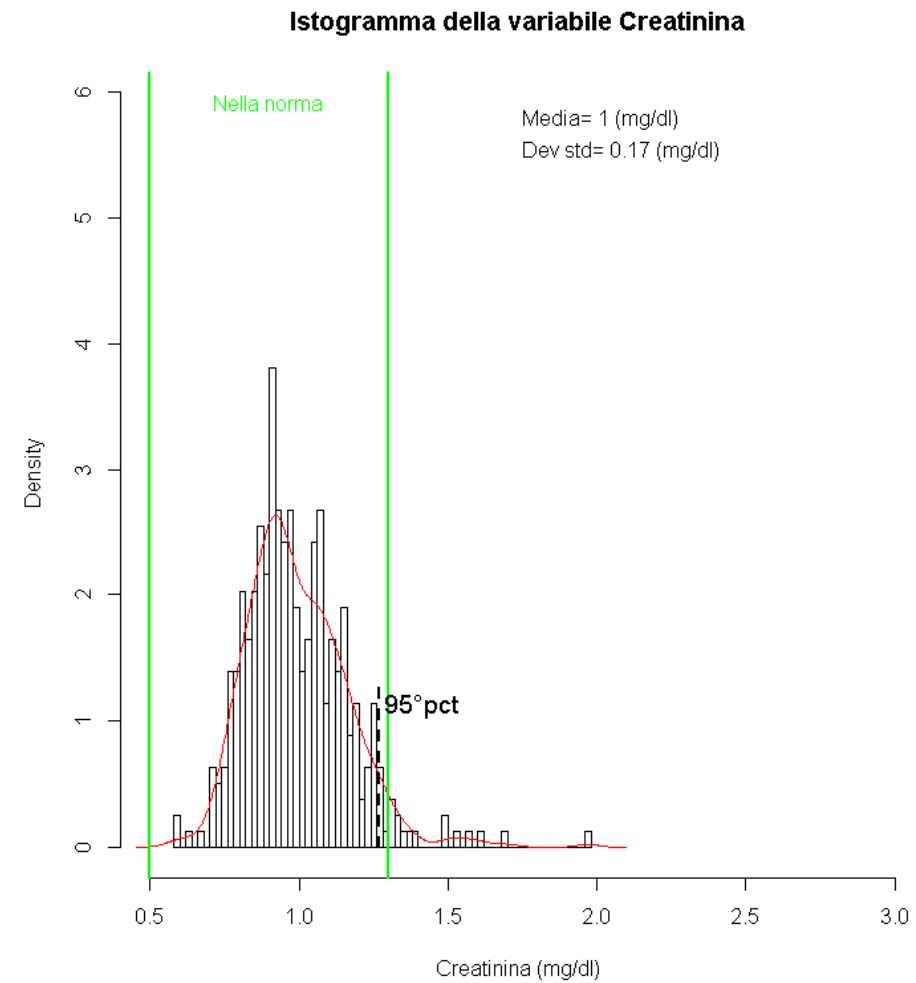
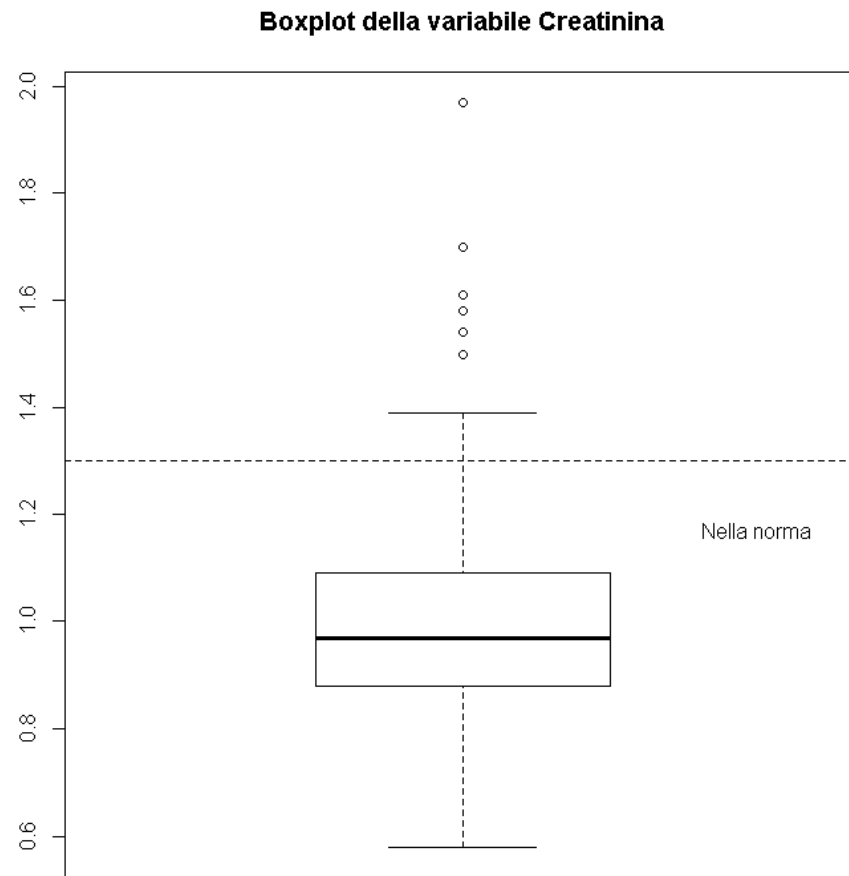
Test di Kruskal-Wallis: p-value<0.0001

Tab 18. Distribuzione valori di creatinina(mg/dl) per classi d'età

	<i>n</i>	<i>media</i>	<i>dev std</i>	5° <i>perc</i>	25° <i>perc</i>	50° <i>perc</i>	75° <i>perc</i>	95° <i>perc</i>	<i>min</i>	<i>max</i>	<i>IQR</i>	<i>range</i>
<i>31-40</i>	56	0.98	0.13	0.77	0.89	0.985	1.08	1.16	0.6	1.23	0.19	0.63
<i>41-50</i>	120	0.98	0.17	0.74	0.865	0.965	1.08	1.255	0.58	1.58	0.215	1
<i>51-60</i>	116	1.00	0.17	0.78	0.88	0.96	1.09	1.32	0.72	1.61	0.21	0.89
<i>61-70</i>	102	1.02	0.20	0.77	0.89	1	1.13	1.31	0.64	1.97	0.24	1.33

Test di Kruskal-Wallis: p-value<0.506

Fig 6. Box plot e istogramma della distribuzione dei valori totali di creatinina (mg/dl)



Tab 19. Distribuzione valori di fosfatasi alcalina (mmol/l) per zona di residenza

	<i>n</i>	<i>media</i>	<i>dev std</i>	5° <i>perc</i>	25° <i>perc</i>	50° <i>perc</i>	75° <i>perc</i>	95° <i>perc</i>	<i>min</i>	<i>max</i>	<i>IQR</i>	<i>range</i>
<i>resid T03</i>	195	1.07	0.18	0.78	0.95	1.07	1.19	1.32	0.37	1.6	0.24	1.23
<i>resid T01</i>	196	1.06	0.19	0.76	0.915	1.06	1.185	1.37	0.5	1.56	0.27	1.06
<i>Test di Kruskal-Wallis: p-value = 0.428</i>												
<i>totale</i>	391	1.06	0.18	0.76	0.94	1.07	1.19	1.34	0.37	1.6	0.25	1.23

Valori di riferimento 0.81 – 1.45 (mmol/l)

Tab 20. Distribuzione valori di fosfatasi alcalina (mmol/l) per sesso

	<i>n</i>	<i>media</i>	<i>dev std</i>	5° <i>perc</i>	25° <i>perc</i>	50° <i>perc</i>	75° <i>perc</i>	95° <i>perc</i>	<i>min</i>	<i>max</i>	<i>IQR</i>	<i>range</i>
<i>maschi</i>	194	0.98	0.18	0.7	0.87	0.98	1.1	1.26	0.37	1.5	0.23	1.13
<i>femmine</i>	197	1.14	0.15	0.89	1.05	1.14	1.25	1.4	0.72	1.6	0.2	0.88

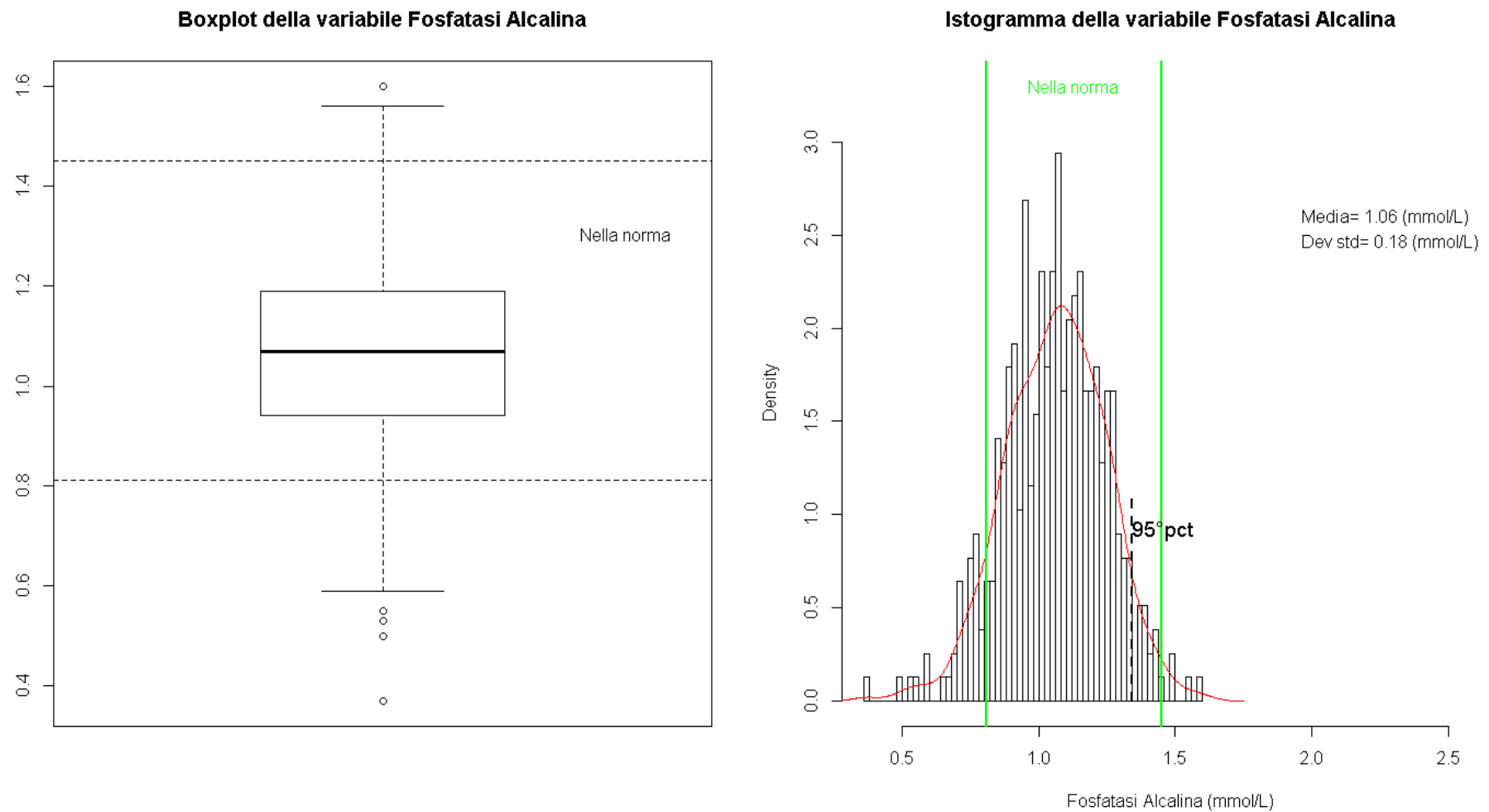
Test di Kruskal-Wallis: p-value<0.0001

Tab 21. Distribuzione valori di fosfatasi alcalina (mmol/l) per classi d'età

	<i>n</i>	<i>media</i>	<i>dev std</i>	5° <i>perc</i>	25° <i>perc</i>	50° <i>perc</i>	75° <i>perc</i>	95° <i>perc</i>	<i>min</i>	<i>max</i>	<i>IQR</i>	<i>range</i>
<i>31-40</i>	56	1.08	0.18	0.8	0.955	1.05	1.22	1.45	0.71	1.56	0.265	0.85
<i>41-50</i>	117	1.04	0.18	0.76	0.91	1.06	1.16	1.29	0.55	1.6	0.25	1.05
<i>51-60</i>	116	1.07	0.19	0.75	0.95	1.085	1.185	1.4	0.37	1.5	0.235	1.13
<i>61-70</i>	102	1.07	0.18	0.76	0.92	1.075	1.21	1.32	0.5	1.41	0.29	0.91

Test di Kruskal-Wallis: p-value = 0.632

Fig 7. Box plot e istogramma della distribuzione dei valori totali di fosfatasi alcalina (mmol/l)



Tab 22. Distribuzione valori di microalbuminuria (mmol/l) per zona di residenza

	<i>n</i>	<i>media</i>	<i>dev std</i>	5° <i>perc</i>	25° <i>perc</i>	50° <i>perc</i>	75° <i>perc</i>	95° <i>perc</i>	<i>min</i>	<i>max</i>	<i>IQR</i>	<i>range</i>
<i>resid T03</i>	198	14.88	26.80	2.2	4.8	7.9	14.1	40.7	1.7	218.6	9.3	216.9
<i>resid T01</i>	195	17.13	32.06	2.1	5.2	9.8	17	42.8	0.5	321.5	11.8	321
<i>Test di Kruskal-Wallis: p-value=0.0614</i>												
<i>totale</i>	393	16.00	29.52	2.2	4.9	8.65	15.6	40.7	0.5	321.5	10.7	321

Valori di riferimento 0.0 - 20.0 (mmol/l)

Tab 23. Distribuzione valori di microalbuminuria (mmol/l) per sesso

	<i>n</i>	<i>media</i>	<i>dev std</i>	5° <i>perc</i>	25° <i>perc</i>	50° <i>perc</i>	75° <i>perc</i>	95° <i>perc</i>	<i>min</i>	<i>max</i>	<i>IQR</i>	<i>range</i>
<i>maschi</i>	195	18.52	36.53	2.2	5.1	8.7	15.7	56.6	0.7	321.5	10.6	320.8
<i>femmine</i>	198	13.47	19.99	2.2	4.7	8.6	15.5	29.9	0.5	166.7	10.8	166.2

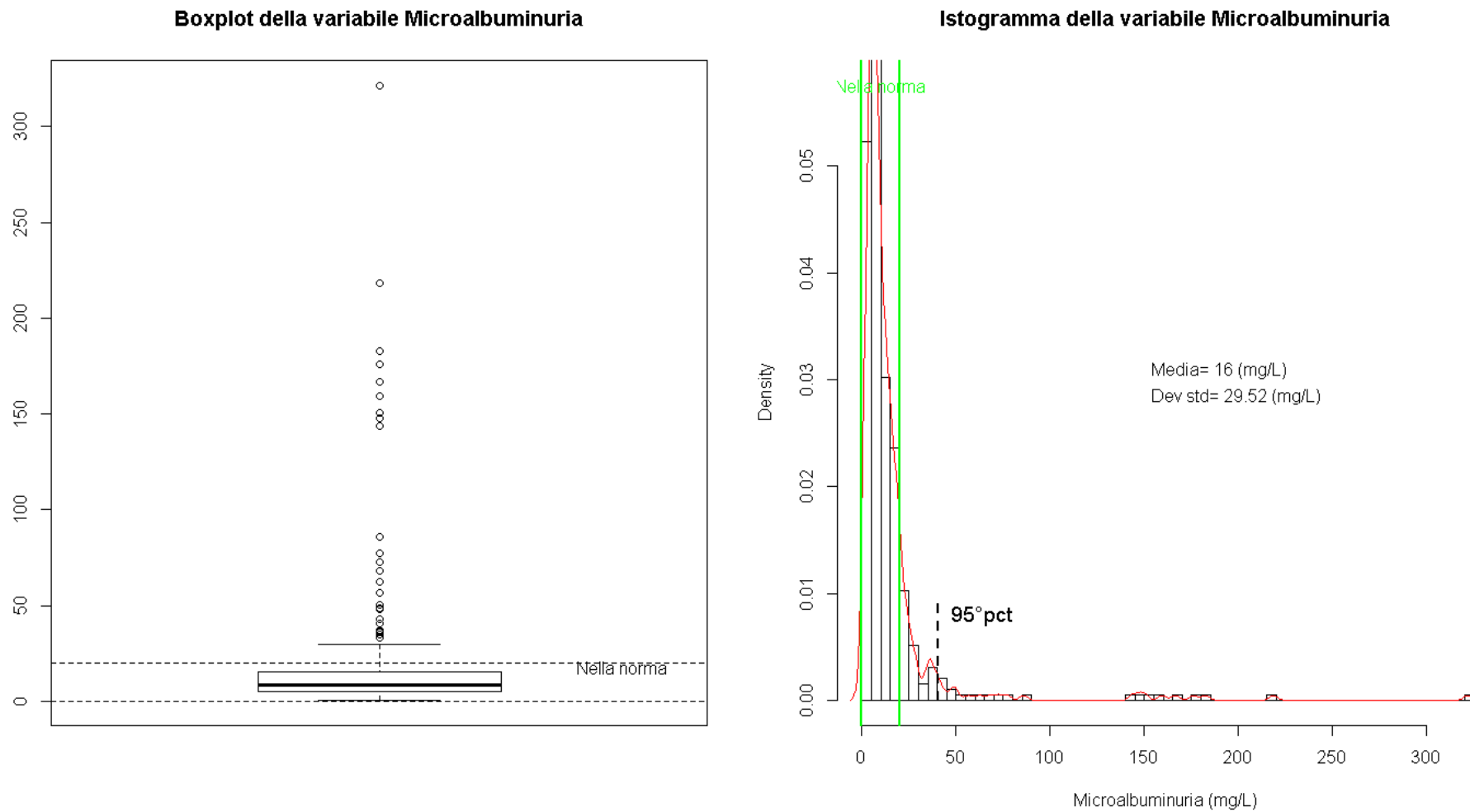
Test di Kruskal-Wallis: p-value = 0.502

Tab 24. Distribuzione valori di microalbuminuria (mmol/l) per classi d'età

	<i>n</i>	<i>media</i>	<i>dev std</i>	5° <i>perc</i>	25° <i>perc</i>	50° <i>perc</i>	75° <i>perc</i>	95° <i>perc</i>	<i>min</i>	<i>max</i>	<i>IQR</i>	<i>range</i>
<i>31-40</i>	56	11.24	8.58	2.2	4.2	8.7	16	27.3	2.1	40.6	11.8	38.5
<i>41-50</i>	120	19.21	31.97	2.1	5.2	10.6	18.5	68.2	0.5	218.6	13.3	218.1
<i>51-60</i>	116	14.44	34.07	2.1	4.4	7.6	13.4	29.9	1	321.5	9	320.5
<i>61-70</i>	101	16.67	28.24	3.2	5.95	8.85	15.35	45.3	0.7	182.7	9.4	182

Test di Kruskal-Wallis: p-value = 0.139

Fig 8. Box plot e istogramma della distribuzione dei valori totali di microalbuminuria (mmol/l)



3. PARAMETRI FUNZIONALITA' EPATICA

Nelle tabelle 25-42 sono riportati in dettaglio i risultati delle analisi descrittive riguardanti i parametri per la funzionalità epatica dosati nei soggetti in studio.

Tab 25. Distribuzione valori di bilirubina diretta (mg/dl) per zona di residenza

	<i>n</i>	<i>media</i>	<i>dev std</i>	5° <i>perc</i>	25° <i>perc</i>	50° <i>perc</i>	75° <i>perc</i>	95° <i>perc</i>	<i>min</i>	<i>max</i>	<i>IQR</i>	<i>range</i>
<i>resid T03</i>	198	0.12	0.05	0.05	0.08	0.11	0.14	0.22	0.02	0.32	0.06	0.3
<i>resid T01</i>	196	0.13	0.06	0.06	0.08	0.11	0.15	0.25	0.03	0.39	0.07	0.36
<i>Test di Kruskal-Wallis: p-value = 0.205</i>												
<i>totale</i>	394	0.12	0.05	0.06	0.08	0.11	0.15	0.23	0.02	0.39	0.07	0.37

Valori di riferimento: 0.0-0.30 (mg/dl)

Tab 26. Distribuzione valori di bilirubina diretta (mg/dl) per sesso

	<i>n</i>	<i>media</i>	<i>dev std</i>	5° <i>perc</i>	25° <i>perc</i>	50° <i>perc</i>	75° <i>perc</i>	95° <i>perc</i>	<i>min</i>	<i>max</i>	<i>IQR</i>	<i>range</i>
<i>maschi</i>	195	0.13	0.05	0.06	0.1	0.12	0.16	0.23	0.05	0.39	0.06	0.34
<i>femmine</i>	199	0.11	0.06	0.06	0.08	0.1	0.13	0.25	0.02	0.32	0.05	0.3

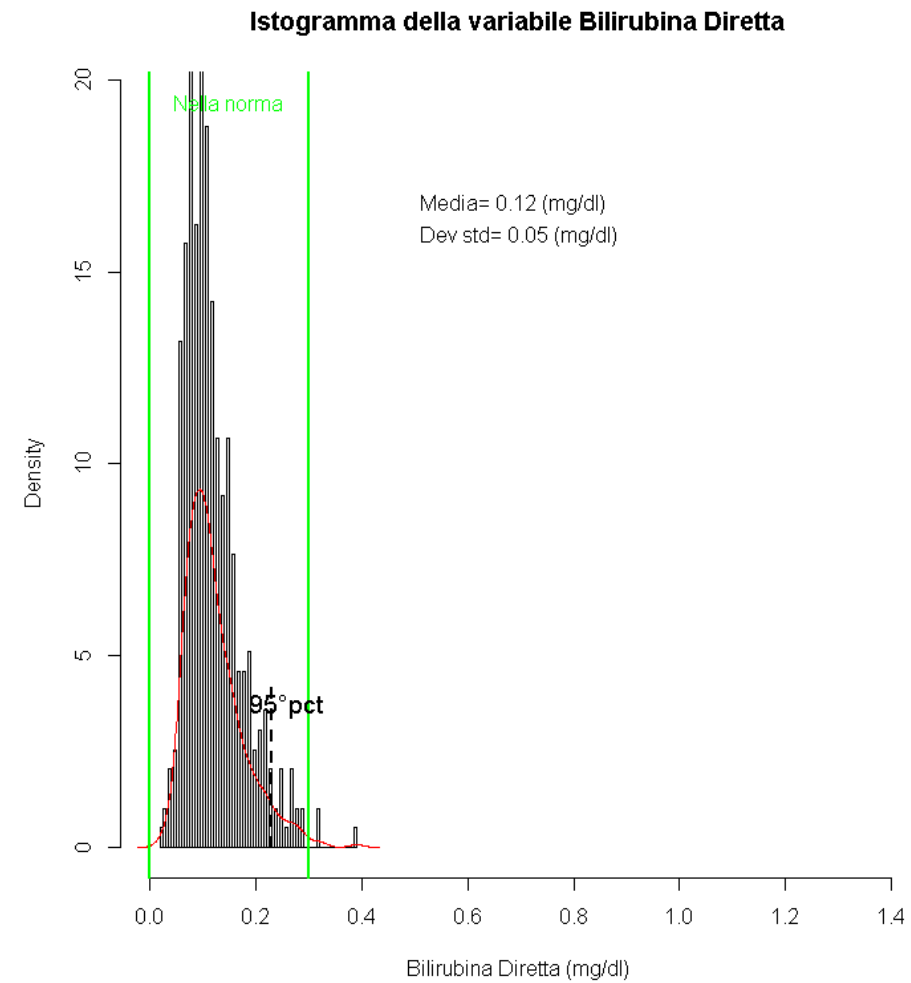
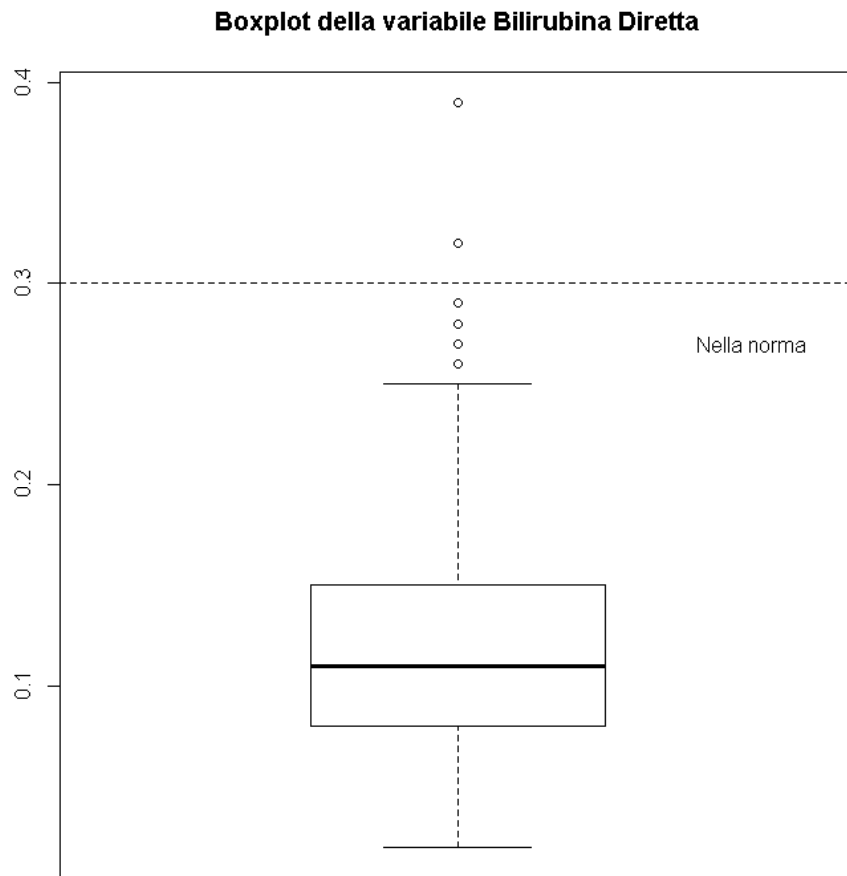
Test di Kruskal-Wallis: p-value < 0.0001

Tab 27. Distribuzione valori di bilirubina diretta (mg/dl) per classi d'età

	<i>n</i>	<i>media</i>	<i>dev std</i>	5° <i>perc</i>	25° <i>perc</i>	50° <i>perc</i>	75° <i>perc</i>	95° <i>perc</i>	<i>min</i>	<i>max</i>	<i>IQR</i>	<i>range</i>
<i>31-40</i>	56	0.13	0.06	0.05	0.08	0.11	0.15	0.25	0.03	0.39	0.07	0.36
<i>41-50</i>	120	0.12	0.06	0.06	0.085	0.1	0.145	0.255	0.02	0.32	0.06	0.3
<i>51-60</i>	116	0.12	0.05	0.06	0.08	0.11	0.14	0.21	0.04	0.29	0.06	0.25
<i>61-70</i>	102	0.12	0.05	0.06	0.08	0.105	0.15	0.22	0.03	0.32	0.07	0.29

Test di Kruskal-Wallis: p-value = 0.935

Fig 9. Box plot e istogramma della distribuzione dei valori totali di bilirubina diretta (mg/dl)



Tab 28. Distribuzione valori di bilirubina indiretta (mg/dl) per zona di residenza

	<i>n</i>	<i>media</i>	<i>dev std</i>	5° <i>perc</i>	25° <i>perc</i>	50° <i>perc</i>	75° <i>perc</i>	95° <i>perc</i>	<i>min</i>	<i>max</i>	<i>IQR</i>	<i>range</i>
<i>resid T03</i>	198	0.63	0.41	0.3	0.43	0.54	0.75	1.22	0.22	4.43	0.32	4.21
<i>resid T01</i>	196	0.65	0.31	0.33	0.425	0.575	0.79	1.21	0.25	2.25	0.365	2
<i>Test di Kruskal-Wallis: p-value = 0.276</i>												
<i>totale</i>	394	0.64	0.36	0.3	0.43	0.56	0.76	1.21	0.22	4.43	0.33	4.21

Valori di riferimento: 0.00 – 0.80 (mg/dl)

Tab 29. Distribuzione valori di bilirubina indiretta (mg/dl) per sesso

	<i>n</i>	<i>media</i>	<i>dev std</i>	5° <i>perc</i>	25° <i>perc</i>	50° <i>perc</i>	75° <i>perc</i>	95° <i>perc</i>	<i>min</i>	<i>max</i>	<i>IQR</i>	<i>range</i>
<i>maschi</i>	195	0.69	0.32	0.34	0.48	0.61	0.81	1.21	0.24	2.46	0.33	2.22
<i>femmine</i>	199	0.59	0.39	0.29	0.39	0.48	0.67	1.22	0.22	4.43	0.28	4.21

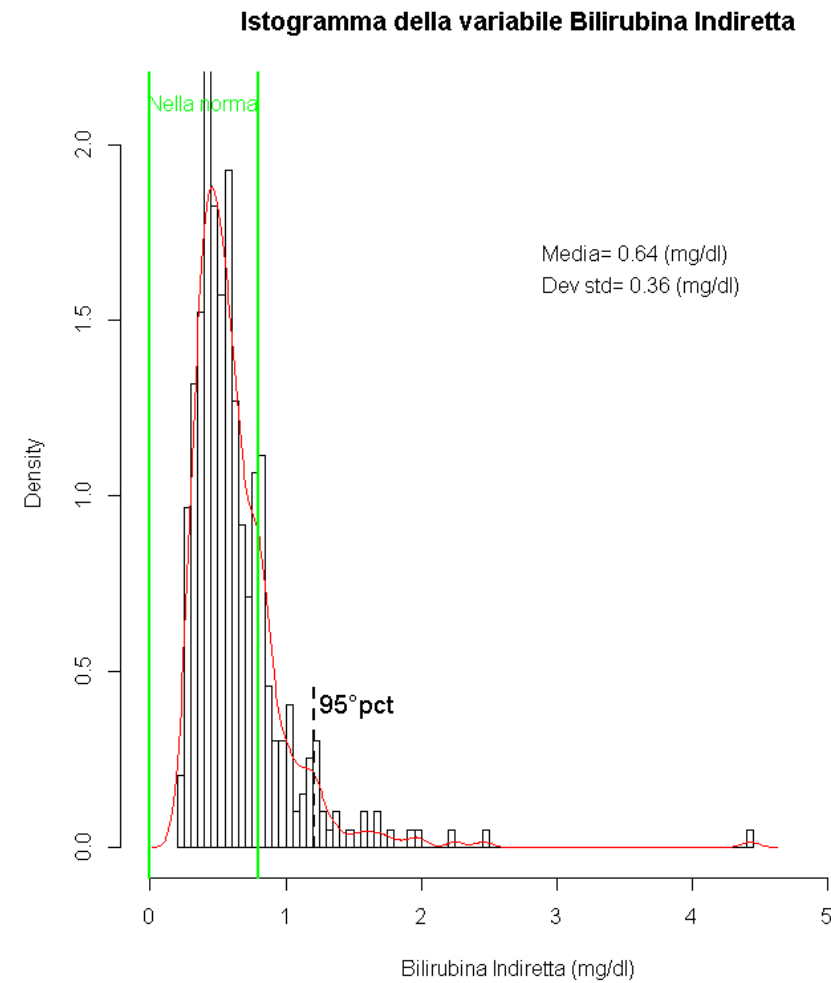
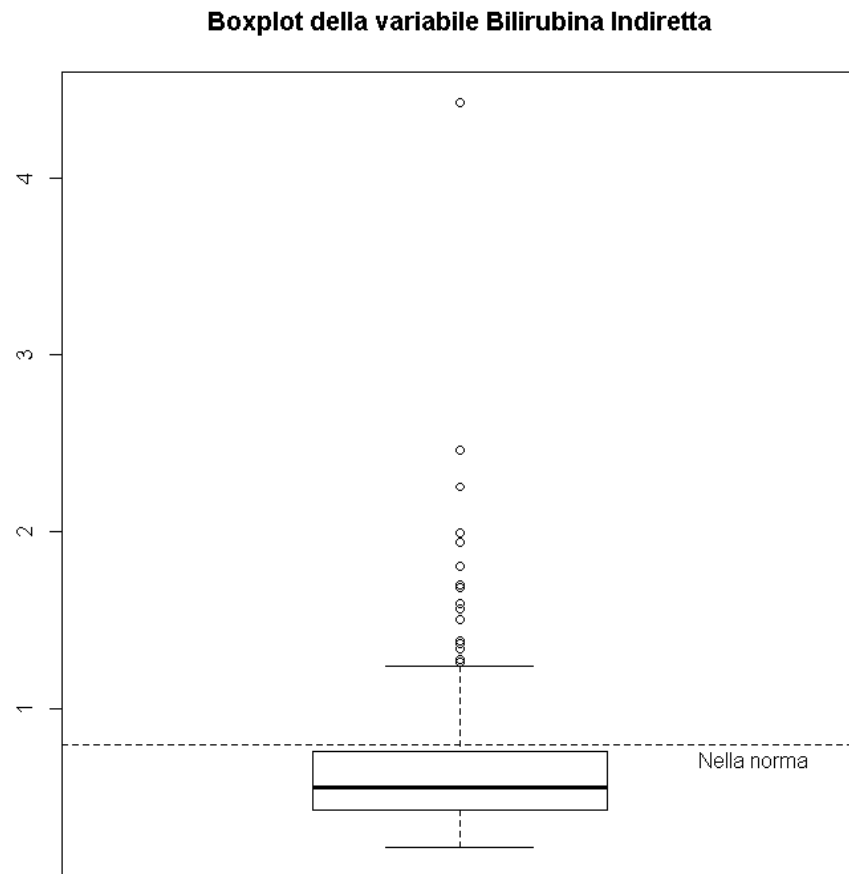
Test di Kruskal-Wallis: p-value < 0.0001

Tab 30. Distribuzione valori di bilirubina indiretta (mg/dl) per classi d'età

	<i>n</i>	<i>media</i>	<i>dev std</i>	5° <i>perc</i>	25° <i>perc</i>	50° <i>perc</i>	75° <i>perc</i>	95° <i>perc</i>	<i>min</i>	<i>max</i>	<i>IQR</i>	<i>range</i>
<i>31-40</i>	56	0.63	0.29	0.3	0.43	0.59	0.76	1.24	0.25	1.7	0.33	1.45
<i>41-50</i>	120	0.61	0.33	0.29	0.415	0.53	0.7	1.255	0.22	2.25	0.285	2.03
<i>51-60</i>	116	0.70	0.48	0.32	0.44	0.58	0.8	1.26	0.24	4.43	0.36	4.19
<i>61-70</i>	102	0.62	0.27	0.33	0.42	0.54	0.77	1.16	0.29	1.94	0.35	1.65

Test di Kruskal-Wallis: p-value = 0.317

Fig 10. Box plot e istogramma della distribuzione dei valori totali di bilirubina indiretta (mg/dl)



Tab31. Distribuzione valori di bilirubina totale (mg/dl) per zona di residenza

	<i>n</i>	<i>media</i>	<i>dev std</i>	5° <i>perc</i>	25° <i>perc</i>	50° <i>perc</i>	75° <i>perc</i>	95° <i>perc</i>	<i>min</i>	<i>max</i>	<i>IQR</i>	<i>range</i>
<i>resid T03</i>	198	0.73	0.36	0.35	0.51	0.63	0.87	1.42	0.06	2.66	0.36	2.6
<i>resid T01</i>	196	0.77	0.36	0.39	0.5	0.68	0.93	1.45	0.25	2.52	0.43	2.27
<i>Test di Kruskal-Wallis: p-value = 0.245</i>												
<i>totale</i>	394	0.75	0.36	0.37	0.51	0.655	0.91	1.43	0.06	2.66	0.4	2.6

Valori di riferimento: 0.30-1.20 (mg/dl)

Tab32. Distribuzione valori di bilirubina totale (mg/dl) per sesso

	<i>n</i>	<i>media</i>	<i>dev std</i>	5° <i>perc</i>	25° <i>perc</i>	50° <i>perc</i>	75° <i>perc</i>	95° <i>perc</i>	<i>min</i>	<i>max</i>	<i>IQR</i>	<i>range</i>
<i>maschi</i>	195	0.82	0.37	0.4	0.58	0.72	0.98	1.44	0.29	2.66	0.4	2.37
<i>femmine</i>	199	0.68	0.34	0.35	0.46	0.57	0.79	1.41	0.06	2.27	0.33	2.21

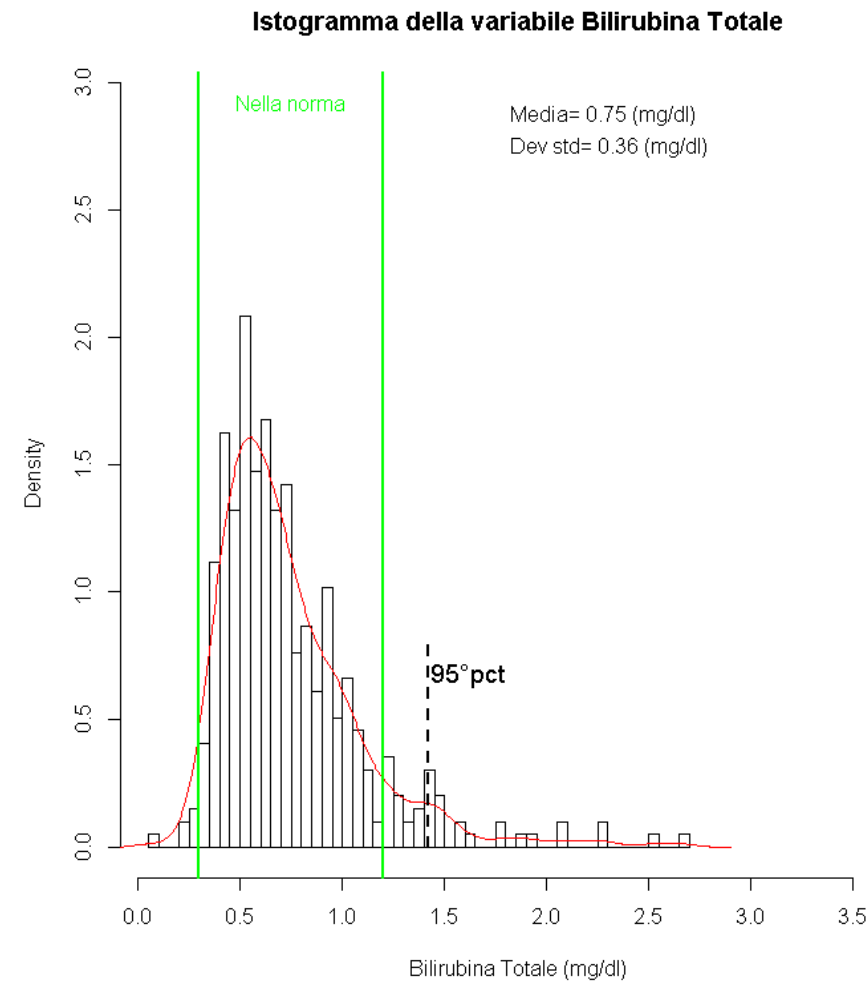
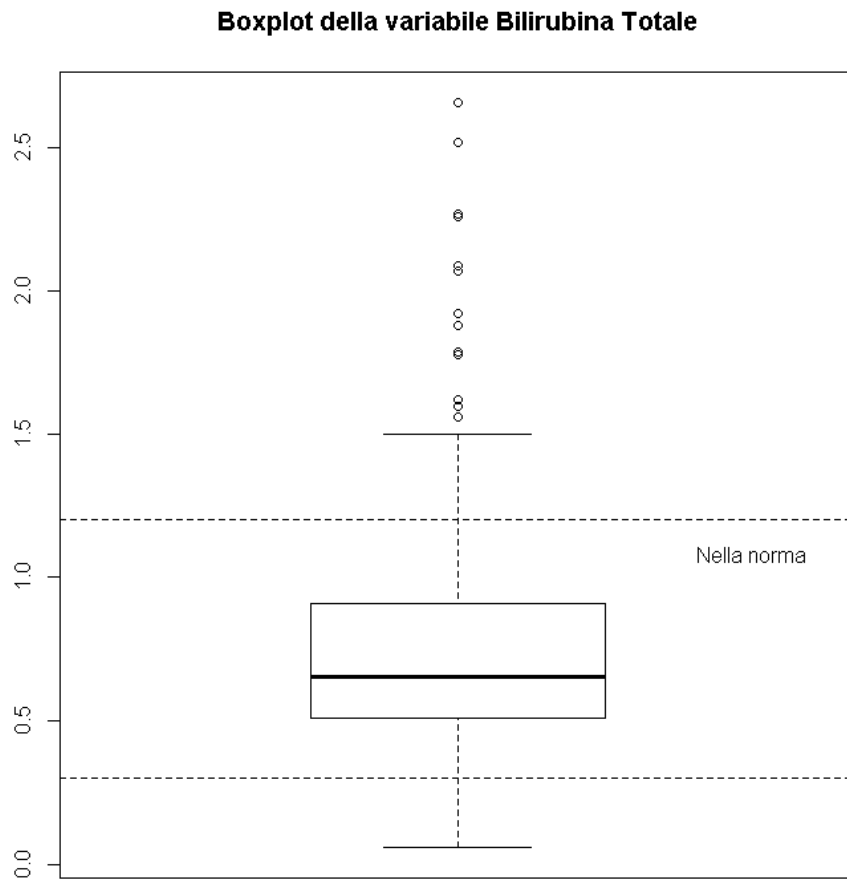
Test di Kruskal-Wallis: p-value<0.0001

Tab33. Distribuzione valori di bilirubina totale (mg/dl) per classi d'età

	<i>n</i>	<i>media</i>	<i>dev std</i>	5° <i>perc</i>	25° <i>perc</i>	50° <i>perc</i>	75° <i>perc</i>	95° <i>perc</i>	<i>min</i>	<i>max</i>	<i>IQR</i>	<i>range</i>
<i>31-40</i>	56	0.76	0.35	0.37	0.52	0.7	0.925	1.49	0.28	2.09	0.405	1.81
<i>41-50</i>	120	0.72	0.38	0.345	0.5	0.63	0.825	1.475	0.06	2.52	0.325	2.46
<i>51-60</i>	116	0.78	0.38	0.38	0.52	0.695	0.935	1.42	0.29	2.66	0.415	2.37
<i>61-70</i>	102	0.74	0.32	0.4	0.51	0.655	0.91	1.37	0.33	2.26	0.4	1.93

Test di Kruskal-Wallis: p-value = 0.388

Fig 11. Box plot e istogramma della distribuzione dei valori totali di bilirubina totale (mg/dl)



Tab 34. Distribuzione valori di aspartato transaminasi (GOT) (ui/l) per zona di residenza

	<i>n</i>	<i>media</i>	<i>dev std</i>	5° <i>perc</i>	25° <i>perc</i>	50° <i>perc</i>	75° <i>perc</i>	95° <i>perc</i>	<i>min</i>	<i>max</i>	<i>IQR</i>	<i>range</i>
<i>resid T03</i>	198	22.61	8.45	15	18	21	24	37	11	88	6	77
<i>resid T01</i>	196	23.76	7.52	16	19	22	26	38	13	60	7	47
<i>Test di Kruskal-Wallis: p-value=0.0438</i>												
<i>totale</i>	394	23.18	8.01	15	19	22	25	38	11	88	6	77

Valori di riferimento: 10-35 (ui/l)

Tab 35. Distribuzione valori di aspartato transaminasi (GOT) (ui/l) per sesso

	<i>n</i>	<i>media</i>	<i>dev std</i>	5° <i>perc</i>	25° <i>perc</i>	50° <i>perc</i>	75° <i>perc</i>	95° <i>perc</i>	<i>min</i>	<i>max</i>	<i>IQR</i>	<i>range</i>
<i>maschi</i>	195	24.93	7.87	17	20	23	27	39	13	72	7	59
<i>femmine</i>	199	21.47	7.79	14	17	20	23	33	11	88	6	77

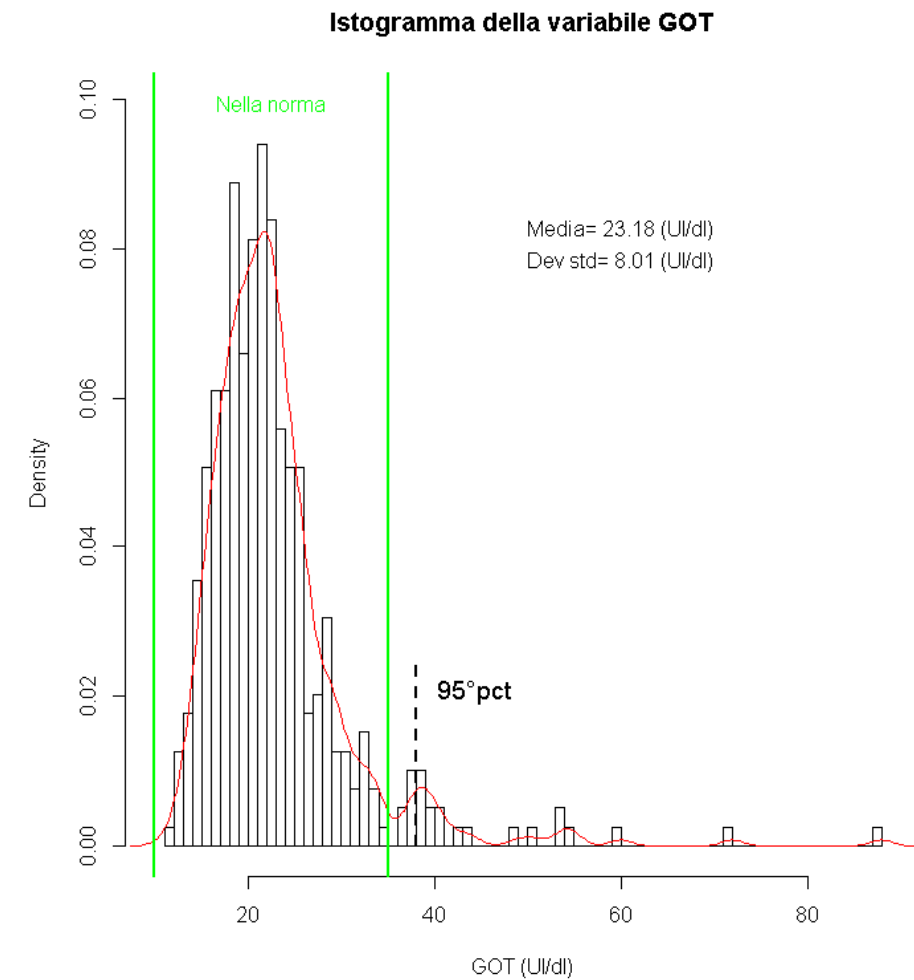
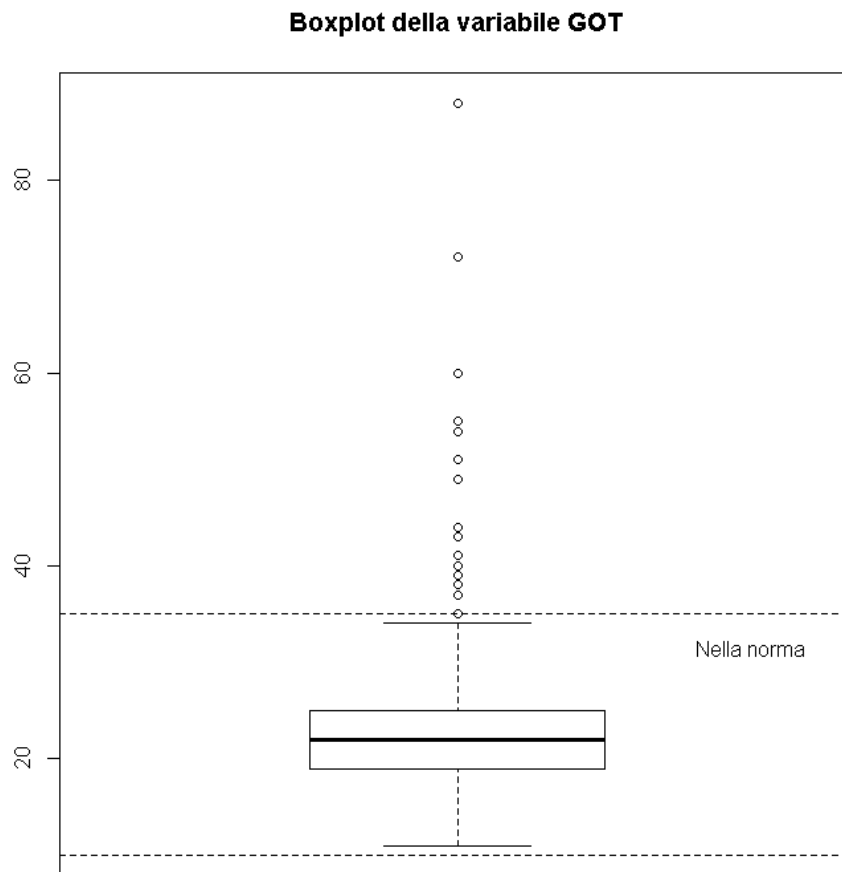
Test di Kruskal-Wallis: p-value<0.0001

Tab 36. Distribuzione valori di aspartato transaminasi (GOT) (ui/l) per classi d'età

	<i>n</i>	<i>media</i>	<i>dev std</i>	5° <i>perc</i>	25° <i>perc</i>	50° <i>perc</i>	75° <i>perc</i>	95° <i>perc</i>	<i>min</i>	<i>max</i>	<i>IQR</i>	<i>range</i>
<i>31-40</i>	56	22.84	11.18	14	17	20	24.5	38	13	88	7.5	75
<i>41-50</i>	120	22.83	8.33	15	18	21	24.5	40	11	72	6.5	61
<i>51-60</i>	116	22.80	5.77	16	19	22	25	34	13	55	6	42
<i>61-70</i>	102	24.22	7.78	15	19	23	26	39	13	60	7	47

Test di Kruskal-Wallis: p-value=0.0486

Fig 12. Box plot e istogramma della distribuzione dei valori totali di aspartato transaminasi (ui/l)



Tab 37. Distribuzione valori di alanina transaminasi (GPT) (ui/l) per zona di residenza

	<i>n</i>	<i>media</i>	<i>dev std</i>	5° <i>perc</i>	25° <i>perc</i>	50° <i>perc</i>	75° <i>perc</i>	95° <i>perc</i>	<i>min</i>	<i>max</i>	<i>IQR</i>	<i>range</i>
<i>resid T03</i>	198	23.92	16.14	11	15	21	29	55	9	149	14	140
<i>resid T01</i>	196	25.88	15.93	11	16	22	31	54	7	119	15	112
<i>Test di Kruskal-Wallis: p-value = 0.130</i>												
<i>totale</i>	394	24.90	16.05	11	15	21	30	54	7	149	15	142

Valori di riferimento: 5 - 45 (ui/l)

Tab 38. Distribuzione valori di alanina transaminasi (GPT) (ui/l) per sesso

	<i>n</i>	<i>media</i>	<i>dev std</i>	5° <i>perc</i>	25° <i>perc</i>	50° <i>perc</i>	75° <i>perc</i>	95° <i>perc</i>	<i>min</i>	<i>max</i>	<i>IQR</i>	<i>range</i>
<i>maschi</i>	195	29.46	17.07	14	19	25	34	61	7	119	15	112
<i>femmine</i>	199	20.43	13.60	10	13	17	23	41	9	149	10	140

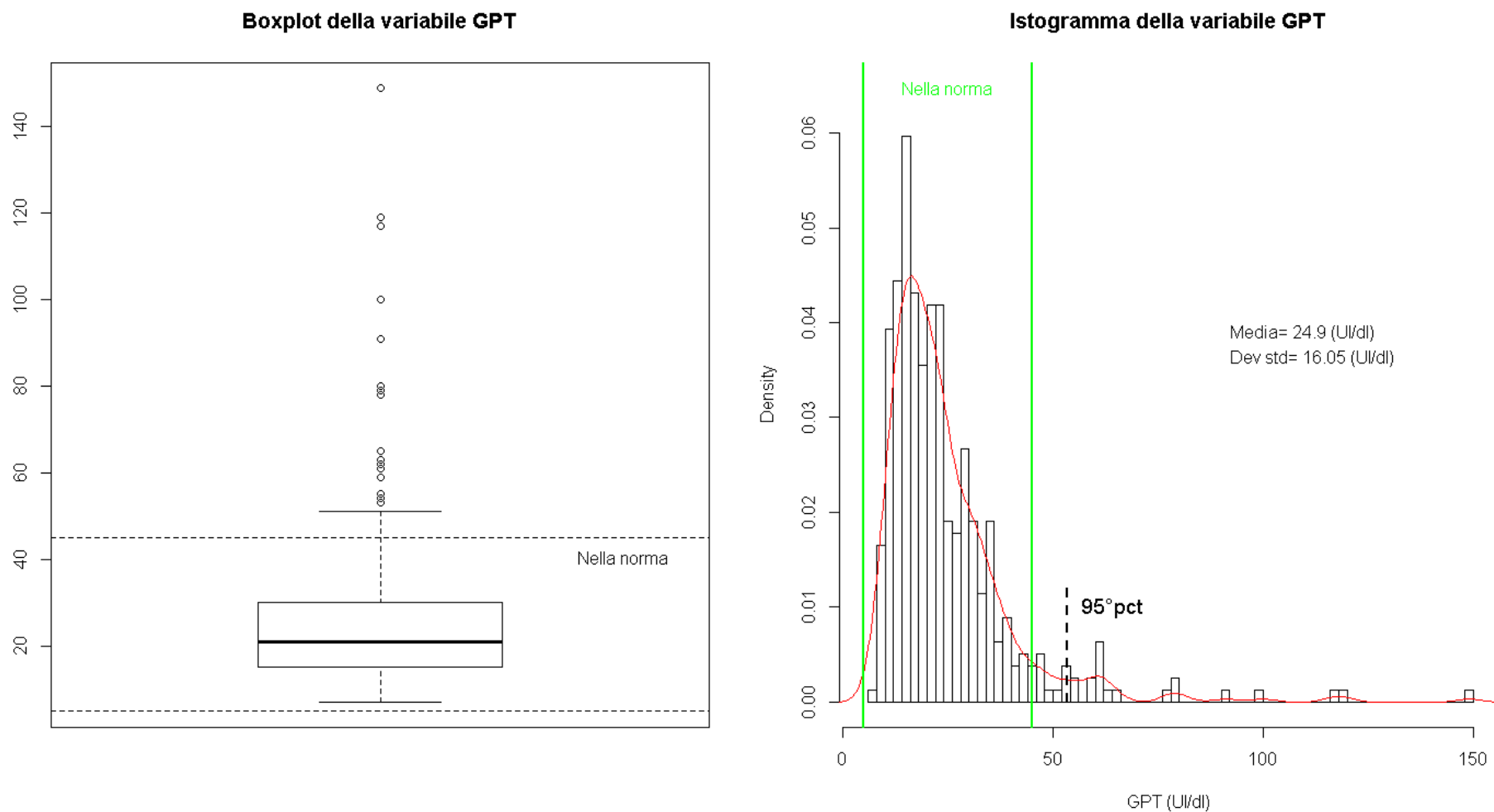
Test di Kruskal-Wallis: p-value<0.0001

Tab 39. Distribuzione valori di alanina transaminasi (GPT) (ui/l) per classi d'età

	<i>n</i>	<i>media</i>	<i>dev std</i>	5° <i>perc</i>	25° <i>perc</i>	50° <i>perc</i>	75° <i>perc</i>	95° <i>perc</i>	<i>min</i>	<i>max</i>	<i>IQR</i>	<i>range</i>
<i>31-40</i>	56	25.41	21.02	9	13	21.5	31	53	9	149	18	140
<i>41-50</i>	120	25.98	19.26	10.5	14	20.5	30.5	63	7	119	16.5	112
<i>51-60</i>	116	23.47	11.52	12	16	22	28	43	9	91	12	82
<i>61-70</i>	102	24.97	13.01	12	17	21	29	55	9	79	12	70

Test di Kruskal-Wallis: p-value = 0.731

Fig 13. Box plot e istogramma della distribuzione dei valori totali di alanina transaminasi (GPT) (ui/l)



Tab 40. Distribuzione valori di gammaglutammiltranspeptidasi (gGT) (ui/l) per zona di residenza

	<i>n</i>	<i>media</i>	<i>dev std</i>	5° <i>perc</i>	25° <i>perc</i>	50° <i>perc</i>	75° <i>perc</i>	95° <i>perc</i>	<i>min</i>	<i>max</i>	<i>IQR</i>	<i>range</i>
<i>resid T03</i>	198	29.33	25.80	10	16	22	33	75	6	198	17	192
<i>resid T01</i>	196	32.42	26.62	11	16	24	36.5	82	8	204	20.5	196
<i>Test di Kruskal-Wallis: p-value =0.176</i>												
<i>totale</i>	394	30.87	26.23	11	16	23	34	79	6	204	18	198

Valori di riferimento 10 -55 (ui/l)

Tab 41. Distribuzione valori di gammaglutammiltranspeptidasi (gGT) (ui/l) per sesso

	<i>n</i>	<i>media</i>	<i>dev std</i>	5° <i>perc</i>	25° <i>perc</i>	50° <i>perc</i>	75° <i>perc</i>	95° <i>perc</i>	<i>min</i>	<i>max</i>	<i>IQR</i>	<i>range</i>
<i>maschi</i>	195	37.97	31.07	15	20	29	41	87	10	204	21	194
<i>femmine</i>	199	23.91	17.92	9	13	18	28	70	6	112	15	106

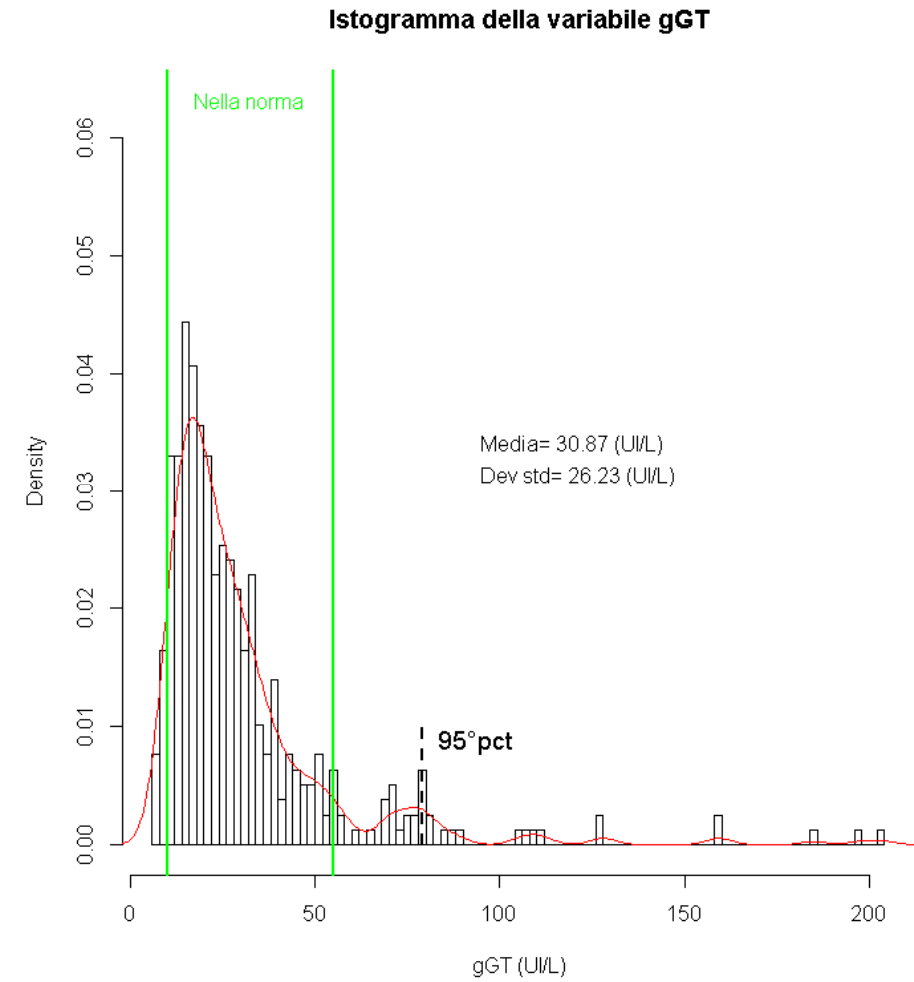
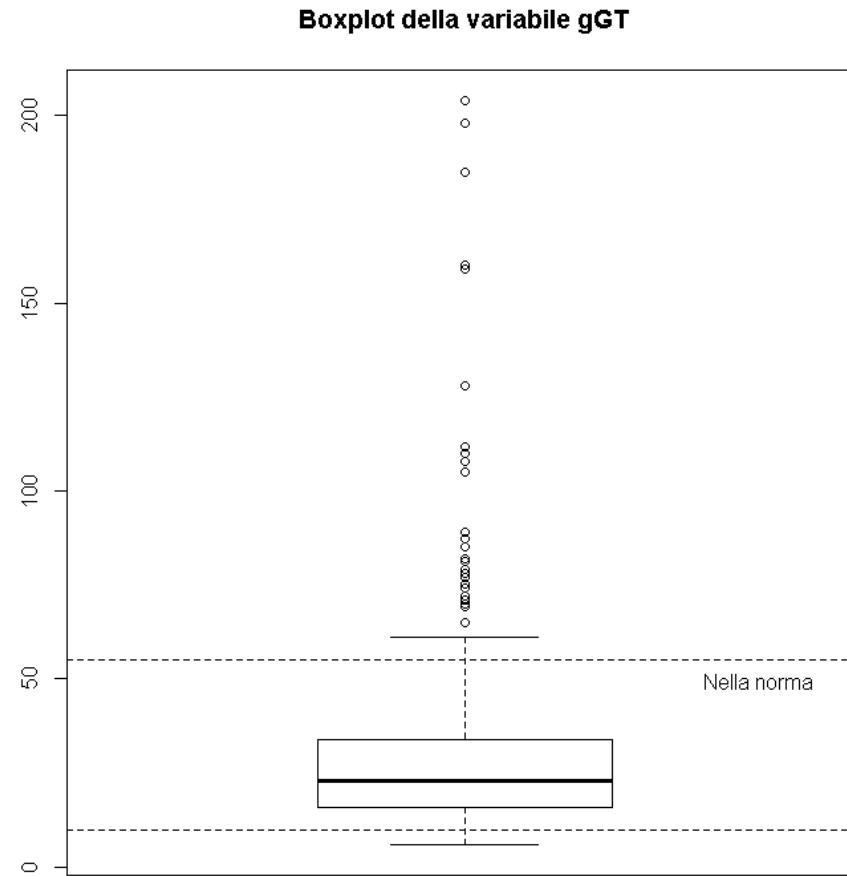
Test di Kruskal-Wallis: *p-value*<0.0001

Tab 42. Distribuzione valori di gammaglutammiltranspeptidasi (gGT) (ui/l) per classi d'età

	<i>n</i>	<i>media</i>	<i>dev std</i>	5° <i>perc</i>	25° <i>perc</i>	50° <i>perc</i>	75° <i>perc</i>	95° <i>perc</i>	<i>min</i>	<i>max</i>	<i>IQR</i>	<i>range</i>
<i>31-40</i>	56	24.04	15.32	9	13.5	19	27	56	8	77	13.5	69
<i>41-50</i>	120	31.49	29.61	9	14	21.5	36	86	6	204	22	198
<i>51-60</i>	116	31.47	27.89	12	17.5	22.5	34	79	9	198	16.5	189
<i>61-70</i>	102	33.21	24.44	13	18	27	36	79	10	160	18	150

Test di Kruskal-Wallis: *p-value*=0.0126

Fig 14. Box plot e istogramma della distribuzione dei valori totali di gammaglutammiltranspeptidasi (gGT) (ui/l)



4. PARAMETRI FUNZIONALITA' ENDOCRINA

Nelle tabelle 43-57 sono riportati in dettaglio i risultati delle analisi descrittive riguardanti i parametri per la funzionalità endocrina dosati nei soggetti in studio.

Tab 43. Distribuzione valori di trijodotironina libera (FT3) (pg/ml) per zona di residenza

	<i>n</i>	<i>media</i>	<i>dev std</i>	5° <i>perc</i>	25° <i>perc</i>	50° <i>perc</i>	75° <i>perc</i>	95° <i>perc</i>	<i>min</i>	<i>max</i>	<i>IQR</i>	<i>range</i>
<i>resid T03</i>	197	3.20	0.33	2.69	2.96	3.19	3.43	3.76	2.38	4.3	0.47	1.92
<i>resid T01</i>	196	3.16	0.40	2.54	2.9	3.135	3.38	3.75	2.34	4.76	0.48	2.42
<i>Test di Kruskal-Wallis: p-value=0.1066</i>												
<i>totale</i>	393	3.18	0.36	2.59	2.94	3.17	3.4	3.75	2.34	4.76	0.46	2.42
<i>totale escluso soggetti trattati*</i>	377	3.20	0.35	2.67	2.97	3.18	3.41	3.75	2.37	4.76	0.44	2.39

Valori di riferimento: 2.0-4.4 (pg/ml)

* dall'analisi sono stati esclusi i soggetti che dalle informazioni raccolte con il questionario risultato in terapia specifica

Tab 44. Distribuzione valori di trijodotironina libera (FT3) (pg/ml) per sesso

	<i>n</i>	<i>media</i>	<i>dev std</i>	5° <i>perc</i>	25° <i>perc</i>	50° <i>perc</i>	75° <i>perc</i>	95° <i>perc</i>	<i>min</i>	<i>max</i>	<i>IQR</i>	<i>range</i>
<i>maschi</i>	195	3.3	0.3	2.78	3.06	3.27	3.5	3.85	2.54	4.76	0.44	2.22
<i>femmine</i>	198	3.1	0.3	2.5	2.86	3.085	3.26	3.67	2.34	4.66	0.4	2.32

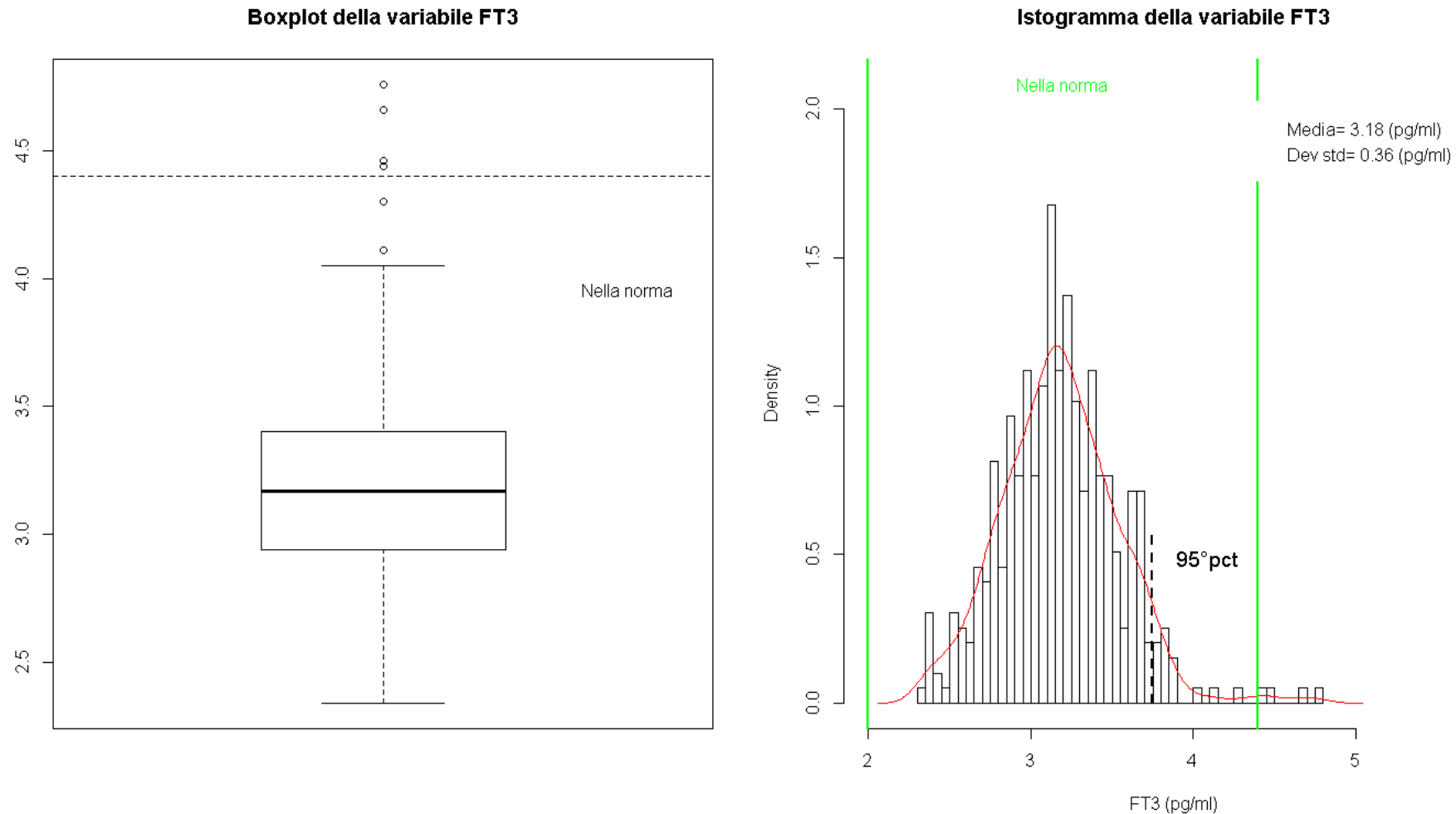
Test di Kruskal-Wallis: p-value <0.0001

Tab 45. Distribuzione valori di trijodotironina libera (FT3) (pg/ml) per classi d'età

	<i>n</i>	<i>media</i>	<i>dev std</i>	5° <i>perc</i>	25° <i>perc</i>	50° <i>perc</i>	75° <i>perc</i>	95° <i>perc</i>	<i>min</i>	<i>max</i>	<i>IQR</i>	<i>range</i>
<i>31-40</i>	56	3.27	0.38	2.67	3.07	3.26	3.58	3.81	2.4	4.46	0.51	2.06
<i>41-50</i>	119	3.25	0.36	2.65	2.98	3.26	3.47	3.87	2.52	4.44	0.49	1.92
<i>51-60</i>	116	3.14	0.38	2.51	2.905	3.14	3.3	3.68	2.34	4.76	0.395	2.42
<i>61-70</i>	102	3.10	0.32	2.59	2.88	3.08	3.31	3.66	2.36	3.85	0.43	1.49

Test di Kruskal-Wallis: p-value <0.0001

Fig 15. Box plot e istogramma della distribuzione dei valori totali di trijodotironina libera (FT3) (pg/ml)



Tab 46. Distribuzione valori di tiroxina libera (FT4) (ng/dl) per zona di residenza

	<i>n</i>	<i>media</i>	<i>dev std</i>	5° <i>perc</i>	25° <i>perc</i>	50° <i>perc</i>	75° <i>perc</i>	95° <i>perc</i>	<i>min</i>	<i>max</i>	<i>IQR</i>	<i>range</i>
<i>resid T03</i>	197	1.2	0.2	0.92	1.05	1.15	1.27	1.43	0.4	1.67	0.22	1.27
<i>resid T01</i>	196	1.0	0.2	0.79	0.92	1.02	1.15	1.3	0.53	1.99	0.23	1.46
<i>Test di Kruskal-Wallis: p-value <0.0001</i>												
<i>totale</i>	393	1.1	0.2	0.81	0.98	1.09	1.2	1.4	0.4	1.99	0.22	1.59
<i>totale escluso soggetti trattati*</i>	377	1.09	0.17	0.81	0.98	1.09	1.19	1.37	0.40	1.67	0.22	1.27

Valori di riferimento: 0.89-1.76 (ng/dl)

* dall'analisi sono stati esclusi i soggetti che dalle informazioni raccolte con il questionario risultato in terapia specifica

Tab 47. Distribuzione valori di tiroxina libera (FT4) (ng/dl) per sesso

	<i>n</i>	<i>media</i>	<i>dev std</i>	5° <i>perc</i>	25° <i>perc</i>	50° <i>perc</i>	75° <i>perc</i>	95° <i>perc</i>	<i>min</i>	<i>max</i>	<i>IQR</i>	<i>range</i>
<i>maschi</i>	195	1.1	0.2	0.83	0.98	1.1	1.2	1.42	0.67	1.99	0.22	1.32
<i>femmine</i>	199	1.1	0.2	0.79	0.97	1.085	1.2	1.37	0.4	1.56	0.23	1.16

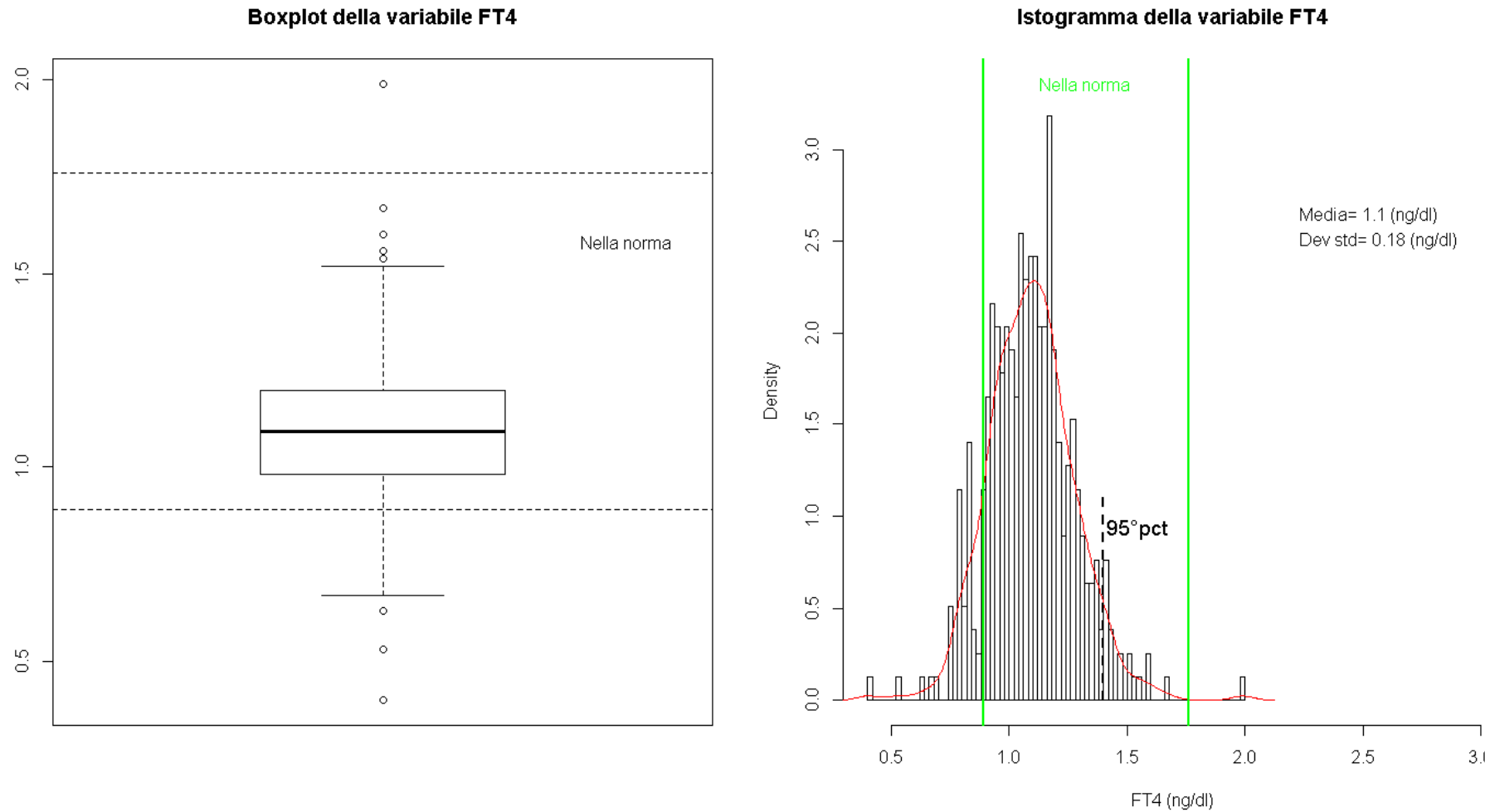
Test di Kruskal-Wallis: p-value=0.5035

Tab 48. Distribuzione valori di tiroxina libera (FT4) (ng/dl) per classi d'età

	<i>n</i>	<i>media</i>	<i>dev std</i>	5° <i>perc</i>	25° <i>perc</i>	50° <i>perc</i>	75° <i>perc</i>	95° <i>perc</i>	<i>min</i>	<i>max</i>	<i>IQR</i>	<i>range</i>
<i>31-40</i>	56	1.13	0.18	0.83	1.04	1.13	1.24	1.43	0.7	1.6	0.2	0.9
<i>41-50</i>	119	1.09	0.18	0.79	0.99	1.09	1.19	1.39	0.4	1.6	0.2	1.2
<i>51-60</i>	116	1.08	0.19	0.79	0.945	1.065	1.19	1.42	0.63	1.67	0.245	1.04
<i>61-70</i>	102	1.10	0.19	0.84	0.98	1.09	1.2	1.37	0.53	1.99	0.22	1.46

Test di Kruskal-Wallis: p-value=0.2869

Fig 16. Box plot e istogramma della distribuzione dei valori totali di tiroxina libera (FT4) (ng/dl)



Tab 49. Distribuzione valori di tireotropina (TSH) (uiu/ml) per zona di residenza

	<i>n</i>	<i>media</i>	<i>dev std</i>	5° <i>perc</i>	25° <i>perc</i>	50° <i>perc</i>	75° <i>perc</i>	95° <i>perc</i>	<i>min</i>	<i>max</i>	<i>IQR</i>	<i>range</i>
<i>resid T03</i>	197	1.7	3.4	0.35	0.82	1.37	1.84	3.24	0.02	46.4	1.02	46.38
<i>resid T01</i>	196	1.8	2.5	0.46	0.87	1.44	2.07	3.7	0	26.9	1.20	26.9
<i>Test di Kruskal-Wallis: p-value=0.1975</i>												
<i>totale</i>	393	1.8	3.0	0.45	0.83	1.4	2	3.51	0	46.4	1.17	46.4
<i>totale escluso soggetti trattati*</i>	377	1.79	3.01	0.47	0.83	1.40	1.98	3.51	0.02	46.40	1.15	1.79

Valori di riferimento: 0.4-4.0 (uiu/ml)

* dall'analisi sono stati esclusi i soggetti che dalle informazioni raccolte con il questionario risultato in terapia specifica

Tab 50. Distribuzione valori di tireotropina (TSH) (uiu/ml) per sesso

	<i>n</i>	<i>media</i>	<i>dev std</i>	5° <i>perc</i>	25° <i>perc</i>	50° <i>perc</i>	75° <i>perc</i>	95° <i>perc</i>	<i>min</i>	<i>max</i>	<i>IQR</i>	<i>range</i>
<i>maschi</i>	195	1.8	3.8	0.36	0.74	1.32	1.81	3.06	0	46.4	1.07	46.4
<i>femmine</i>	198	1.8	1.8	0.49	0.91	1.55	2.12	3.68	0.02	20.7	1.21	20.68

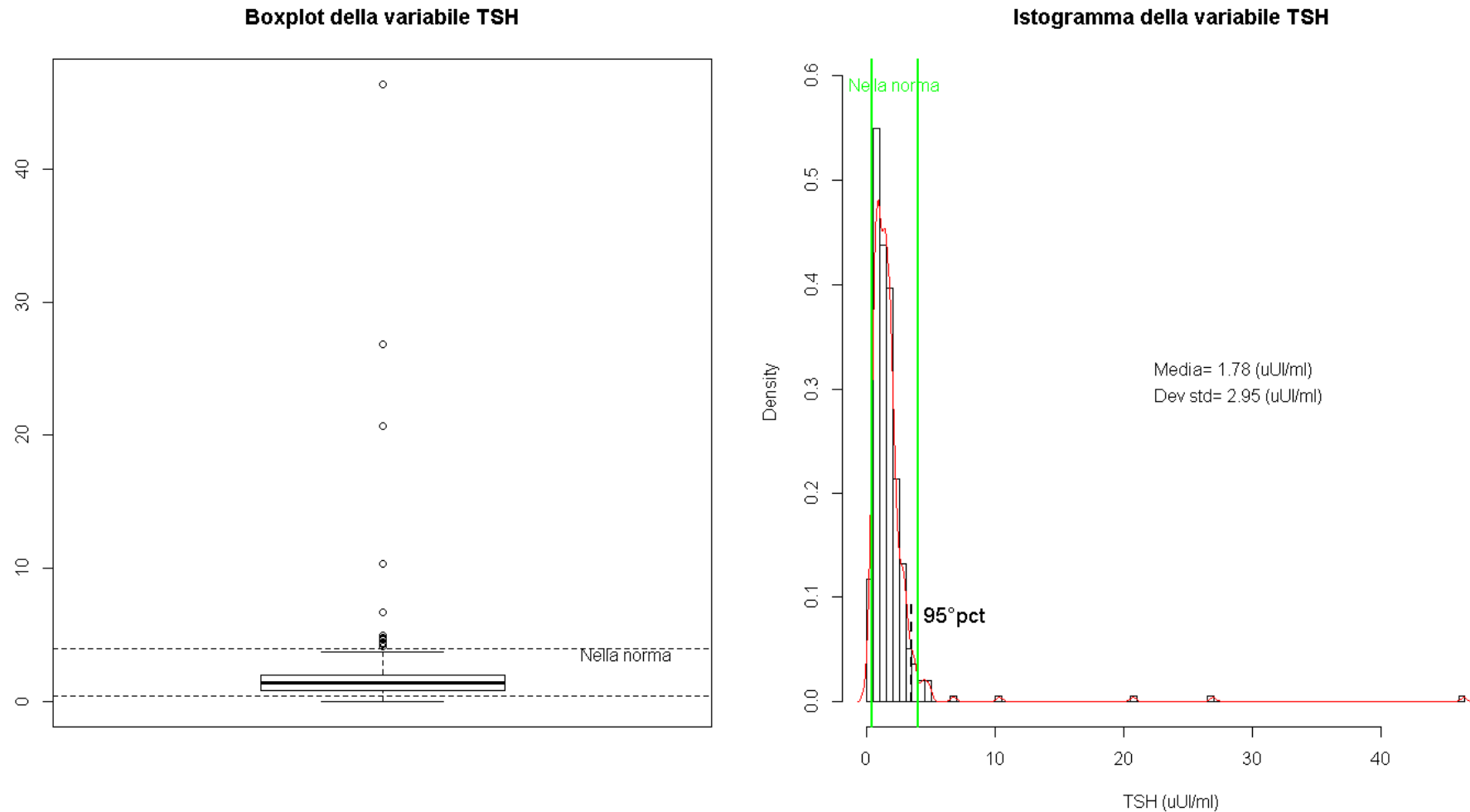
Test di Kruskal-Wallis: p-value=0.0029

Tab 51. Distribuzione valori di tireotropina (TSH) (uiu/ml) per classi d'età

	<i>n</i>	<i>media</i>	<i>dev std</i>	5° <i>perc</i>	25° <i>perc</i>	50° <i>perc</i>	75° <i>perc</i>	95° <i>perc</i>	<i>min</i>	<i>max</i>	<i>IQR</i>	<i>range</i>
<i>31-40</i>	56	1.58	0.97	0.58	0.87	1.42	1.88	3.51	0.02	4.78	1.01	4.76
<i>41-50</i>	119	1.92	4.20	0.53	0.87	1.41	1.93	3.28	0.11	46.4	1.06	46.29
<i>51-60</i>	116	1.69	1.31	0.44	0.89	1.44	2.14	3.68	0.09	10.3	1.25	10.21
<i>61-70</i>	102	1.84	3.26	0.24	0.75	1.29	1.88	3.43	0	26.9	1.13	26.9

Test di Kruskal-Wallis: p-value=0.5896

Fig 17. Box plot e istogramma della distribuzione dei valori totali di tireotropina (TSH) (uiu/ml)



Tab 52. Distribuzione valori di cortisolo (ng/ml) per zona di residenza

	<i>n</i>	<i>media</i>	<i>dev std</i>	5° <i>perc</i>	25° <i>perc</i>	50° <i>perc</i>	75° <i>perc</i>	95° <i>perc</i>	<i>min</i>	<i>max</i>	<i>IQR</i>	<i>range</i>
<i>resid T03</i>	198	147.9	61.6	82	109	135	173	241	46.6	609	64	562.4
<i>resid T01</i>	195	148.0	57.2	77	109	139	182	237	11.3	493	73	481.7
<i>Test di Kruskal-Wallis: p-value=0.6989</i>												
<i>totale</i>	393	148.0	59.4	81.2	109	136	176	238	11.3	609	67	597.7

Valori di riferimento: mattino 60-285 (ng/ml)

Tab 53. Distribuzione valori di cortisolo (ng/ml) per sesso

	<i>n</i>	<i>media</i>	<i>dev std</i>	5° <i>perc</i>	25° <i>perc</i>	50° <i>perc</i>	75° <i>perc</i>	95° <i>perc</i>	<i>min</i>	<i>max</i>	<i>IQR</i>	<i>range</i>
<i>maschi</i>	195	151.3	57.5	82	112	145	182	236	60	609	70	549
<i>femmine</i>	198	144.7	61.2	80	104	133.5	168	271	11.3	493	64	481.7

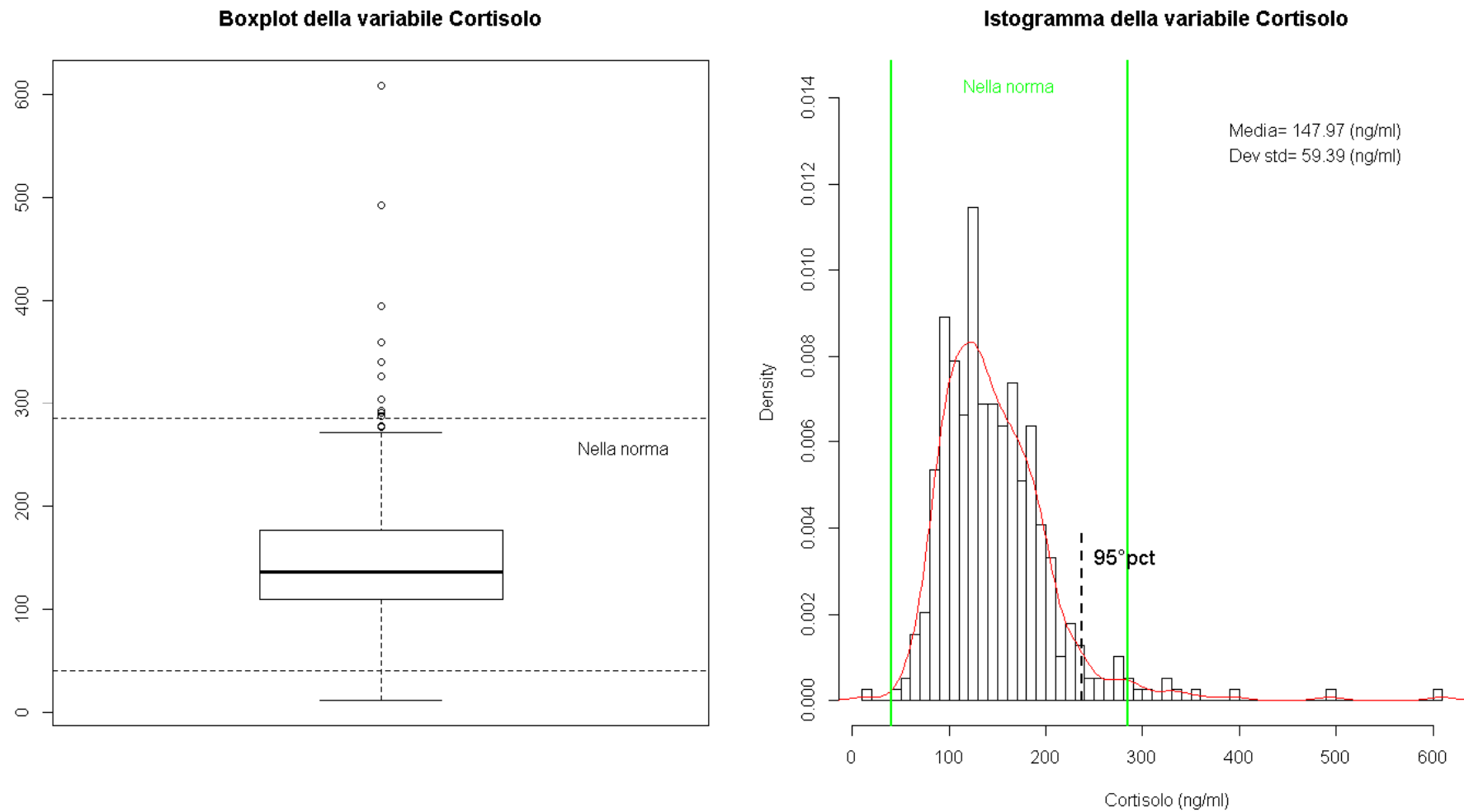
Test di Kruskal-Wallis: p-value=0.0497

Tab 54. Distribuzione valori di cortisolo (ng/ml) per classi d'età

	<i>n</i>	<i>media</i>	<i>dev std</i>	5° <i>perc</i>	25° <i>perc</i>	50° <i>perc</i>	75° <i>perc</i>	95° <i>perc</i>	<i>min</i>	<i>max</i>	<i>IQR</i>	<i>range</i>
<i>31-40</i>	56	149.6	52.8	78.0	112.5	145.0	178.0	242.0	11.3	278.0	65.5	266.7
<i>41-50</i>	120	154.8	65.1	79.6	112.0	140.0	183.0	289.5	60.0	493.0	71.0	433.0
<i>51-60</i>	115	147.7	69.9	74.0	102.0	130.0	169.0	259.0	61.1	609.0	67.0	547.9
<i>61-70</i>	102	139.4	39.1	85.4	103.0	136.0	167.0	205.0	60.0	237.0	64.0	177.0

Test di Kruskal-Wallis: p-value=0.4068

Fig 18. Box plot e istogramma della distribuzione dei valori totali di cortisolo (ng/ml)



Tab 55. Distribuzione valori di acth (pg/ml) per zona di residenza

	<i>n</i>	<i>media</i>	<i>dev std</i>	5° <i>perc</i>	25° <i>perc</i>	50° <i>perc</i>	75° <i>perc</i>	95° <i>perc</i>	<i>min</i>	<i>max</i>	<i>IQR</i>	<i>range</i>
<i>resid T03</i>	196	19.1	11.8	7.1	11.55	15.85	22.4	46.4	3.8	73.1	10.85	69.3
<i>resid T01</i>	194	22.4	19.8	6	12.1	16.65	26.3	60	5	158	14.2	153
<i>Test di Kruskal-Wallis: p-value=0.2207</i>												
<i>totale</i>	390	20.8	16.3	6.8	11.7	16.3	24.8	48.1	3.8	158	13.1	154.2

Valori di riferimento: mattino 0-46 (ng/ml)

Tab 56. Distribuzione valori di acth (pg/ml) per sesso

	<i>n</i>	<i>media</i>	<i>dev std</i>	5° <i>perc</i>	25° <i>perc</i>	50° <i>perc</i>	75° <i>perc</i>	95° <i>perc</i>	<i>min</i>	<i>max</i>	<i>IQR</i>	<i>range</i>
<i>maschi</i>	194	25.7	17.7	9.4	15	21.05	31	60.3	3.8	158	16	154.2
<i>femmine</i>	196	15.9	13.1	6	9.75	13.05	17.6	32.7	5	148	7.85	143

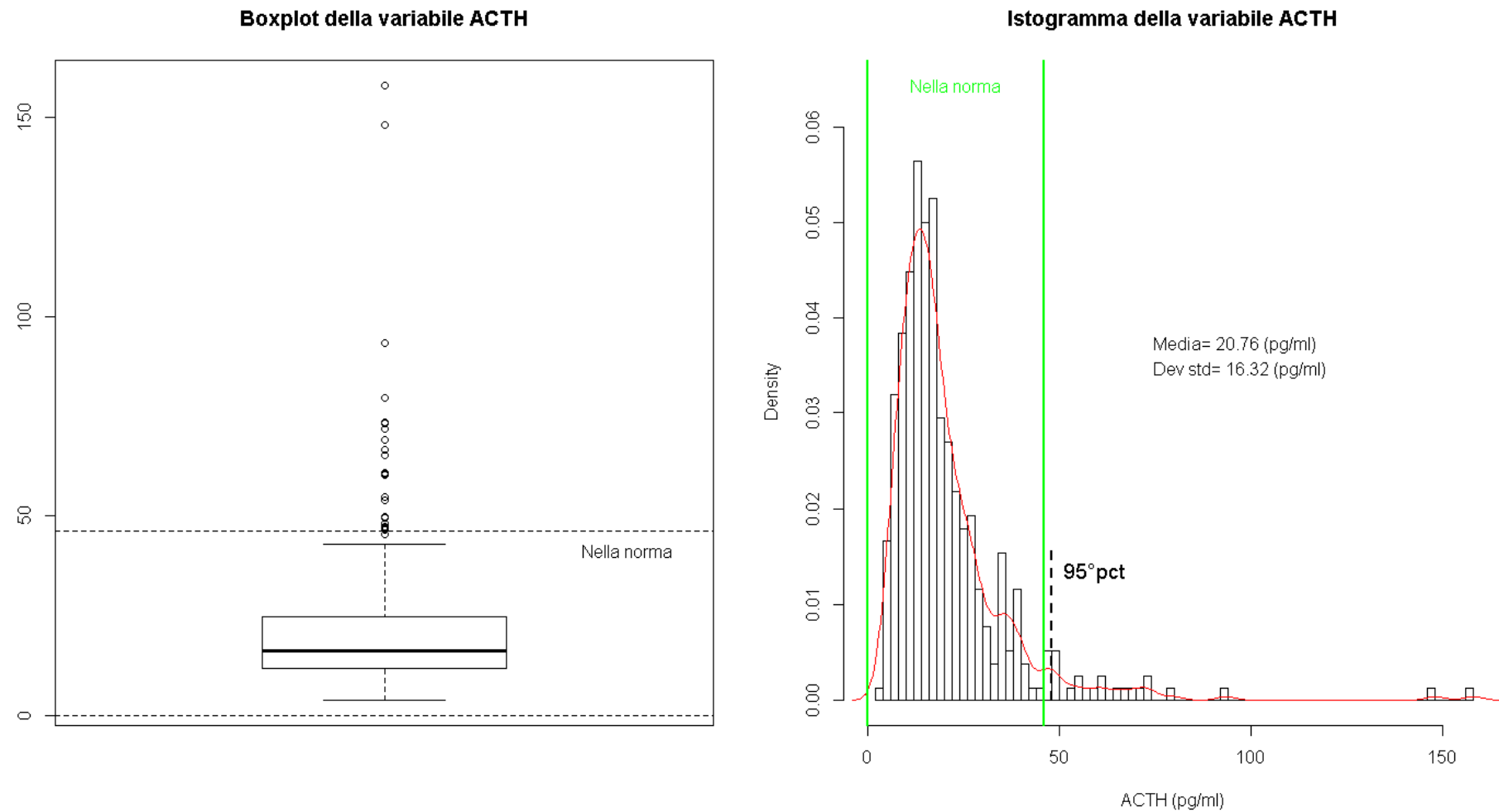
Test di Kruskal-Wallis: p-value<0.0001

Tab 57. Distribuzione valori di acth (pg/ml) per classi d'età

	<i>n</i>	<i>media</i>	<i>dev std</i>	5° <i>perc</i>	25° <i>perc</i>	50° <i>perc</i>	75° <i>perc</i>	95° <i>perc</i>	<i>min</i>	<i>max</i>	<i>IQR</i>	<i>range</i>
<i>31-40</i>	56	20.2	15.8	5.0	9.5	15.3	26.6	65.2	5.0	73.2	17.1	68.2
<i>41-50</i>	119	20.5	14.9	6.5	10.7	15.6	26.8	54.7	5.0	79.7	16.1	74.7
<i>51-60</i>	115	19.5	15.4	7.1	12.1	15.9	23.5	40.3	5.0	148.0	11.4	143.0
<i>61-70</i>	100	22.7	19.1	8.5	14.1	17.5	25.7	50.4	3.8	158.0	11.6	154.2

Test di Kruskal-Wallis: p-value=0.1467

Fig 19. Box plot e istogramma della distribuzione dei valori totali di acth (pg/ml)



Tab 58. Numero e percentuale di soggetti con valori dei parametri ematochimici nella norma, sopra e sotto il limite di riferimento.

	<i>N valori nella norma</i>	<i>% valori nella norma</i>	<i>N valori sopra il limite</i>	<i>% valori sopra il limite</i>	<i>N valori sotto il limite</i>	<i>% valori sotto il limite</i>
<i>Glucosio</i>	349	88.6	41	10.4	4	1.0
<i>Colesterolo</i>	346	87.8	48	12.2	0	0.0
<i>Colesterolo HDL</i>	361	91.6	26	6.6	7	1.8
<i>Trigliceridi</i>	342	86.8	52	13.2	0	0.0
<i>Azotemia</i>	362	91.9	32	8.1	0	0.0
<i>Creatinina</i>	379	96.2	15	3.8	0	0.0
<i>Fosfatasi alkalina</i>	356	91.1	4	1.0	31	7.9
<i>Microalbuminuria</i>	329	84.2	62	15.8	0	0.0
<i>Bilirubina Diretta</i>	391	99.0	3	1.0	0	0.0
<i>Bilirubina Indiretta</i>	311	78.9	83	21.1	0	0.0
<i>Bilirubina Totale</i>	349	88.6	39	9.9	6	1.5
<i>GOT</i>	370	93.7	24	6.3	0	0.0
<i>GPT</i>	364	92.4	30	7.6	0	0.0
<i>gGT</i>	341	86.5	42	10.7	11	2.8
<i>FT3</i>	387	98.2	6	1.5	1	0.3
<i>FT4</i>	352	89.3	3	0.8	39	9.9
<i>TSH</i>	364	92.4	13	3.3	17	4.3
<i>ACTH</i>	366	93.9	24	6.1	0	0.0
<i>Cortisolo</i>	381	96.4	11	2.8	1	0.8

5. INDICATORI STATO DI SALUTE E SPIROMETRIA

Nelle tabelle 59-70 sono riportati in dettaglio i risultati delle analisi descrittive riguardanti le misurazioni della pressione arteriosa. il calcolo dei punteggi cardiovascolari e i test spirometrici eseguiti ai soggetti in studio.

Tab 59. Distribuzione dei valori di pressione sistolica per zona di residenza

	<i>n</i>	<i>media</i>	<i>dev std</i>	5° <i>perc</i>	25° <i>perc</i>	50° <i>perc</i>	75° <i>perc</i>	95° <i>perc</i>	<i>min</i>	<i>max</i>	<i>IQR</i>	<i>range</i>
<i>resid T03</i>	198	128.3	17.7	101	117	128	140	159	90	195	23	105
<i>resid T01</i>	196	125.1	18.2	96	112	124	137	159	90	181	25	91
<i>Test di Kruskal-Wallis: p-value=0.1002</i>												
<i>totale</i>	394	126.7	18.0	98	113	126	138	159	90	195	25	105
<i>totale escluso soggetti trattati*</i>	309	123.9	17.7	97	111	123	134	157	90	195	23	105

* dall'analisi sono stati esclusi i soggetti che dalle informazioni raccolte con il questionario risultato in terapia specifica

Tab 60. Distribuzione dei valori di pressione sistolica per sesso

	<i>n</i>	<i>media</i>	<i>dev std</i>	5° <i>perc</i>	25° <i>perc</i>	50° <i>perc</i>	75° <i>perc</i>	95° <i>perc</i>	<i>min</i>	<i>max</i>	<i>IQR</i>	<i>range</i>
<i>maschi</i>	195	130.5	15.4	108	120	129	139	158	90	186	19	96
<i>femmine</i>	199	123.0	19.7	96	108	121	134	161	90	195	26	105

Test di Kruskal-Wallis: p-value<0.0001

Tab 61. Distribuzione dei valori di pressione sistolica per classi di età

	<i>n</i>	<i>media</i>	<i>dev std</i>	5° <i>perc</i>	25° <i>perc</i>	50° <i>perc</i>	75° <i>perc</i>	95° <i>perc</i>	<i>min</i>	<i>max</i>	<i>IQR</i>	<i>range</i>
<i>31-40</i>	56	113.8	12.3	93	105.5	114.5	122	134	90	147	16.5	57
<i>41-50</i>	120	123.8	16.9	97	111	123.5	134	153.5	92	169	23	77
<i>51-60</i>	116	127.8	16.9	101	114.5	129	138	157	93	178	23.5	85
<i>61-70</i>	102	136.0	18.1	110	125	134.5	145	169	90	195	20	105

Test di Kruskal-Wallis: p-value<0.0001

Tab 62. Distribuzione dei valori di pressione diastolica per zona di residenza

	<i>n</i>	<i>media</i>	<i>dev std</i>	5° <i>perc</i>	25° <i>perc</i>	50° <i>perc</i>	75° <i>perc</i>	95° <i>perc</i>	<i>min</i>	<i>max</i>	<i>IQR</i>	<i>range</i>
<i>resid T03</i>	198	81.2	9.8	64	76	80	88	99	60	110	12	50
<i>resid T01</i>	196	74.3	10.7	58	67	74	82	93	53	112	15	59
<i>Test di Kruskal-Wallis: p-value<0.0001</i>												
<i>totale</i>	394	77.8	10.8	60	70	78	85	97	53	112	15	59
<i>totale escluso soggetti trattati*</i>	309	76.3	10.4	60	70	77	83	93	53	110	13	57

* dall'analisi sono stati esclusi i soggetti che dalle informazioni raccolte con il questionario risultato in terapia specifica

Tab 63. Distribuzione dei valori di pressione diastolica per sesso

	<i>n</i>	<i>media</i>	<i>dev std</i>	5° <i>perc</i>	25° <i>perc</i>	50° <i>perc</i>	75° <i>perc</i>	95° <i>perc</i>	<i>min</i>	<i>max</i>	<i>IQR</i>	<i>range</i>
<i>maschi</i>	195	80.5	10.1	64	74	80	87	100	56	112	13	56
<i>femmine</i>	199	75.1	10.8	59	67	75	82	93	53	110	15	57

Test di Kruskal-Wallis: p-value<0.0001

Tab 64. Distribuzione dei valori di pressione diastolica per classi di età

	<i>n</i>	<i>media</i>	<i>dev std</i>	5° <i>perc</i>	25° <i>perc</i>	50° <i>perc</i>	75° <i>perc</i>	95° <i>perc</i>	<i>min</i>	<i>max</i>	<i>IQR</i>	<i>range</i>
<i>31-40</i>	56	72.3	8.9	58	66.5	72.5	78	88	56	97	11.5	41
<i>41-50</i>	120	78.6	12.3	59.5	70	79	87	101	53	112	17	59
<i>51-60</i>	116	78.6	9.5	62	71	79.5	85	93	56	102	14	46
<i>61-70</i>	102	78.9	10.5	62	72	79	85	98	57	110	13	53

Test di Kruskal-Wallis: p-value=0.0003

Tab 65. Distribuzione valori del punteggio rischio cardiovascolare per zona di residenza

	<i>n</i>	<i>media</i>	<i>dev std</i>	5° <i>perc</i>	25° <i>perc</i>	50° <i>perc</i>	75° <i>perc</i>	95° <i>perc</i>	<i>min</i>	<i>max</i>	<i>IQR</i>	<i>range</i>
<i>resid T03</i>	186	3.1	3.7	0.2	0.8	1.9	3.6	9.9	0.1	30.6	2.8	30.5
<i>resid T01</i>	183	3.0	3.2	0.2	0.7	1.8	3.9	9.2	0.1	18.3	3.2	18.2
<i>Test di Kruskal-Wallis: p-value=0.728</i>												
<i>totale</i>	369	3.0	3.5	0.2	0.8	1.8	3.7	9.9	0.1	30.6	2.9	30.5

Tab 66. Distribuzione valori del punteggio rischio cardiovascolare per sesso

	<i>n</i>	<i>media</i>	<i>dev std</i>	5° <i>perc</i>	25° <i>perc</i>	50° <i>perc</i>	75° <i>perc</i>	95° <i>perc</i>	<i>min</i>	<i>max</i>	<i>IQR</i>	<i>range</i>
<i>maschi</i>	186	4.7	4.1	0.8	1.8	3.4	7.0	11.2	0.4	30.6	5.2	30.2
<i>femmine</i>	183	1.3	1.3	0.2	0.3	0.9	1.8	3.7	0.1	8.7	1.5	8.6

Test di Kruskal-Wallis: p-value<0.0001

Tab 67. Distribuzione valori del punteggio rischio cardiovascolare per classi d'età

	<i>n</i>	<i>media</i>	<i>dev std</i>	5° <i>perc</i>	25° <i>perc</i>	50° <i>perc</i>	75° <i>perc</i>	95° <i>perc</i>	<i>min</i>	<i>max</i>	<i>IQR</i>	<i>range</i>
<i>31-40</i>	56	0.6	0.5	0.2	0.2	0.7	1.0	1.6	0.1	1.8	0.8	1.7
<i>41-50</i>	114	1.4	1.1	0.2	0.4	1.1	2.2	3.6	0.2	4.8	1.8	4.6
<i>51-60</i>	106	3.0	2.2	0.6	1.3	2.1	4.2	7.3	0.5	10.4	2.9	9.9
<i>61-70</i>	93	6.5	4.7	1.7	2.6	6.4	8.7	14.4	1.0	30.6	6.1	29.6

Test di Kruskal-Wallis: p-value<0.0001

Tab 68. Distribuzione classi BMI per zona di residenza

	<i>resid T03</i>		<i>resid T01</i>		<i>totale</i>	
	<i>n</i>	%	<i>n</i>	%	<i>n</i>	%
<i>BMI<18.5</i>	3	1.5	5	2.5	8	2.0
<i>18.5<= BMI <25</i>	88	44.5	81	41.4	169	42.9
<i>25<= BMI <30</i>	70	35.3	73	37.3	143	36.4
<i>30<= BMI <40</i>	34	17.2	32	16.3	66	16.7
<i>BMI >=40</i>	3	1.5	5	2.5	8	2.0

Test chi-quadrato: p-value: 0.7853

Tab 69. Distribuzione valori spirometria per zona di residenza

Parametro FVC(I)												
	n	media	dev std	5° perc	25° perc	50° perc	75° perc	95° perc	min	max	IQR	range
resid T03	197	3.8	0.9	2.45	3.06	3.74	4.49	5.36	1.68	6.57	1.43	4.89
resid T01	195	3.8	1.0	2.28	3.14	3.83	4.51	5.54	1.54	6.86	1.37	5.32
<i>Test di Kruskal-Wallis: p-value=0.7067</i>												
totale	392	3.83	0.98	2.36	3.11	3.79	4.49	5.52	1.54	6.86	1.38	5.32
Parametro FVC(%)												
resid T03	198	110.3	15.1	90.0	100.0	109.5	119.0	136.0	57.0	166.0	19.0	109.0
resid T01	195	109.4	19.7	77.0	100.0	112.0	120.0	140.0	8.0	155.0	20.0	147.0
<i>Test di Kruskal-Wallis: p-value= 0.6476</i>												
totale	393	109.88	17.50	85	100	111	120	136	8	166	20	158
Parametro FEV1 (l)												
resid T03	197	3.07	0.78	1.9	2.46	3.04	3.66	4.33	1.26	5.21	1.2	3.95
resid T01	195	3.08	0.81	1.71	2.64	3.05	3.58	4.5	1.09	5.32	0.94	4.23
<i>Test di Kruskal-Wallis: p-value= 0.7237</i>												
totale	392	3.08	0.80	1.84	2.55	3.05	3.62	4.44	1.09	5.32	1.07	4.23
Parametro FEV1 (%)												
resid T03	198	106.9	15.1	83	99	108	115	133	54	152	16	98
resid T01	195	106.9	17.9	81	97	108	119	135	11	148	22	137
<i>Test di Kruskal-Wallis: p-value= 0.7936</i>												
totale	393	106.89	16.56	81	98	108	117	134	11	152	19	141
Parametro FEV1 % FVC (l)												
resid T03	198	80.2	5.9	70.8	76.8	80.8	84.1	88.5	54.2	94.1	7.3	39.9
resid T01	195	80.4	6.8	70.6	76.9	80.4	84.3	89.6	51.7	114.8	7.3	63.1
<i>Test di Kruskal-Wallis: p-value= 0.9070</i>												
totale	393	80.32	6.35	70.79	76.90	80.57	84.08	89.27	51.66	114.77	7.18	63.11

(segue)

(segue)

Parametro FEV1 % FVC (%)												
	<i>n</i>	<i>media</i>	<i>dev std</i>	5° <i>perc</i>	25° <i>perc</i>	50° <i>perc</i>	75° <i>perc</i>	95° <i>perc</i>	<i>min</i>	<i>max</i>	<i>IQR</i>	<i>range</i>
<i>resid T03</i>	198	97.1	6.9	86.0	93.0	97.0	102.0	107.0	69.0	113.0	9.0	44.0
<i>resid T01</i>	193	97.1	9.6	86.1	93.2	97.2	102.0	107.9	9.7	122.7	8.8	112.9
<i>Test di Kruskal-Wallis: p-value= 0.9169</i>												
<i>totale</i>	391	97.12	8.35	86	93	97	102	107.69	9.73	122.68	9	112.95
Parametro PEF(l)												
<i>resid T03</i>	198	6.9	2.2	4.1	5.4	6.4	8.2	11.0	2.8	12.8	2.9	10.1
<i>resid T01</i>	195	6.9	2.2	3.4	5.3	6.6	8.4	10.8	1.7	12.9	3.1	11.2
<i>Test di Kruskal-Wallis: p-value= 0.9402</i>												
<i>totale</i>	393	6.9	2.2	3.8	5.4	6.5	8.3	10.9	1.7	12.9	3.0	11.2
Parametro PEF (%)												
<i>resid T03</i>	198	94.6	20.6	64	80	92	108	131	50	151	28	101
<i>resid T01</i>	195	93.6	21.2	57	81	95	107	127	32	152	26	120
<i>Test di Kruskal-Wallis: p-value= 0.9724</i>												
<i>totale</i>	393	94.09	20.87	58	80	94	108	130	32	152	28	120

Tab 70. Distribuzione valori spirometria per sesso

Parametro FVC(l)												
	n	media	dev std	5° perc	25° perc	50° perc	75° perc	95° perc	min	max	IQR	range
maschi	193	4.5	0.9	3.02	3.96	4.49	5.12	5.72	1.65	6.86	1.16	5.21
femmine	199	3.2	0.6	2.26	2.73	3.25	3.67	4.19	1.54	4.7	0.94	3.16
<i>Test di Kruskal-Wallis: p-value <0.0001</i>												
Parametro FVC(%)												
maschi	194	105.4	15.0	81.0	96.0	106.0	116.0	127.0	54.0	140.0	20.0	86.0
femmine	199	114.3	18.6	91.0	105.0	115.0	123.0	142.0	8.0	166.0	18.0	158.0
<i>Test di Kruskal-Wallis: p-value <0.0001</i>												
Parametro FEV1 (l)												
maschi	194	3.56	0.73	2.4	3.09	3.585	4.03	4.72	1.26	5.32	0.94	4.06
femmine	198	2.60	0.52	1.76	2.2	2.665	2.96	3.37	1.09	4.01	0.76	2.92
<i>Test di Kruskal-Wallis: p-value <0.0001</i>												
Parametro FEV1 (%)												
maschi	194	103.2	16.8	76	95	105	113	127	11	141	18	130
femmine	199	110.5	15.5	87	100	110	121	139	59	152	21	93
<i>Test di Kruskal-Wallis: p-value <0.0001</i>												
Parametro FEV1 % FVC (l)												
maschi	194	79.5	6.9	66.7	76.2	79.8	83.3	89.0	54.2	114.8	7.2	60.6
femmine	199	81.1	5.7	73.2	77.6	81.2	85.2	89.3	51.7	96.1	7.6	44.4
<i>Test di Kruskal-Wallis: p-value = 0.0056</i>												
Parametro FEV1 % FVC (%)												
maschi	194	98.2	9.9	83.9	95.0	99.0	103.0	109.0	9.7	122.7	8.0	112.9
femmine	197	96.1	6.3	86.0	92.4	95.8	100.8	106.0	71.0	113.0	8.5	42.0
<i>Test di Kruskal-Wallis: p-value <0.0001</i>												
Parametro PEF(l)												
maschi	194	8.2	2.1	4.7	6.7	8.2	9.9	11.8	3.2	12.9	3.2	9.8
femmine	199	5.6	1.3	3.3	4.8	5.6	6.4	8.1	1.7	9.0	1.6	7.3
<i>Test di Kruskal-Wallis: p-value < 0.0001</i>												

(segue)

(segue)

Parametro PEF (%)												
	<i>n</i>	<i>media</i>	<i>dev std</i>	<i>5° perc</i>	<i>25° perc</i>	<i>50° perc</i>	<i>75° perc</i>	<i>95° perc</i>	<i>min</i>	<i>max</i>	<i>IQR</i>	<i>range</i>
<i>maschi</i>	194	96.5	21.7	57	83	96.5	113	131	46	152	30	106
<i>femmine</i>	199	91.7	19.8	60	79	92	105	126	32	150	26	118

Test di Kruskal-Wallis: *p-value* < 0.0192

Tab 71. Distribuzione valori spirometria per classi d'età

Parametro FVC (l)												
	n	media	dev std	5° perc	25° perc	50° perc	75° perc	95° perc	min	max	IQR	range
31-40	55	4.49	0.96	3.01	3.79	4.29	5.22	5.94	2.65	6.86	1.43	4.21
41-50	119	4.10	0.86	2.86	3.44	3.96	4.65	5.58	2.41	6.57	1.21	4.16
51-60	116	3.73	0.90	2.38	2.96	3.68	4.38	5.22	1.54	5.49	1.42	3.95
61-70	102	3.29	0.89	1.97	2.56	3.15	3.96	4.66	1.63	5.53	1.40	3.90
<i>Test di Kruskal-Wallis: p-value < 0.0001</i>												
Parametro FVC (%)												
31-40	55	112,1	12,9	84	104	115	119	131	80	143	15	63
41-50	120	109,0	13,0	87	100	108	119	131	76	146	19	70
51-60	116	109,7	18,0	90	99	111	118	138	11	155	19	144
61-70	102	109,9	22,9	73	96	112,5	123	140	8	166	27	158
<i>Test di Kruskal-Wallis: p-value = 0.4218</i>												
Parametro FEV1(l)												
31-40	55	3,76	0,78	2,52	3,12	3,85	4,34	4,98	2,35	5,32	1,22	2,97
41-50	120	3,32	0,64	2,38	2,83	3,31	3,79	4,47	2,02	5,21	0,96	3,19
51-60	116	2,95	0,71	1,85	2,37	2,94	3,52	4,09	1,33	4,36	1,15	3,03
61-70	101	2,56	0,68	1,59	2,02	2,63	2,97	3,81	1,09	4,28	0,95	3,19
<i>Test di Kruskal-Wallis: p-value < 0.0001</i>												
Parametro FEV1(%)												
31-40	55	110,6	11,7	92,0	103,0	111,0	117,0	136,0	79,0	141,0	14,0	62,0
41-50	120	105,9	12,8	84,0	97,0	106,0	114,5	125,5	74,0	144,0	17,5	70,0
51-60	116	105,4	18,2	73,0	97,5	106,5	116,0	133,0	11,0	148,0	18,5	137,0
61-70	102	107,7	20,2	76,0	97,0	109,5	120,0	137,0	53,0	152,0	23,0	99,0
<i>Test di Kruskal-Wallis: p-value = 0.1165</i>												

(segue)

(segue)

Parametro FEV1 % FVC (I)												
	n	media	dev std	5° perc	25° perc	50° perc	75° perc	95° perc	min	max	IQR	range
31-40	55	84,1	6,6	74,9	80,4	83,2	87,4	94,1	71,3	114,8	7,0	43,5
41-50	120	81,5	5,6	73,8	78,7	81,5	85,3	89,2	55,3	96,1	6,6	40,8
51-60	116	79,2	5,4	67,9	76,0	79,4	82,7	86,9	59,7	96,6	6,7	36,9
61-70	102	78,1	6,9	66,3	74,5	78,5	82,7	86,8	51,7	91,0	8,2	39,4
Test di Kruskal-Wallis: p-value < 0,0001												
Parametro FEV1 % FVC (%)												
31-40	55	99,0	6,3	87,2	94,1	99,0	104,0	109,0	82,0	109,5	9,9	27,5
41-50	120	97,4	6,8	87,7	94,0	98,0	102,0	107,6	68,1	113,0	8,0	44,9
51-60	115	95,5	10,6	83,9	92,5	96,0	101,0	105,3	9,7	122,7	8,5	112,9
61-70	101	97,6	7,9	85,0	92,7	98,1	103,0	107,6	69,0	116,4	10,3	47,4
Test di Kruskal-Wallis: p-value = 0,0602												
Parametro PEF(I)												
31-40	55	7,89	2,51	4,39	5,74	7,29	9,98	12,38	3,88	12,93	4,24	9,05
41-50	120	7,13	1,99	4,69	5,61	6,73	8,45	10,71	2,91	12,19	2,84	9,28
51-60	116	6,90	2,01	3,82	5,34	6,70	8,41	10,62	3,32	12,38	3,07	9,06
61-70	102	6,01	2,08	3,06	4,47	5,83	7,17	9,90	1,72	12,14	2,70	10,42
Test di Kruskal-Wallis: p-value < 0,0001												
Parametro PEF(%)												
31-40	55	97,3	19,7	62,0	83,0	95,0	111,0	132,0	49,0	140,0	28,0	91,0
41-50	120	93,4	18,8	63,5	79,5	93,0	108,0	124,5	46,0	131,0	28,5	85,0
51-60	116	96,9	20,5	61,0	84,0	97,0	108,5	133,0	55,0	152,0	24,5	97,0
61-70	102	89,9	23,5	53,0	72,0	90,0	106,0	127,0	32,0	151,0	34,0	119,0
Test di Kruskal-Wallis: p-value = 0,0825												

Tab 72. Distribuzione valori spirometria per abitudini al fumo

Parametro FVC(l)													
	n	media	dev std	5° perc	25° perc	50° perc	75° perc	95° perc	min	max	IQR	range	
fumatori	82	3.86	0.97	2.45	3.15	3.87	4.47	5.47	1.65	6.86	1.32	5.21	
non fumatori	310	3.83	0.98	2.36	3.10	3.79	4.49	5.53	1.54	6.57	1.39	5.03	
<i>Test di Kruskal-Wallis: p-value= 0.8141</i>													
Parametro FVC(%)													
fumatori	82	105.6	1	20.19	80	97	106	117	131	8	158	20	150
non fumatori	312	111.0	1	16.57	87	101	112	120	137	11	166	19	155
<i>Test di Kruskal-Wallis: p-value= 0.0216</i>													
Parametro FEV1 (l)													
fumatori	82	3.10	0.81	1.84	2.54	3.02	3.57	4.34	1.26	5.24	1.03	3.98	
non fumatori	310	3.07	0.79	1.85	2.55	3.05	3.62	4.44	1.09	5.32	1.07	4.23	
<i>Test di Kruskal-Wallis: p-value= 0.8876</i>													
Parametro FEV1 (%)													
fumatori	82	102.88	16.82	74	93	103	114	125	52	145	21	93	
non fumatori	311	107.95	16.35	83	99	109	118	135	11	152	19	141	
<i>Test di Kruskal-Wallis: p-value= 0.0156</i>													
Parametro FEV1 % FVC (l)													
fumatori	82	80.09	6.40	69.81	76.24	79.64	84.61	90.51	59.72	94.41	8.37	34.69	
non fumatori	311	80.38	6.34	71.28	77.09	80.73	84.04	89.05	51.66	114.77	6.94	63.11	
<i>Test di Kruskal-Wallis: p-value = 0.5485</i>													
Parametro FEV1 % FVC (%)													
fumatori	81	96.68	7.56	88.00	92.00	96.77	101.7	109.0	71.00	114.4	9.74	43.44	
non fumatori	310	97.23	8.55	86.00	93.33	97.60	102.0	107.2	9.73	122.6	8.67	112.9	
<i>Test di Kruskal-Wallis: p-value = 0.2078</i>													

(segue)

(segue)

Parametro PEF(I)

	<i>n</i>	<i>media</i>	<i>dev std</i>	<i>5° perc</i>	<i>25° perc</i>	<i>50° perc</i>	<i>75° perc</i>	<i>95° perc</i>	<i>min</i>	<i>max</i>	<i>IQR</i>	<i>range</i>
<i>fumatori</i>	82	6.72	2.36	3.36	4.95	6.15	8.60	11.03	2.77	11.89	3.65	9.12
<i>non fumatori</i>	311	6.92	2.13	3.77	5.45	6.57	8.33	10.78	1.72	12.93	2.88	11.21

Test di Kruskal-Wallis: p-value= 0.2754

Parametro PEF (%)

	<i>n</i>	<i>media</i>	<i>dev std</i>	<i>5° perc</i>	<i>25° perc</i>	<i>50° perc</i>	<i>75° perc</i>	<i>95° perc</i>	<i>min</i>	<i>max</i>	<i>IQR</i>	<i>range</i>
<i>fumatori</i>	82	89.67	22.58	53	76	87	105	130	46	139	29	93
<i>non fumatori</i>	311	95.26	20.27	63	81	95	108	130	32	152	27	120

Test di Kruskal-Wallis: p-value= 0.0436

5. METALLI NELLE URINE E PIOMBO EMATICO

Nelle tabelle 73-130 sono riportati in dettaglio i risultati delle analisi descrittive riguardanti i metalli dosati nei soggetti in studio.

Tab 73. Distribuzione valori di Arsenico (As) ($\mu\text{g/l}$) per zona di residenza

	<i>n</i>	<i>media</i>	<i>dev std</i>	5° <i>perc</i>	25° <i>perc</i>	50° <i>perc</i>	75° <i>perc</i>	95° <i>perc</i>	<i>min</i>	<i>max</i>	<i>IQR</i>	<i>range</i>
<i>resid T03</i>	185	26.4	27.8	2.6	7.6	17.5	32.9	93.1	1.1	119.6	25.4	118.5
<i>resid T01</i>	181	27.4	26.3	3.0	9.6	20.3	34.4	87.5	1.3	132.0	24.8	130.7
<i>Test di Kruskal-Wallis: p-value = 0.1896</i>												
<i>totale</i>	366	26.9	27.0	2.9	8.2	18.2	33.4	88.9	1.1	132.0	25.2	130.9

Limite di rilevabilità: 0.92 $\mu\text{g/l}$; 100.0% campioni al di sopra del limite di rilevabilità.

Tab 74. Distribuzione valori di Arsenico (As) ($\mu\text{g/l}$) per sesso

	<i>n</i>	<i>media</i>	<i>dev std</i>	5° <i>perc</i>	25° <i>perc</i>	50° <i>perc</i>	75° <i>perc</i>	95° <i>perc</i>	<i>min</i>	<i>max</i>	<i>IQR</i>	<i>range</i>
<i>maschi</i>	178	27.5	26.5	3.3	8.7	19.1	34.0	91.3	1.6	122.3	25.3	120.7
<i>femmine</i>	188	26.3	27.5	2.6	7.6	17.2	33.2	87.5	1.1	132.0	25.5	130.9

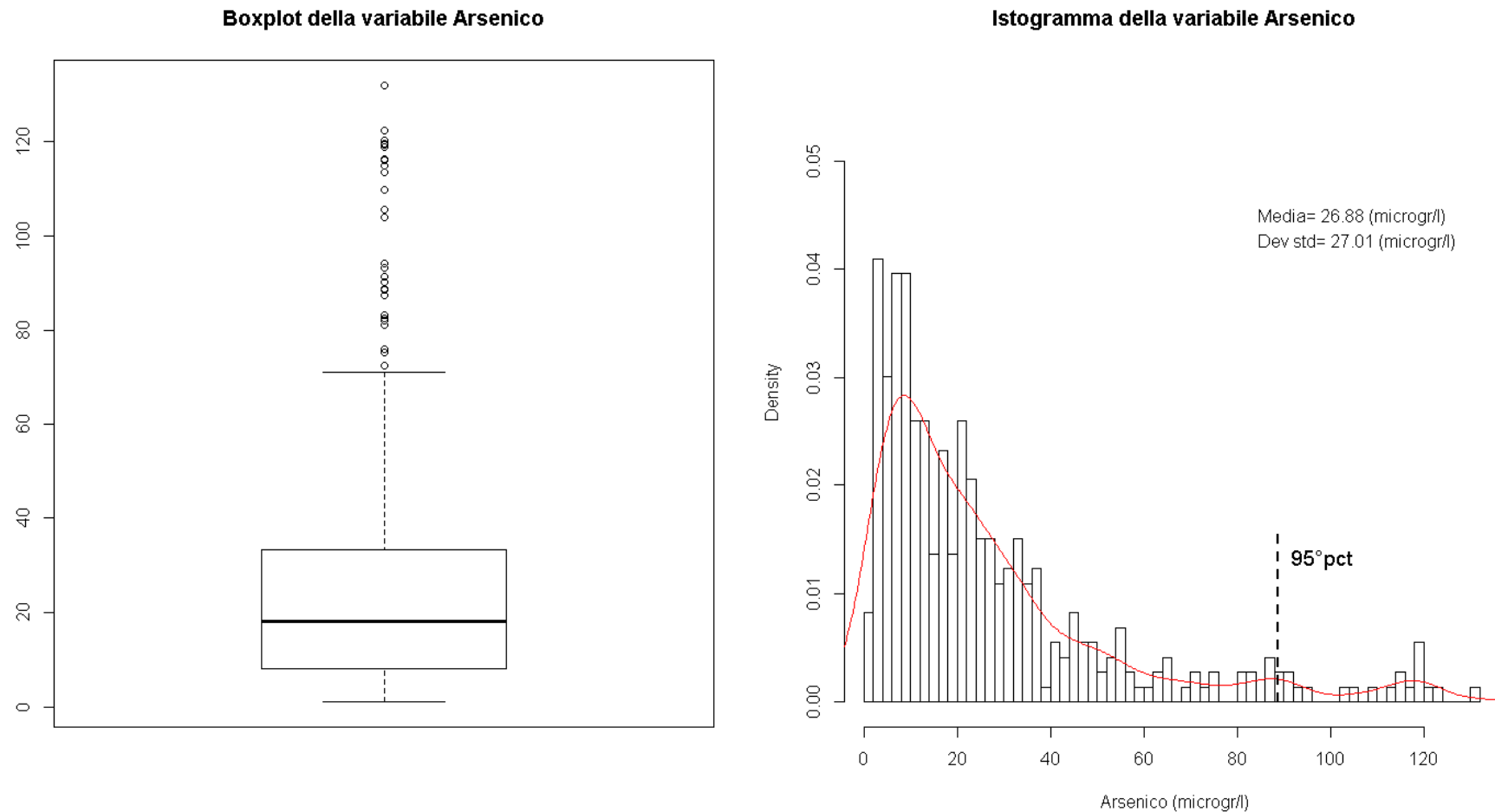
Test di Kruskal-Wallis: p-value=0.3030

Tab 75. Distribuzione valori di Arsenico (As) ($\mu\text{g/l}$) per classi d'età

	<i>n</i>	<i>media</i>	<i>dev std</i>	5° <i>perc</i>	25° <i>perc</i>	50° <i>perc</i>	75° <i>perc</i>	95° <i>perc</i>	<i>min</i>	<i>max</i>	<i>IQR</i>	<i>range</i>
<i>31-40</i>	55	27.5	26.3	2.9	9.1	21.5	37.3	75.3	1.1	132.0	28.2	130.9
<i>41-50</i>	110	26.8	27.5	2.7	7.8	20.6	32.9	105.6	1.4	119.2	25.2	117.8
<i>51-60</i>	109	26.3	26.8	3.0	8.7	17.3	32.5	87.5	1.3	122.3	23.8	121.0
<i>61-70</i>	92	27.4	27.5	2.9	8.6	16.6	34.8	88.9	1.6	120.3	26.2	118.7

Test di Kruskal-Wallis: p-value=0.9414

Fig 20. Box plot e istogramma della distribuzione dei valori totali di Arsenico (As) ($\mu\text{g/l}$)



Tab 76. Distribuzione valori di Berillio (Be) ($\mu\text{g/l}$) per zona di residenza

	<i>n</i>	<i>media</i>	<i>dev std</i>	<i>5° perc</i>	<i>25° perc</i>	<i>50° perc</i>	<i>75° perc</i>	<i>95° perc</i>	<i>min</i>	<i>max</i>	<i>IQR</i>	<i>range</i>
<i>resid T03</i>	198	0.178	0.078	0.069	0.121	0.168	0.216	0.340	0.020	0.514	0.094	0.495
<i>resid T01</i>	193	0.171	0.093	0.050	0.095	0.154	0.235	0.352	0.020	0.446	0.140	0.427
<i>Test di Kruskal-Wallis: p-value = 0.1512</i>												
<i>totale</i>	391	0.175	0.086	0.055	0.112	0.160	0.223	0.343	0.020	0.514	0.110	0.495

Limite di rilevabilità: 0.04 $\mu\text{g/l}$; 98.7% campioni al di sopra del limite di rilevabilità.

Tab 77. Distribuzione valori di Berillio (Be) ($\mu\text{g/l}$) per sesso

	<i>n</i>	<i>media</i>	<i>dev std</i>	<i>5° perc</i>	<i>25° perc</i>	<i>50° perc</i>	<i>75° perc</i>	<i>95° perc</i>	<i>min</i>	<i>max</i>	<i>IQR</i>	<i>range</i>
<i>maschi</i>	195	0.179	0.088	0.050	0.114	0.168	0.238	0.325	0.020	0.514	0.124	0.495
<i>femmine</i>	196	0.170	0.084	0.060	0.110	0.155	0.212	0.350	0.020	0.458	0.103	0.438

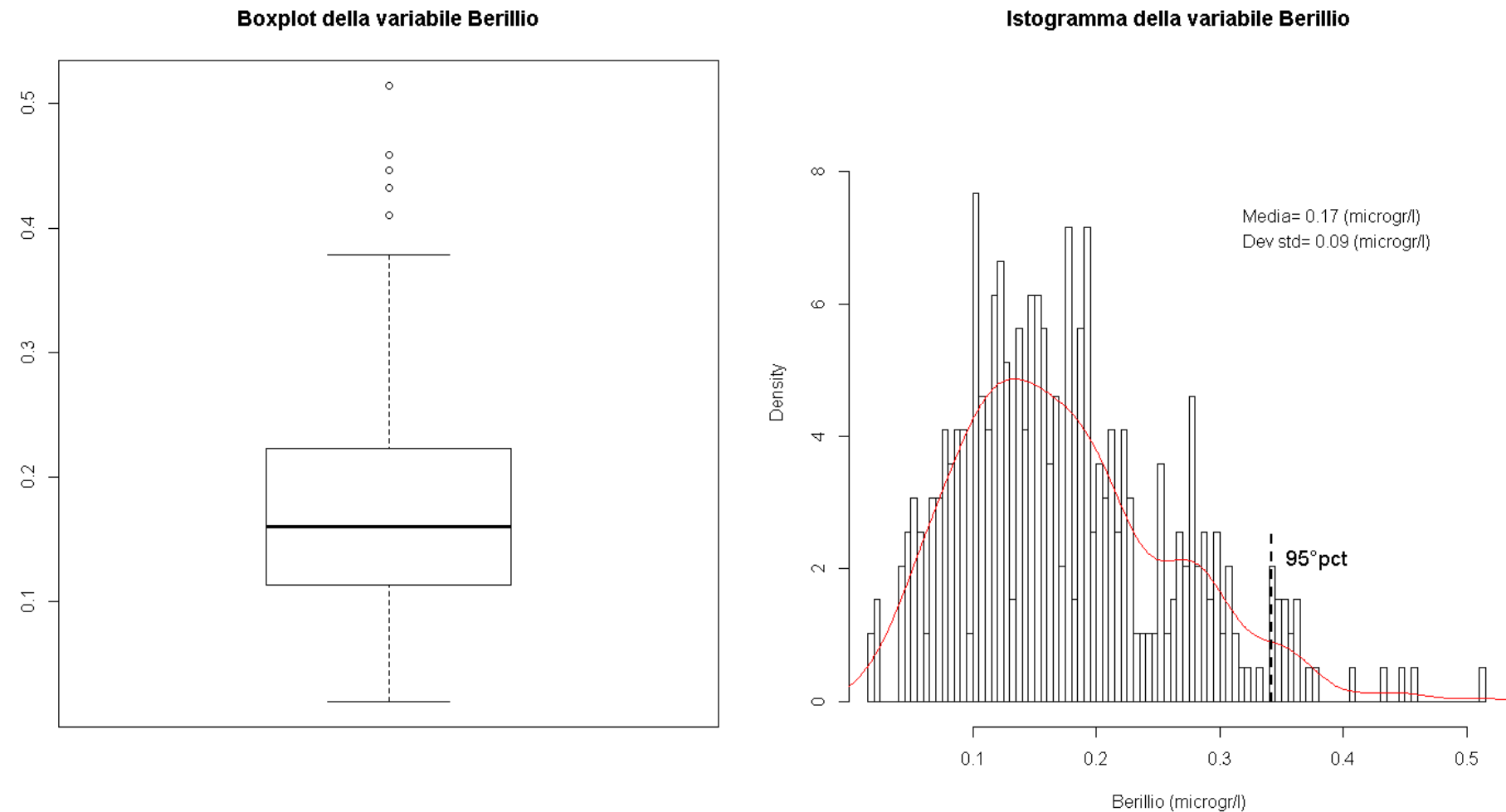
Test di Kruskal-Wallis: p-value=0.2625

Tab 78. Distribuzione valori di Berillio (Be) ($\mu\text{g/l}$) per classi d'età

	<i>n</i>	<i>media</i>	<i>dev std</i>	<i>5° perc</i>	<i>25° perc</i>	<i>50° perc</i>	<i>75° perc</i>	<i>95° perc</i>	<i>min</i>	<i>max</i>	<i>IQR</i>	<i>range</i>
<i>31-40</i>	56	0.172	0.098	0.045	0.093	0.166	0.233	0.343	0.020	0.514	0.140	0.494
<i>41-50</i>	119	0.170	0.085	0.051	0.109	0.155	0.221	0.345	0.020	0.446	0.112	0.427
<i>51-60</i>	116	0.179	0.085	0.069	0.117	0.168	0.230	0.346	0.048	0.432	0.113	0.384
<i>61-70</i>	100	0.176	0.081	0.052	0.122	0.159	0.215	0.343	0.043	0.458	0.093	0.415

Test di Kruskal-Wallis: p-value=0.8648

Fig 21. Box plot e istogramma della distribuzione dei valori totali di Berillio (Be) ($\mu\text{g/l}$)



Tab 79. Distribuzione valori di Cadmio (Cd) ($\mu\text{g/l}$) per zona di residenza

	<i>n</i>	<i>media</i>	<i>dev std</i>	5° <i>perc</i>	25° <i>perc</i>	50° <i>perc</i>	75° <i>perc</i>	95° <i>perc</i>	<i>min</i>	<i>max</i>	<i>IQR</i>	<i>range</i>
<i>resid T03</i>	197	0.788	0.552	0.175	0.398	0.649	0.967	1.906	0.056	3.207	0.569	3.151
<i>resid T01</i>	192	0.888	0.568	0.182	0.440	0.777	1.262	1.979	0.040	3.212	0.822	3.172
<i>Test di Kruskal-Wallis: p-value = 0.0356</i>												
<i>totale</i>	389	0.837	0.561	0.182	0.424	0.713	1.115	1.934	0.040	3.212	0.691	3.172

Limite di rilevabilità: 0.014 $\mu\text{g/l}$; 100.0% campioni al di sopra del limite di rilevabilità.

Tab 80. Distribuzione valori di Cadmio (Cd) ($\mu\text{g/l}$) per sesso

	<i>n</i>	<i>media</i>	<i>dev std</i>	5° <i>perc</i>	25° <i>perc</i>	50° <i>perc</i>	75° <i>perc</i>	95° <i>perc</i>	<i>min</i>	<i>max</i>	<i>IQR</i>	<i>range</i>
<i>maschi</i>	193	0.805	0.528	0.182	0.425	0.713	1.032	1.979	0.040	3.207	0.606	3.166
<i>femmine</i>	196	0.868	0.592	0.176	0.416	0.715	1.194	1.934	0.056	3.212	0.778	3.156

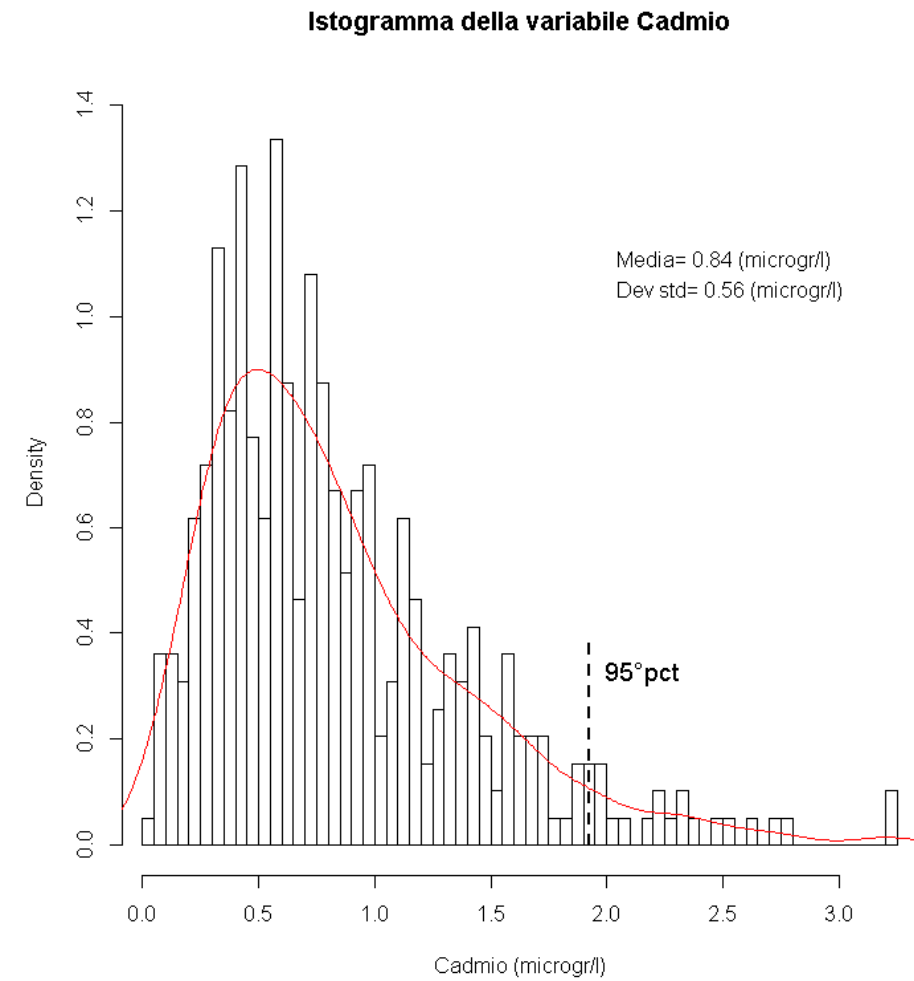
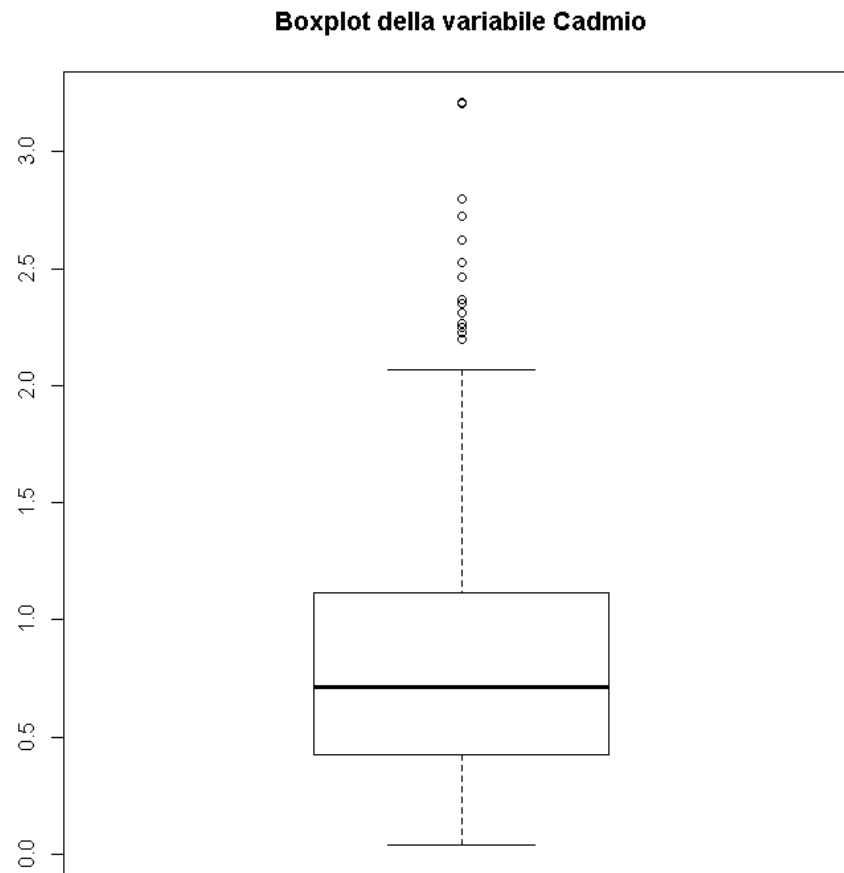
Test di Kruskal-Wallis: p-value=0.4728

Tab 81. Distribuzione valori di Cadmio (Cd) ($\mu\text{g/l}$) per classi d'età

	<i>n</i>	<i>media</i>	<i>dev std</i>	5° <i>perc</i>	25° <i>perc</i>	50° <i>perc</i>	75° <i>perc</i>	95° <i>perc</i>	<i>min</i>	<i>max</i>	<i>IQR</i>	<i>range</i>
<i>31-40</i>	56	0.695	0.475	0.076	0.313	0.601	0.990	1.591	0.056	1.906	0.677	1.850
<i>41-50</i>	119	0.831	0.509	0.121	0.439	0.755	1.108	1.884	0.040	2.370	0.669	2.329
<i>51-60</i>	114	0.813	0.631	0.182	0.417	0.588	0.973	2.266	0.096	3.207	0.556	3.110
<i>61-70</i>	100	0.951	0.566	0.243	0.513	0.824	1.300	1.989	0.196	3.212	0.787	3.016

Test di Kruskal-Wallis: p-value=0.0093

Fig 22. Box plot e istogramma della distribuzione dei valori totali di Cadmio (Cd) ($\mu\text{g/l}$)



Tab 82. Distribuzione valori di Cobalto (Co) ($\mu\text{g/l}$) per zona di residenza

	<i>n</i>	<i>media</i>	<i>dev std</i>	5° <i>perc</i>	25° <i>perc</i>	50° <i>perc</i>	75° <i>perc</i>	95° <i>perc</i>	<i>min</i>	<i>max</i>	<i>IQR</i>	<i>range</i>
<i>resid T03</i>	185	0.185	0.136	0.043	0.084	0.153	0.248	0.456	0.024	0.705	0.164	0.681
<i>resid T01</i>	185	0.228	0.163	0.047	0.125	0.184	0.280	0.593	0.022	0.804	0.155	0.783
<i>Test di Kruskal-Wallis: p-value =0.0033</i>												
<i>totale</i>	370	0.206	0.152	0.045	0.105	0.163	0.267	0.559	0.022	0.804	0.162	0.783

Limite di rilevabilità: 0.016 $\mu\text{g/l}$; 100.0% campioni al di sopra del limite di rilevabilità.

Tab 83. Distribuzione valori di Cobalto (Co) ($\mu\text{g/l}$) per sesso

	<i>n</i>	<i>media</i>	<i>dev std</i>	5° <i>perc</i>	25° <i>perc</i>	50° <i>perc</i>	75° <i>perc</i>	95° <i>perc</i>	<i>min</i>	<i>max</i>	<i>IQR</i>	<i>range</i>
<i>maschi</i>	191	0.181	0.122	0.047	0.107	0.155	0.213	0.461	0.022	0.657	0.105	0.635
<i>femmine</i>	179	0.234	0.174	0.040	0.095	0.187	0.311	0.657	0.024	0.804	0.216	0.781

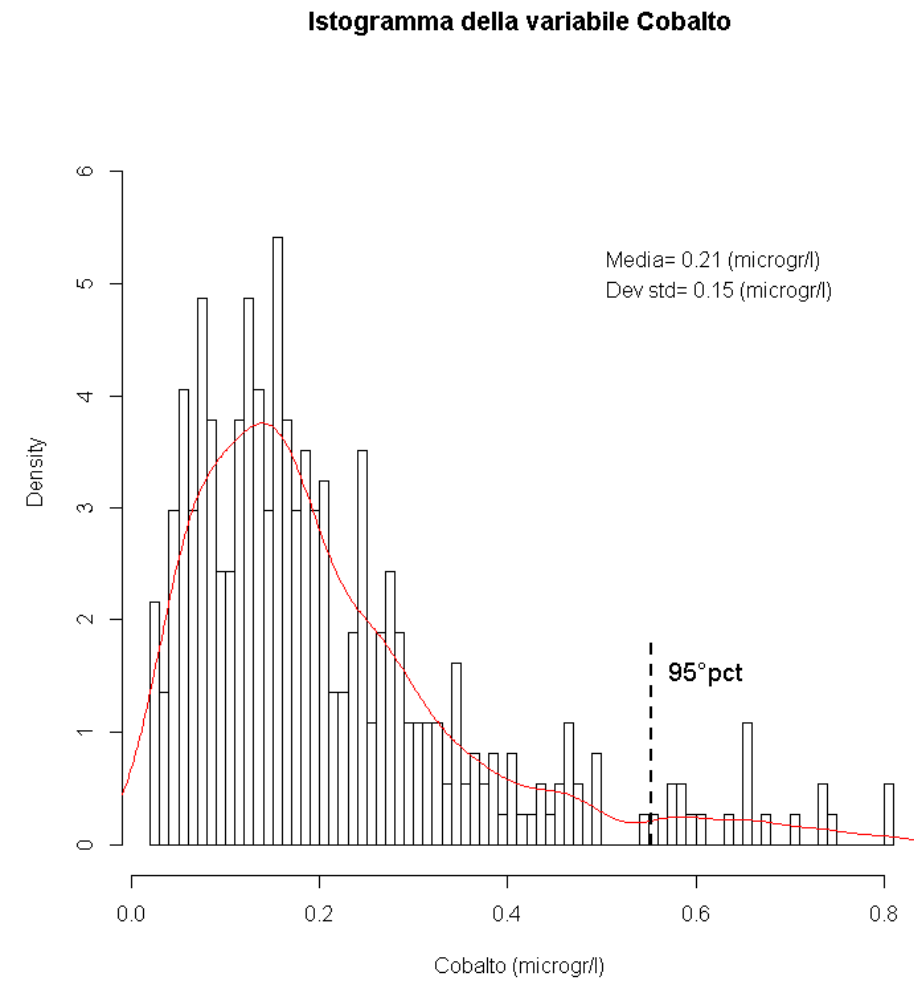
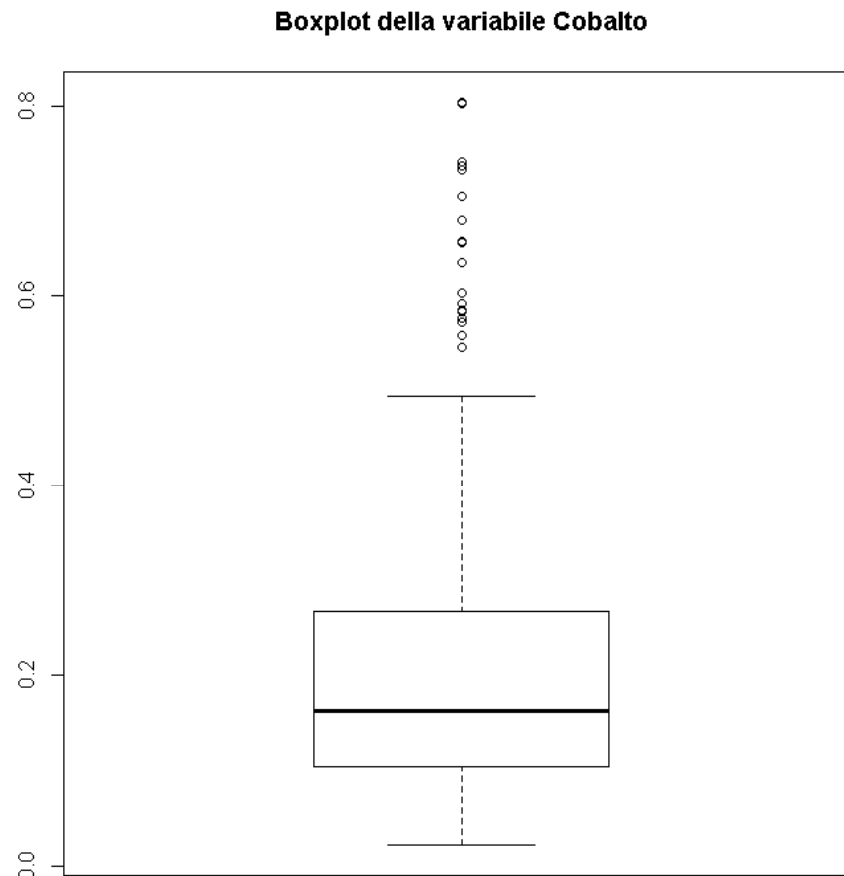
Test di Kruskal-Wallis: p-value=0.0087

Tab 84. Distribuzione valori di Cobalto (Co) ($\mu\text{g/l}$) per classi d'età

	<i>n</i>	<i>media</i>	<i>dev std</i>	5° <i>perc</i>	25° <i>perc</i>	50° <i>perc</i>	75° <i>perc</i>	95° <i>perc</i>	<i>min</i>	<i>max</i>	<i>IQR</i>	<i>range</i>
<i>31-40</i>	53	0.196	0.149	0.042	0.092	0.156	0.247	0.461	0.027	0.804	0.156	0.778
<i>41-50</i>	105	0.237	0.171	0.043	0.115	0.182	0.312	0.585	0.022	0.802	0.197	0.780
<i>51-60</i>	114	0.190	0.142	0.038	0.090	0.155	0.245	0.495	0.024	0.737	0.155	0.713
<i>61-70</i>	98	0.199	0.140	0.047	0.114	0.159	0.252	0.494	0.022	0.741	0.138	0.719

Test di Kruskal-Wallis: p-value=0.1699

Fig 23. Box plot e istogramma della distribuzione dei valori totali di Cobalto (Co) ($\mu\text{g/l}$)



Tab 85. Distribuzione valori di Cromo (Cr) ($\mu\text{g/l}$) per zona di residenza

	<i>n</i>	<i>media</i>	<i>dev std</i>	5° <i>perc</i>	25° <i>perc</i>	50° <i>perc</i>	75° <i>perc</i>	95° <i>perc</i>	<i>min</i>	<i>max</i>	<i>IQR</i>	<i>range</i>
<i>resid T03</i>	192	0.216	0.139	0.045	0.108	0.191	0.293	0.458	0.020	0.693	0.186	0.673
<i>resid T01</i>	190	0.167	0.117	0.045	0.090	0.141	0.209	0.426	0.022	0.661	0.119	0.640
<i>Test di Kruskal-Wallis: p-value =0.0002</i>												
<i>totale</i>	382	0.192	0.131	0.045	0.096	0.164	0.249	0.441	0.020	0.693	0.153	0.673

Limite di rilevabilità: 0.015 $\mu\text{g/l}$; 100.0% campioni al di sopra del limite di rilevabilità.

Tab 86. Distribuzione valori di Cromo (Cr) ($\mu\text{g/l}$) per sesso

	<i>n</i>	<i>media</i>	<i>dev std</i>	5° <i>perc</i>	25° <i>perc</i>	50° <i>perc</i>	75° <i>perc</i>	95° <i>perc</i>	<i>min</i>	<i>max</i>	<i>IQR</i>	<i>range</i>
<i>maschi</i>	190	0.196	0.137	0.040	0.105	0.154	0.249	0.464	0.020	0.693	0.144	0.673
<i>femmine</i>	192	0.187	0.125	0.045	0.091	0.168	0.246	0.428	0.022	0.675	0.155	0.653

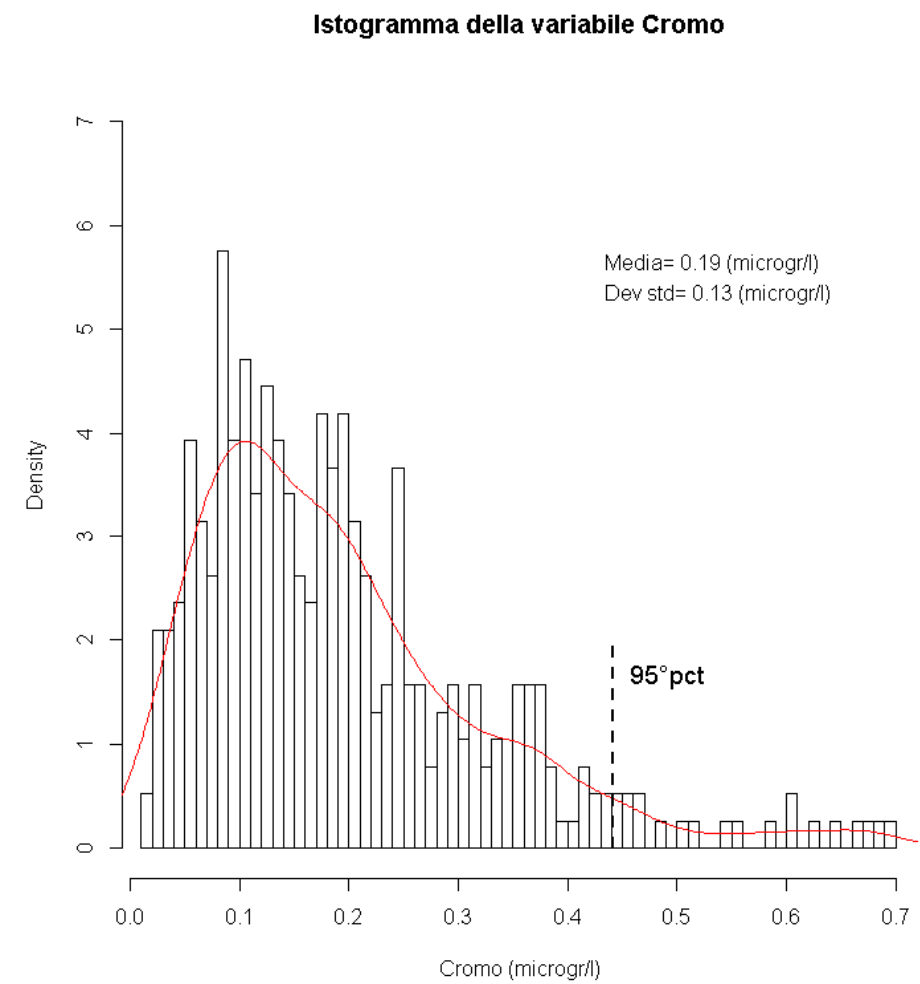
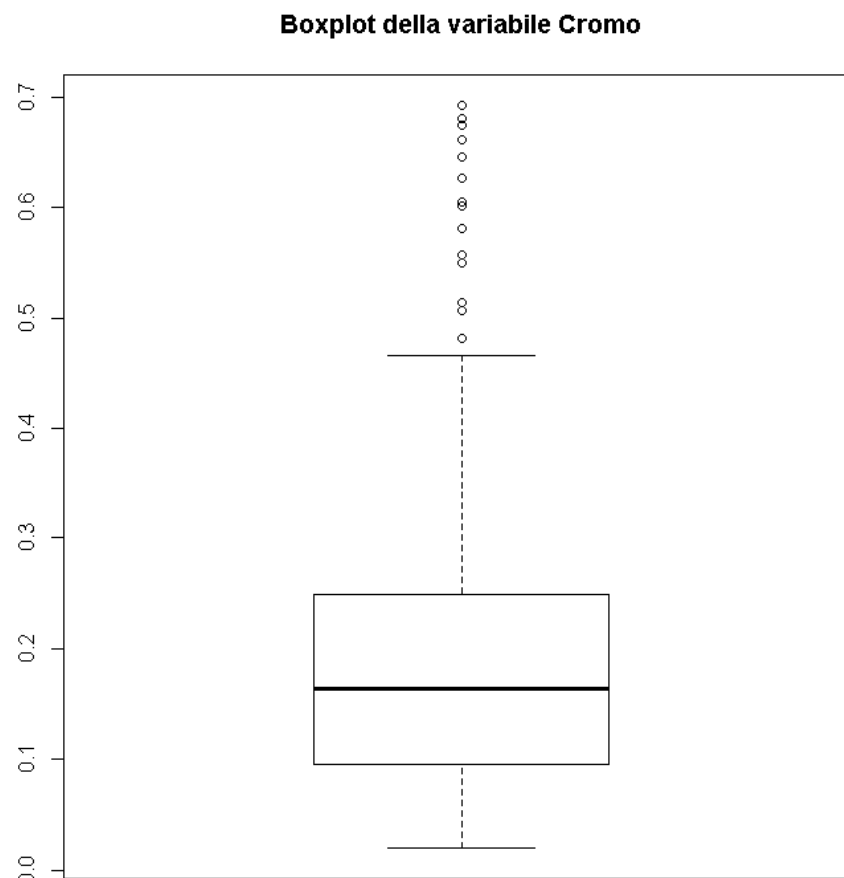
Test di Kruskal-Wallis: p-value=0.6501

Tab 87. Distribuzione valori di Cromo (Cr) ($\mu\text{g/l}$) per classi d'età

	<i>n</i>	<i>media</i>	<i>dev std</i>	5° <i>perc</i>	25° <i>perc</i>	50° <i>perc</i>	75° <i>perc</i>	95° <i>perc</i>	<i>min</i>	<i>max</i>	<i>IQR</i>	<i>range</i>
<i>31-40</i>	55	0.172	0.119	0.027	0.087	0.137	0.238	0.439	0.022	0.464	0.151	0.442
<i>41-50</i>	118	0.213	0.140	0.050	0.105	0.188	0.293	0.506	0.020	0.661	0.188	0.641
<i>51-60</i>	111	0.177	0.125	0.035	0.096	0.153	0.213	0.419	0.020	0.693	0.117	0.673
<i>61-70</i>	98	0.194	0.129	0.046	0.100	0.160	0.258	0.458	0.022	0.675	0.157	0.653

Test di Kruskal-Wallis: p-value=0.1516

Fig 24. Box plot e istogramma della distribuzione dei valori totali di Cromo (Cr) ($\mu\text{g/l}$)



Tab 88. Distribuzione valori di Rame (Cu) ($\mu\text{g/l}$) per zona di residenza

	<i>n</i>	<i>media</i>	<i>dev std</i>	5° <i>perc</i>	25° <i>perc</i>	50° <i>perc</i>	75° <i>perc</i>	95° <i>perc</i>	<i>min</i>	<i>max</i>	<i>IQR</i>	<i>range</i>
<i>resid T03</i>	196	12.2	7.1	3.6	7.5	10.8	15.4	27.7	2.0	35.1	7.9	33.0
<i>resid T01</i>	192	12.0	6.9	3.4	6.4	10.8	16.2	24.1	0.2	37.3	9.7	37.1
<i>Test di Kruskal-Wallis: p-value = 0.9185</i>												
<i>totale</i>	388	12.1	7.0	3.4	7.0	10.8	15.6	26.6	0.2	37.3	8.6	37.1

Limite di rilevabilità: 0.3 $\mu\text{g/l}$; 99.7% campioni al di sopra del limite di rilevabilità.

Tab 89. Distribuzione valori di Rame (Cu) ($\mu\text{g/l}$) per sesso

	<i>n</i>	<i>media</i>	<i>dev std</i>	5° <i>perc</i>	25° <i>perc</i>	50° <i>perc</i>	75° <i>perc</i>	95° <i>perc</i>	<i>min</i>	<i>max</i>	<i>IQR</i>	<i>range</i>
<i>maschi</i>	191	13.0	6.6	4.1	8.3	11.9	15.9	27.1	1.6	34.4	7.6	32.8
<i>femmine</i>	197	11.2	7.3	3.2	5.6	9.3	15.0	26.6	0.2	37.3	9.4	37.1

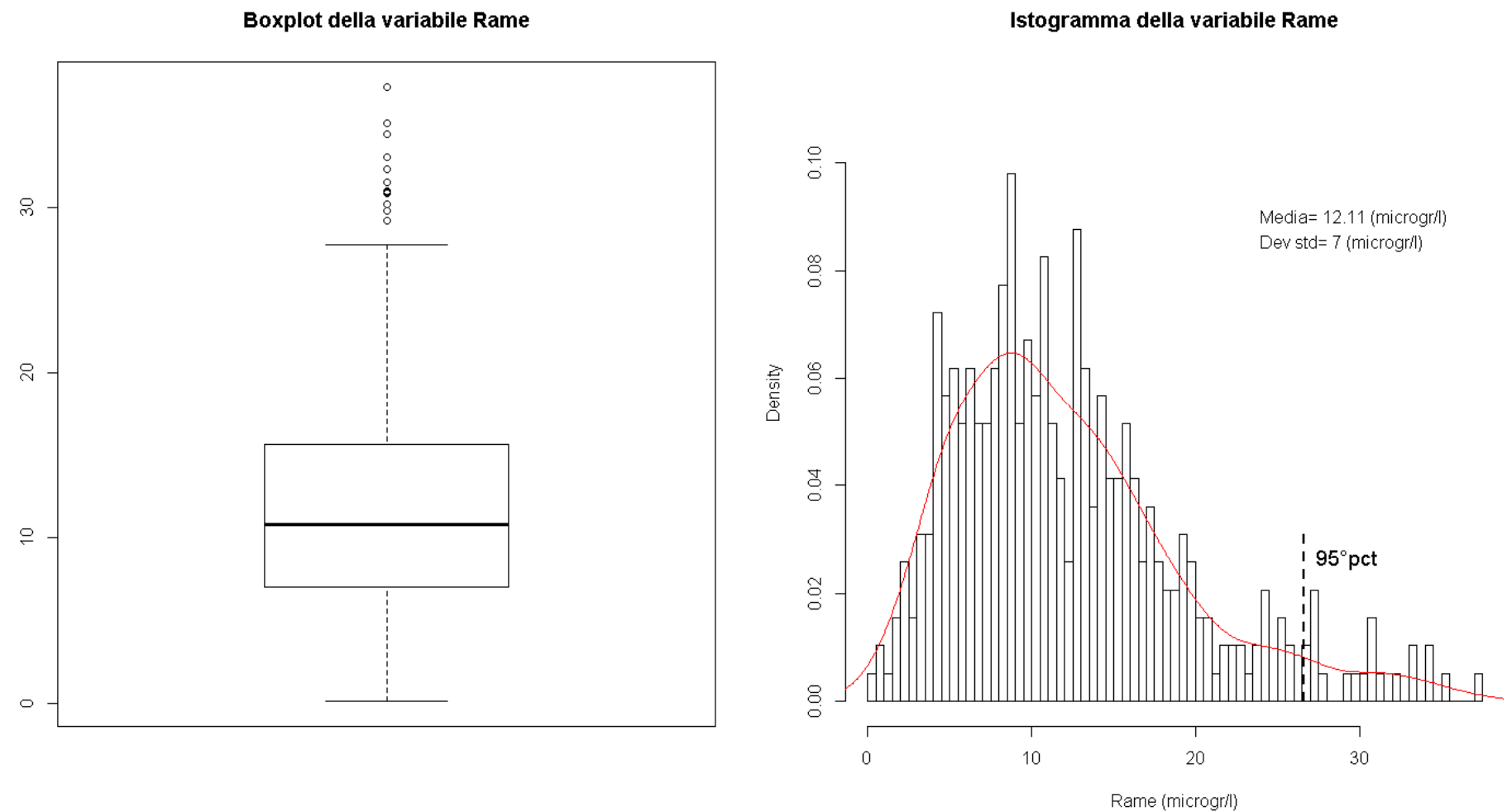
Test di Kruskal-Wallis: p-value=0.0007

Tab 90. Distribuzione valori di Rame (Cu) ($\mu\text{g/l}$) per classi d'età

	<i>n</i>	<i>media</i>	<i>dev std</i>	5° <i>perc</i>	25° <i>perc</i>	50° <i>perc</i>	75° <i>perc</i>	95° <i>perc</i>	<i>min</i>	<i>max</i>	<i>IQR</i>	<i>range</i>
<i>31-40</i>	55	11.8	7.4	2.5	6.0	10.1	15.5	27.4	0.9	31.5	9.5	30.6
<i>41-50</i>	116	13.2	7.4	3.2	7.6	12.4	17.4	27.3	0.2	37.3	9.8	37.1
<i>51-60</i>	116	10.6	6.5	3.4	5.7	8.7	14.0	23.0	1.2	33.0	8.3	31.8
<i>61-70</i>	101	12.7	6.6	5.4	8.3	10.8	16.2	25.4	1.6	35.1	7.9	33.5

Test di Kruskal-Wallis: p-value=0.0079

Fig 25. Box plot e istogramma della distribuzione dei valori totali di Rame (Cu) ($\mu\text{g/l}$)



Tab 91. Distribuzione valori di Mercurio (Hg) ($\mu\text{g/l}$) per zona di residenza

	<i>n</i>	<i>media</i>	<i>dev std</i>	5° <i>perc</i>	25° <i>perc</i>	50° <i>perc</i>	75° <i>perc</i>	95° <i>perc</i>	<i>min</i>	<i>max</i>	<i>IQR</i>	<i>range</i>
<i>resid T03</i>	195	1.90	1.40	0.56	0.98	1.36	2.52	4.94	0.47	7.34	1.54	6.87
<i>resid T01</i>	190	1.89	1.55	0.49	0.74	1.32	2.46	5.67	0.22	7.32	1.72	7.09
<i>Test di Kruskal-Wallis: p-value = 0.2587</i>												
<i>totale</i>	385	1.89	1.47	0.53	0.81	1.35	2.50	5.16	0.22	7.34	1.69	7.12

Limite di rilevabilità: 0.45 $\mu\text{g/l}$; 99.2% campioni al di sopra del limite di rilevabilità.

Tab 92. Distribuzione valori di Mercurio (Hg) ($\mu\text{g/l}$) per sesso

	<i>n</i>	<i>media</i>	<i>dev std</i>	5° <i>perc</i>	25° <i>perc</i>	50° <i>perc</i>	75° <i>perc</i>	95° <i>perc</i>	<i>min</i>	<i>max</i>	<i>IQR</i>	<i>range</i>
<i>maschi</i>	191	2.03	1.51	0.58	0.99	1.45	2.58	5.55	0.47	7.32	1.59	6.84
<i>femmine</i>	194	1.75	1.43	0.51	0.73	1.20	2.25	4.94	0.22	7.34	1.52	7.12

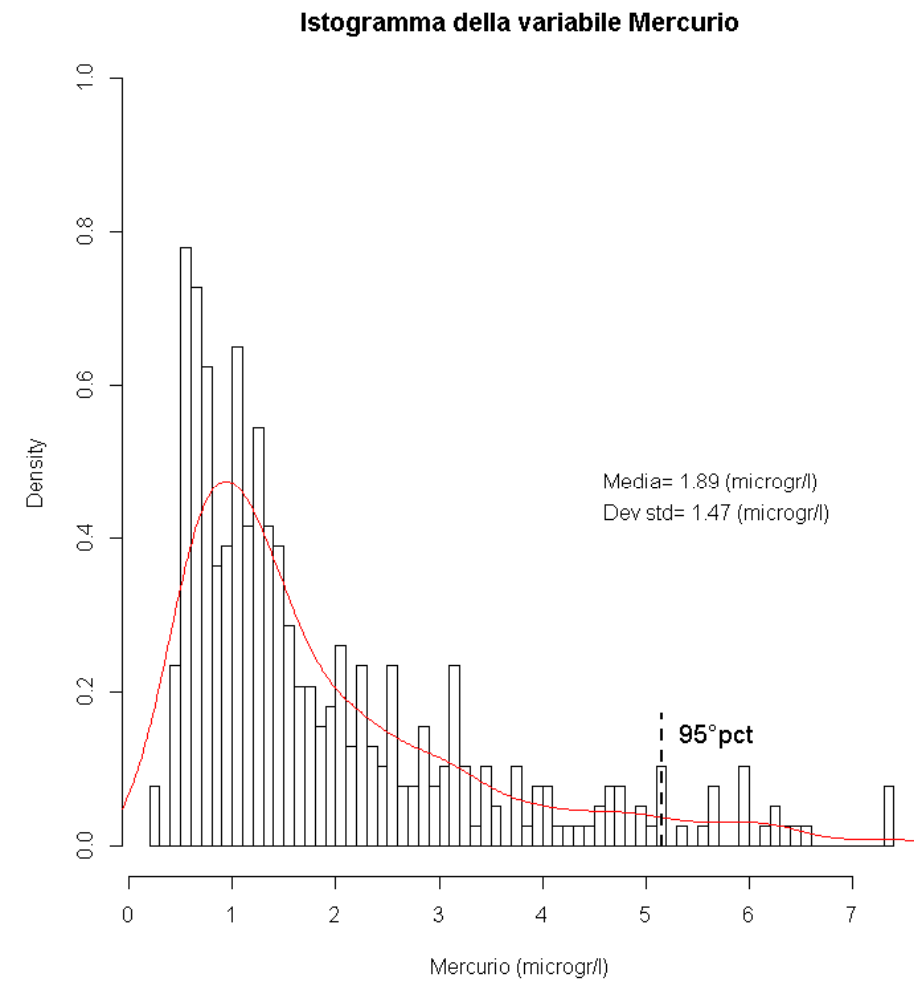
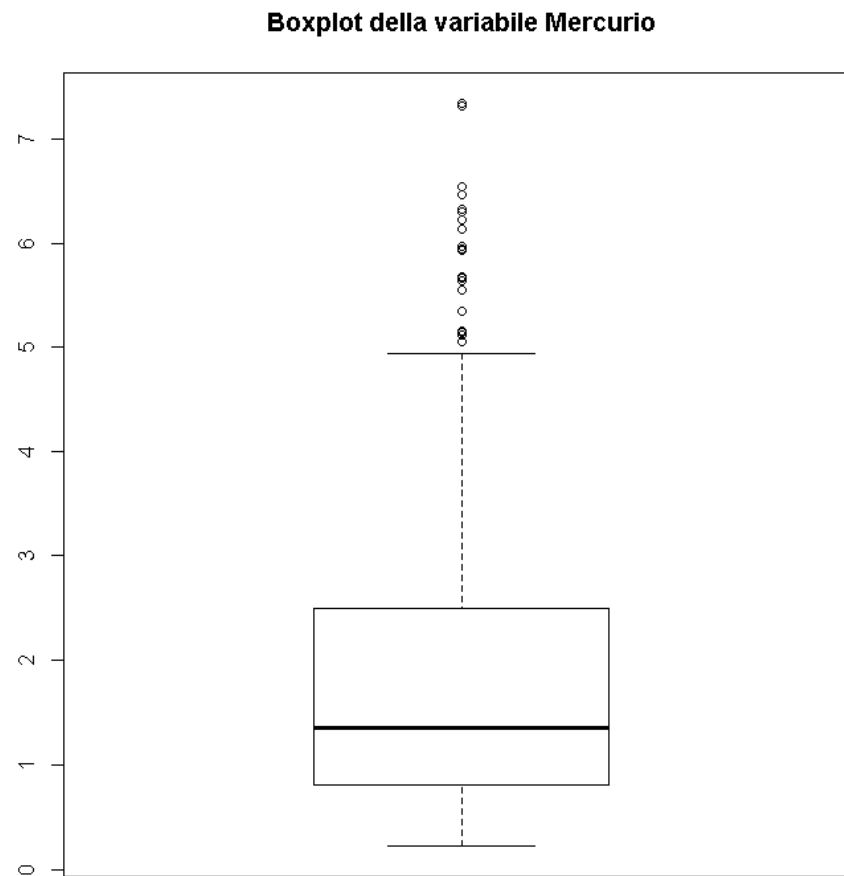
Test di Kruskal-Wallis: p-value=0.0085

Tab 93. Distribuzione valori di Mercurio (Hg) ($\mu\text{g/l}$) per classi d'età

	<i>n</i>	<i>media</i>	<i>dev std</i>	5° <i>perc</i>	25° <i>perc</i>	50° <i>perc</i>	75° <i>perc</i>	95° <i>perc</i>	<i>min</i>	<i>max</i>	<i>IQR</i>	<i>range</i>
<i>31-40</i>	56	1.86	1.30	0.49	0.96	1.44	2.46	4.94	0.47	5.95	1.50	5.48
<i>41-50</i>	117	2.11	1.73	0.55	0.89	1.45	2.88	6.29	0.22	7.34	1.99	7.12
<i>51-60</i>	116	1.86	1.38	0.54	0.80	1.33	2.50	5.06	0.22	5.97	1.70	5.75
<i>61-70</i>	96	1.69	1.32	0.49	0.73	1.20	2.21	4.51	0.23	6.47	1.48	6.24

Test di Kruskal-Wallis: p-value=0.2632

Fig 26. Box plot e istogramma della distribuzione dei valori totali di Mercurio (Hg) ($\mu\text{g/l}$)



Tab 94. Distribuzione valori di Iridio (Ir) (ng/l) per zona di residenza

	<i>n</i>	<i>media</i>	<i>dev std</i>	5° <i>perc</i>	25° <i>perc</i>	50° <i>perc</i>	75° <i>perc</i>	95° <i>perc</i>	<i>min</i>	<i>max</i>	<i>IQR</i>	<i>range</i>
<i>resid T03</i>	197	2.20	1.01	0.96	1.55	1.98	2.64	4.37	0.25	6.19	1.09	5.93
<i>resid T01</i>	194	1.60	0.93	0.59	0.93	1.42	1.99	3.39	0.25	5.67	1.07	5.42
<i>Test di Kruskal-Wallis: p-value <0.0001</i>												
<i>totale</i>	391	1.90	1.01	0.67	1.16	1.70	2.42	3.98	0.25	6.19	1.26	5.93

Limite di rilevabilità: 0.5 ng/l; 99.2% campioni al di sopra del limite di rilevabilità.

Tab 95. Distribuzione valori di Iridio (Ir) (ng/l) per sesso

	<i>n</i>	<i>media</i>	<i>dev std</i>	5° <i>perc</i>	25° <i>perc</i>	50° <i>perc</i>	75° <i>perc</i>	95° <i>perc</i>	<i>min</i>	<i>max</i>	<i>IQR</i>	<i>range</i>
<i>maschi</i>	193	1.81	0.92	0.67	1.13	1.63	2.26	3.95	0.25	5.01	1.13	4.75
<i>femmine</i>	198	1.99	1.09	0.67	1.21	1.76	2.59	4.19	0.25	6.19	1.38	5.93

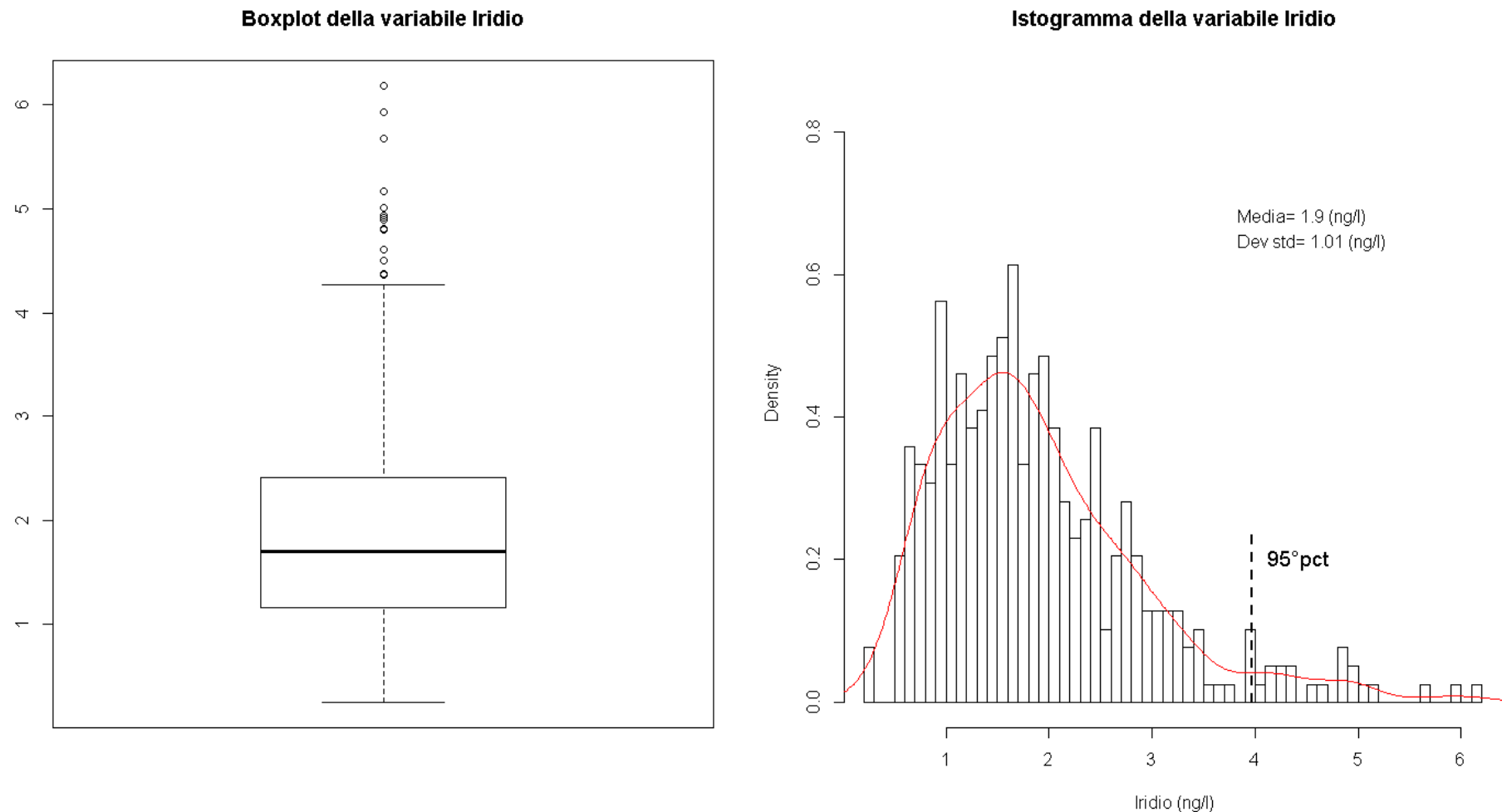
Test di Kruskal-Wallis: p-value=0.1577

Tab 96. Distribuzione valori di Iridio (Ir) (ng/l) per classi d'età

	<i>n</i>	<i>media</i>	<i>dev std</i>	5° <i>perc</i>	25° <i>perc</i>	50° <i>perc</i>	75° <i>perc</i>	95° <i>perc</i>	<i>min</i>	<i>max</i>	<i>IQR</i>	<i>range</i>
<i>31-40</i>	55	1.71	0.96	0.53	0.93	1.62	2.33	3.45	0.25	4.80	1.40	4.55
<i>41-50</i>	119	1.96	0.98	0.76	1.26	1.71	2.46	4.19	0.25	5.01	1.20	4.75
<i>51-60</i>	116	1.79	0.97	0.63	0.98	1.60	2.27	3.92	0.52	5.17	1.29	4.65
<i>61-70</i>	100	2.08	1.10	0.78	1.37	1.87	2.59	4.01	0.50	6.19	1.22	5.68

Test di Kruskal-Wallis: p-value=0.0649

Fig 27. Box plot e istogramma della distribuzione dei valori totali di Iridio (Ir) (ng/l)



Tab 97. Distribuzione valori di Manganese (Mn) ($\mu\text{g/l}$) per zona di residenza

	<i>n</i>	<i>media</i>	<i>dev std</i>	5° <i>perc</i>	25° <i>perc</i>	50° <i>perc</i>	75° <i>perc</i>	95° <i>perc</i>	<i>min</i>	<i>max</i>	<i>IQR</i>	<i>range</i>
<i>resid T03</i>	192	0.140	0.064	0.040	0.099	0.136	0.176	0.253	0.025	0.377	0.077	0.352
<i>resid T01</i>	190	0.125	0.071	0.035	0.084	0.111	0.145	0.286	0.025	0.397	0.061	0.372
<i>Test di Kruskal-Wallis: p-value =0.0008</i>												
<i>totale</i>	382	0.132	0.068	0.040	0.090	0.124	0.164	0.254	0.025	0.397	0.075	0.372

Limite di rilevabilità: 0.02 $\mu\text{g/l}$; 100.0% campioni al di sopra del limite di rilevabilità.

Tab 98. Distribuzione valori di Manganese (Mn) ($\mu\text{g/l}$) per sesso

	<i>n</i>	<i>media</i>	<i>dev std</i>	5° <i>perc</i>	25° <i>perc</i>	50° <i>perc</i>	75° <i>perc</i>	95° <i>perc</i>	<i>min</i>	<i>max</i>	<i>IQR</i>	<i>range</i>
<i>maschi</i>	191	0.123	0.065	0.032	0.081	0.116	0.150	0.244	0.025	0.377	0.068	0.352
<i>femmine</i>	191	0.142	0.070	0.045	0.091	0.135	0.176	0.266	0.030	0.397	0.085	0.367

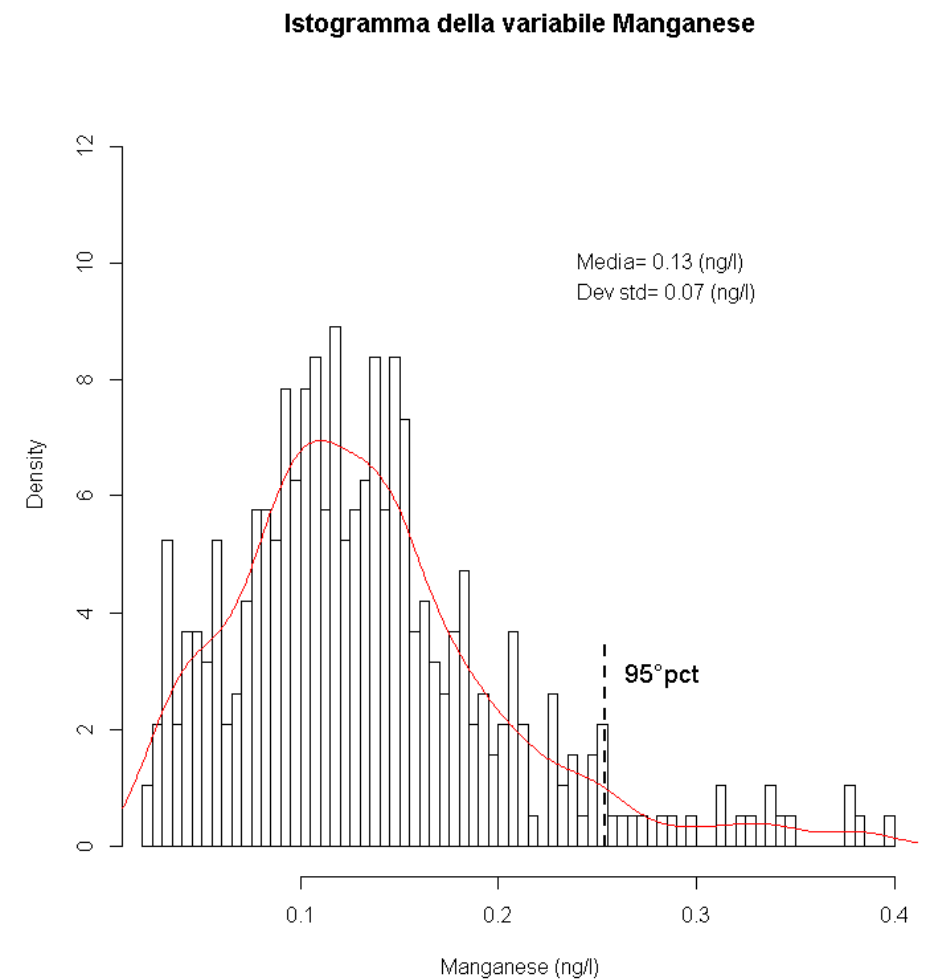
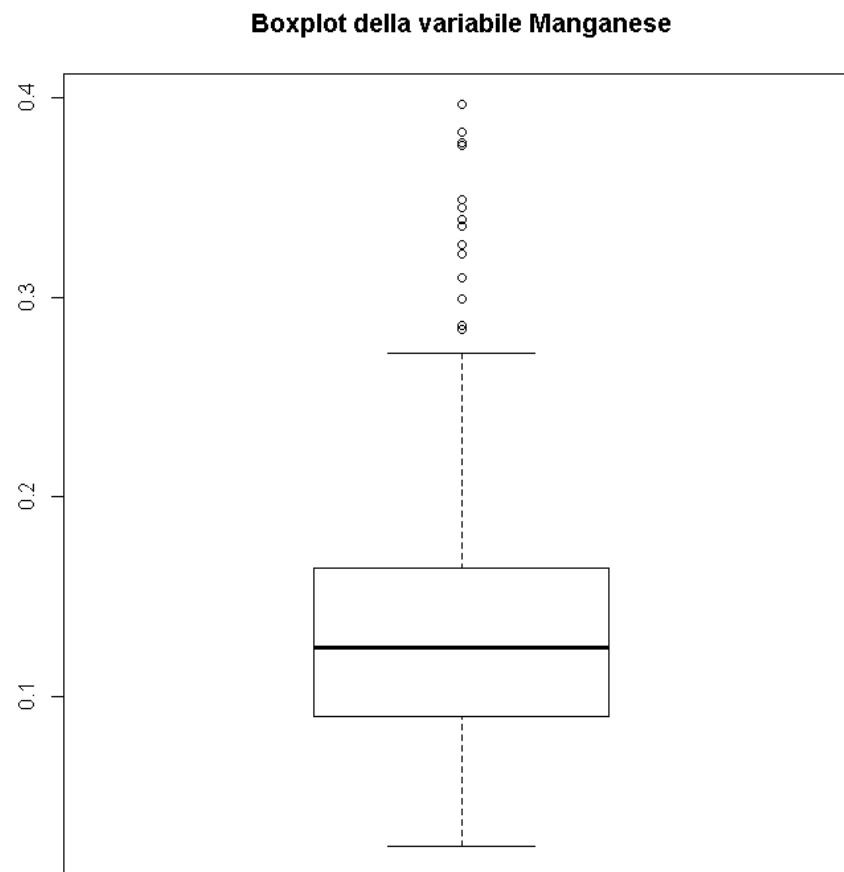
Test di Kruskal-Wallis: p-value=0.0039

Tab 99. Distribuzione valori di Manganese (Mn) ($\mu\text{g/l}$) per classi d'età

	<i>n</i>	<i>media</i>	<i>dev std</i>	5° <i>perc</i>	25° <i>perc</i>	50° <i>perc</i>	75° <i>perc</i>	95° <i>perc</i>	<i>min</i>	<i>max</i>	<i>IQR</i>	<i>range</i>
<i>31-40</i>	55	0.129	0.066	0.035	0.080	0.119	0.157	0.238	0.030	0.397	0.077	0.367
<i>41-50</i>	117	0.139	0.071	0.050	0.091	0.129	0.166	0.286	0.030	0.383	0.075	0.353
<i>51-60</i>	115	0.131	0.066	0.035	0.091	0.124	0.170	0.253	0.025	0.349	0.079	0.324
<i>61-70</i>	95	0.128	0.069	0.030	0.085	0.119	0.159	0.260	0.025	0.376	0.074	0.351

Test di Kruskal-Wallis: p-value=0.6661

Fig 28. Box plot e istogramma della distribuzione dei valori totali di Manganese (Mn) ($\mu\text{g/l}$)



Tab 100. Distribuzione valori di Nichel (Ni) ($\mu\text{g/l}$) per zona di residenza

	<i>n</i>	<i>media</i>	<i>dev std</i>	5° <i>perc</i>	25° <i>perc</i>	50° <i>perc</i>	75° <i>perc</i>	95° <i>perc</i>	<i>min</i>	<i>max</i>	<i>IQR</i>	<i>range</i>
<i>resid T03</i>	197	1.11	0.84	0.25	0.48	0.85	1.45	3.04	0.13	4.33	0.98	4.20
<i>resid T01</i>	193	1.18	0.86	0.24	0.59	0.99	1.45	3.23	0.12	4.15	0.86	4.03
<i>Test di Kruskal-Wallis: p-value =0.2326</i>												
<i>totale</i>	390	1.14	0.85	0.25	0.53	0.89	1.45	3.04	0.12	4.33	0.93	4.21

Limite di rilevabilità: 0.12 $\mu\text{g/l}$; 100.0% campioni al di sopra del limite di rilevabilità.

Tab 101. Distribuzione valori di Nichel (Ni) ($\mu\text{g/l}$) per sesso

	<i>n</i>	<i>media</i>	<i>dev std</i>	5° <i>perc</i>	25° <i>perc</i>	50° <i>perc</i>	75° <i>perc</i>	95° <i>perc</i>	<i>min</i>	<i>max</i>	<i>IQR</i>	<i>range</i>
<i>maschi</i>	194	1.12	0.79	0.27	0.55	0.90	1.44	2.74	0.12	4.11	0.90	3.98
<i>femmine</i>	196	1.17	0.90	0.23	0.51	0.89	1.48	3.20	0.13	4.33	0.97	4.20

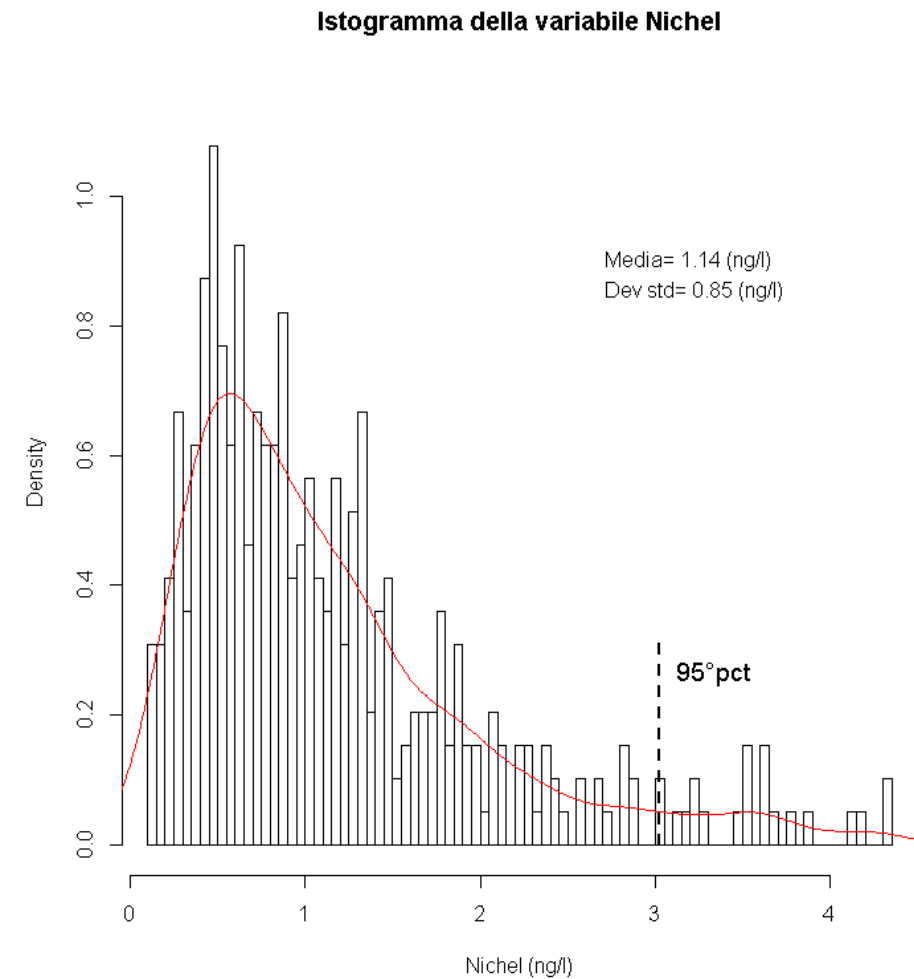
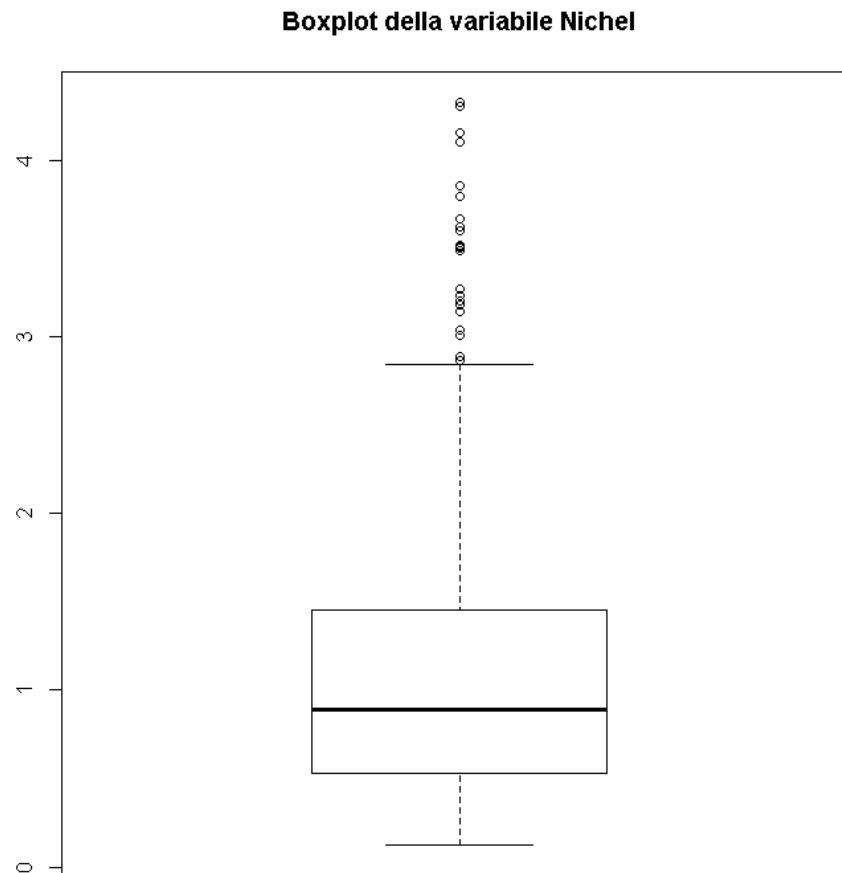
Test di Kruskal-Wallis: p-value=0.9627

Tab 102. Distribuzione valori di Nichel (Ni) ($\mu\text{g/l}$) per classi d'età

	<i>n</i>	<i>media</i>	<i>dev std</i>	5° <i>perc</i>	25° <i>perc</i>	50° <i>perc</i>	75° <i>perc</i>	95° <i>perc</i>	<i>min</i>	<i>max</i>	<i>IQR</i>	<i>range</i>
<i>31-40</i>	56	1.11	0.80	0.15	0.51	0.94	1.45	3.04	0.12	3.60	0.94	3.48
<i>41-50</i>	118	1.24	0.94	0.19	0.59	0.96	1.60	3.60	0.13	4.15	1.01	4.02
<i>51-60</i>	116	1.01	0.70	0.27	0.46	0.76	1.42	2.39	0.18	3.20	0.96	3.02
<i>61-70</i>	100	1.21	0.90	0.34	0.57	0.93	1.46	3.06	0.24	4.33	0.89	4.09

Test di Kruskal-Wallis: p-value=0.3007

Fig 29. Box plot e istogramma della distribuzione dei valori totali di Nickel (Ni) ($\mu\text{g/l}$)



Tab 103. Distribuzione valori di Palladio (Pd) (ng/l) per zona di residenza

	<i>n</i>	<i>media</i>	<i>dev std</i>	5° <i>perc</i>	25° <i>perc</i>	50° <i>perc</i>	75° <i>perc</i>	95° <i>perc</i>	<i>min</i>	<i>max</i>	<i>IQR</i>	<i>range</i>
<i>resid T03</i>	190	27.9	17.0	8.4	16.3	23.4	33.6	63.7	3.8	84.8	17.2	80.9
<i>resid T01</i>	189	26.9	16.1	9.0	15.7	23.6	32.1	60.5	3.9	90.3	16.4	86.4
<i>Test di Kruskal-Wallis: p-value = 0.6570</i>												
<i>totale</i>	379	27.4	16.6	8.8	15.9	23.5	33.1	63.2	3.8	90.3	17.3	86.4

Limite di rilevabilità: 7.7 ng/l; 97.4% campioni al di sopra del limite di rilevabilità.

Tab 104. Distribuzione valori di Palladio (Pd) (ng/l) per sesso

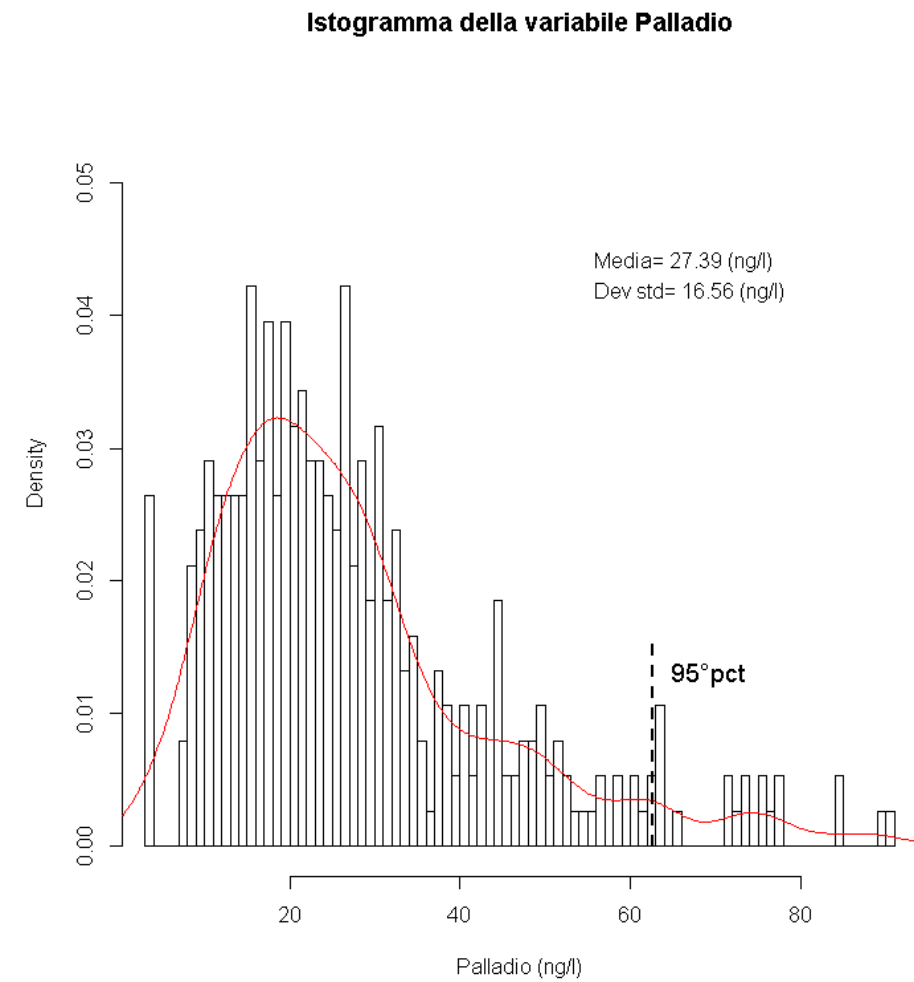
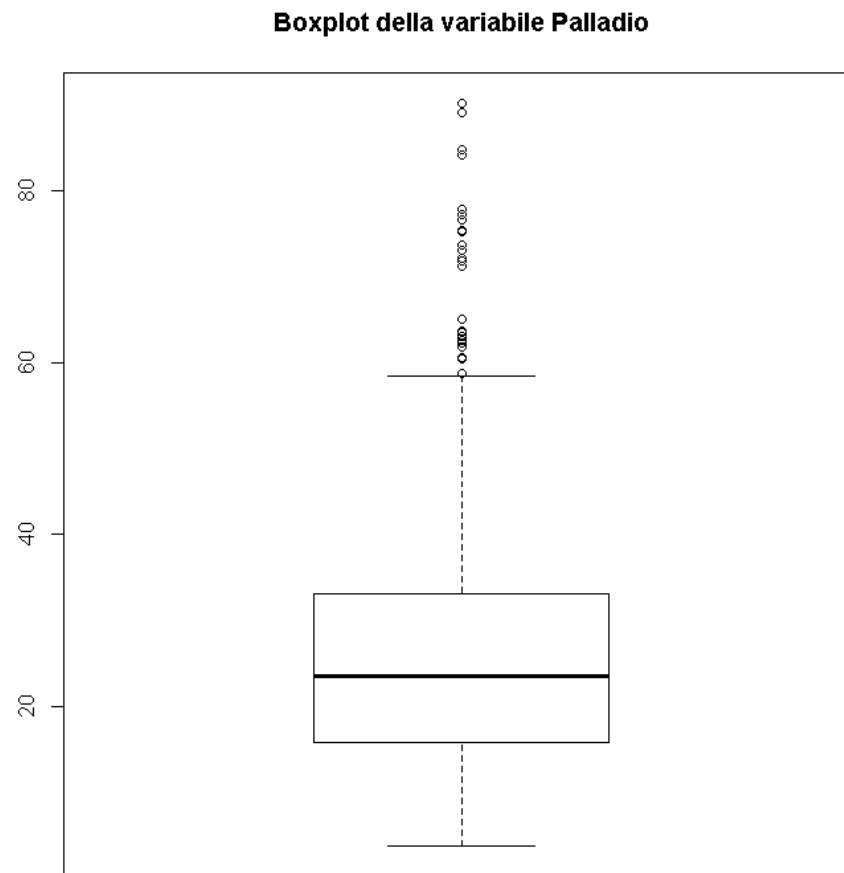
	<i>n</i>	<i>media</i>	<i>dev std</i>	5° <i>perc</i>	25° <i>perc</i>	50° <i>perc</i>	75° <i>perc</i>	95° <i>perc</i>	<i>min</i>	<i>max</i>	<i>IQR</i>	<i>range</i>
<i>maschi</i>	189	26.4	16.3	7.9	15.6	23.5	30.5	63.6	3.8	84.3	14.9	80.4
<i>femmine</i>	190	28.3	16.8	9.6	16.1	24.0	35.0	62.3	3.9	90.3	18.9	86.4
<i>Test di Kruskal-Wallis: p-value=0.2624</i>												

Tab 105. Distribuzione valori di Palladio (Pd) (ng/l) per classi d'età

	<i>n</i>	<i>media</i>	<i>dev std</i>	5° <i>perc</i>	25° <i>perc</i>	50° <i>perc</i>	75° <i>perc</i>	95° <i>perc</i>	<i>min</i>	<i>max</i>	<i>IQR</i>	<i>range</i>
<i>31-40</i>	55	25.8	14.0	11.6	16.0	19.9	31.7	51.1	7.9	73.7	15.8	65.8
<i>41-50</i>	117	27.5	17.2	7.8	16.1	23.3	34.4	63.7	3.9	90.3	18.3	86.4
<i>51-60</i>	110	26.0	16.3	9.0	15.3	21.6	30.1	62.6	3.8	84.3	14.7	80.4
<i>61-70</i>	97	29.7	17.3	8.0	17.3	27.6	37.5	65.2	3.8	89.2	20.2	85.3

Test di Kruskal-Wallis: p-value=0.2141

Fig 30. Box plot e istogramma della distribuzione dei valori totali di Palladio (Pd) (ng/l)



Tab 106. Distribuzione valori di Platino (Pt) (ng/l) per zona di residenza

	<i>n</i>	<i>media</i>	<i>dev std</i>	5° <i>perc</i>	25° <i>perc</i>	50° <i>perc</i>	75° <i>perc</i>	95° <i>perc</i>	<i>min</i>	<i>max</i>	<i>IQR</i>	<i>range</i>
<i>resid T03</i>	194	4.67	2.87	1.57	2.64	3.93	5.82	11.09	0.67	15.02	3.18	14.35
<i>resid T01</i>	184	2.98	2.17	0.67	1.70	2.29	3.46	8.15	0.67	12.50	1.76	11.83
<i>Test di Kruskal-Wallis: p-value <0.0001</i>												
<i>totale</i>	378	3.85	2.68	0.68	2.00	2.97	5.00	9.98	0.67	15.02	3.00	14.35

Limite di rilevabilità: 1.34 ng/l; 94.5% campioni al di sopra del limite di rilevabilità.

Tab 107. Distribuzione valori di Platino (Pt) (ng/l) per sesso

	<i>n</i>	<i>media</i>	<i>dev std</i>	5° <i>perc</i>	25° <i>perc</i>	50° <i>perc</i>	75° <i>perc</i>	95° <i>perc</i>	<i>min</i>	<i>max</i>	<i>IQR</i>	<i>range</i>
<i>maschi</i>	188	3.82	2.73	1.35	2.00	2.93	4.94	9.98	0.67	13.85	2.94	13.18
<i>femmine</i>	190	3.88	2.65	0.68	2.00	3.20	5.16	8.41	0.67	15.02	3.16	14.35

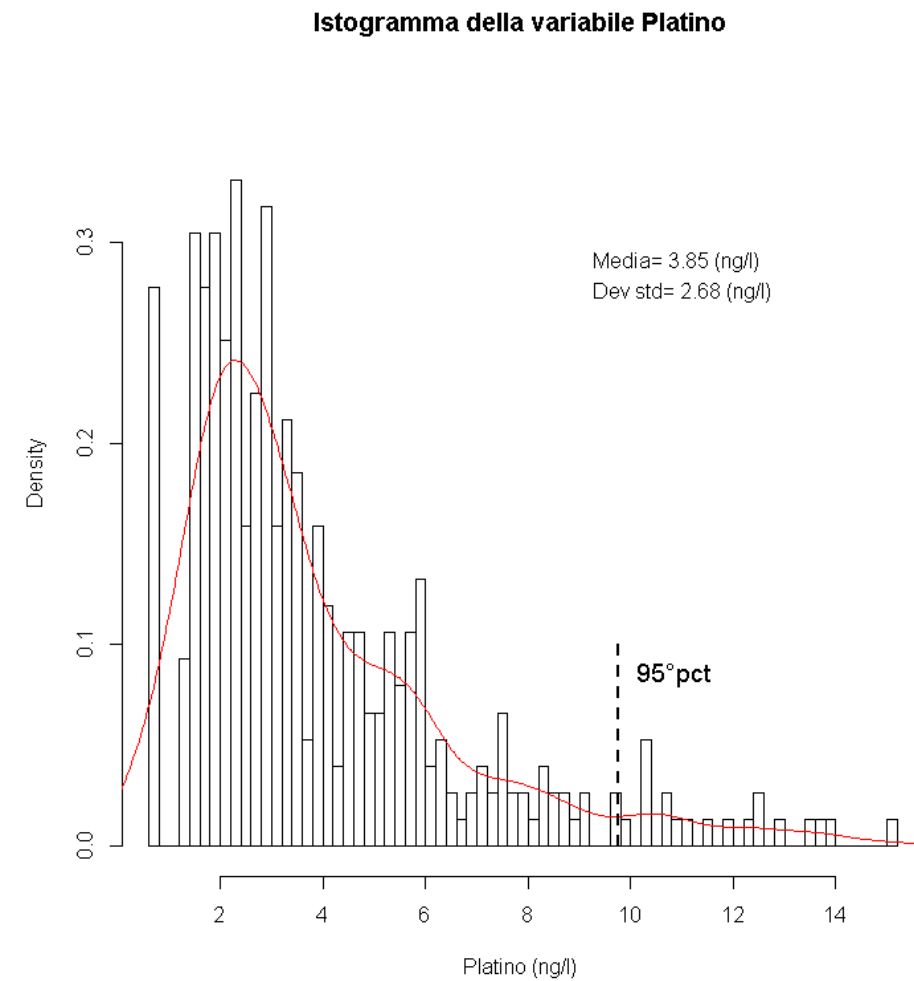
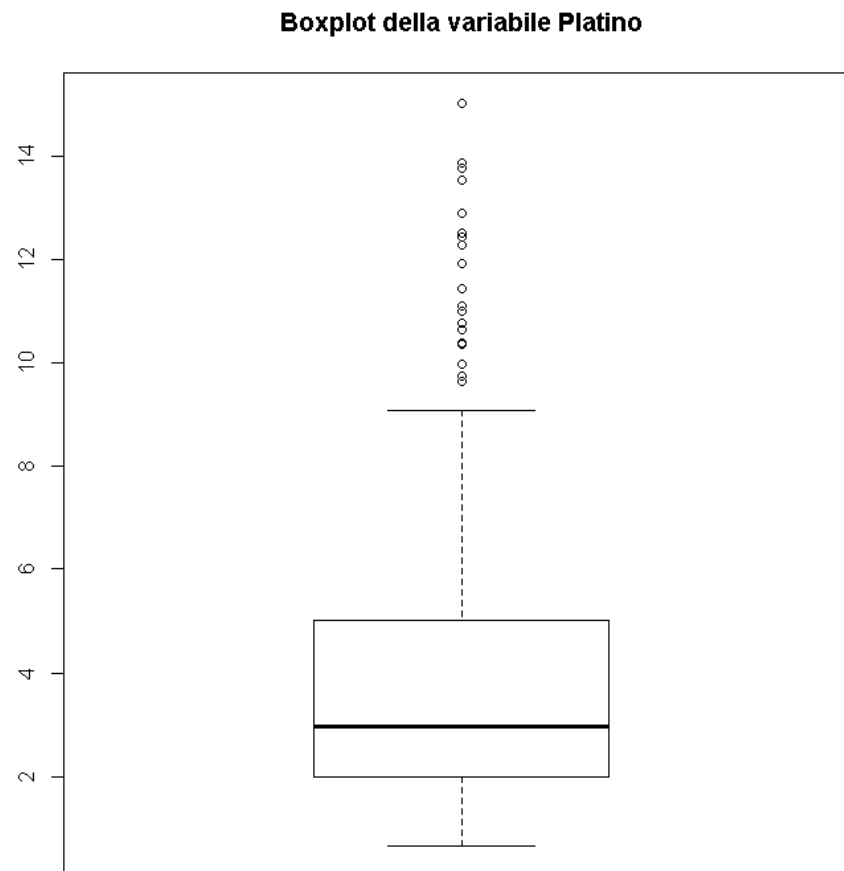
Test di Kruskal-Wallis: p-value=0.5974

Tab 108. Distribuzione valori di Platino (Pt) (ng/l) per classi d'età

	<i>n</i>	<i>media</i>	<i>dev std</i>	5° <i>perc</i>	25° <i>perc</i>	50° <i>perc</i>	75° <i>perc</i>	95° <i>perc</i>	<i>min</i>	<i>max</i>	<i>IQR</i>	<i>range</i>
<i>31-40</i>	54	4.08	2.77	0.68	1.94	3.35	5.56	9.98	0.67	13.85	3.62	13.18
<i>41-50</i>	119	3.86	2.65	1.39	2.05	2.89	5.21	10.38	0.67	13.53	3.16	12.86
<i>51-60</i>	111	3.98	2.83	0.68	1.82	2.99	5.52	10.37	0.67	13.76	3.69	13.10
<i>61-70</i>	94	3.55	2.50	0.67	2.20	2.96	4.04	8.66	0.67	15.02	1.84	14.35

Test di Kruskal-Wallis: p-value=0.8469

Fig 31. Box plot e istogramma della distribuzione dei valori totali di Platino (Pt) (ng/l)



Tab 109. Distribuzione valori di Rodio (Rh) (ng/l) per zona di residenza

	<i>n</i>	<i>media</i>	<i>dev std</i>	5° <i>perc</i>	25° <i>perc</i>	50° <i>perc</i>	75° <i>perc</i>	95° <i>perc</i>	<i>min</i>	<i>max</i>	<i>IQR</i>	<i>range</i>
<i>resid T03</i>	192	24.0	15.6	7.4	12.0	18.2	33.4	57.5	3.4	69.6	21.4	66.3
<i>resid T01</i>	193	19.2	8.9	7.9	12.7	17.3	23.8	34.3	3.3	57.3	11.0	54.0
<i>Test di Kruskal-Wallis: p-value =0.0917</i>												
<i>totale</i>	385	21.6	12.9	7.8	12.5	17.8	27.0	51.3	3.3	69.6	14.5	66.3

Limite di rilevabilità: 6.7 ng/l; 98.2% campioni al di sopra del limite di rilevabilità.

Tab 110. Distribuzione valori di Rodio (Rh) (ng/l) per sesso

	<i>n</i>	<i>media</i>	<i>dev std</i>	5° <i>perc</i>	25° <i>perc</i>	50° <i>perc</i>	75° <i>perc</i>	95° <i>perc</i>	<i>min</i>	<i>max</i>	<i>IQR</i>	<i>range</i>
<i>maschi</i>	192	22.0	13.3	7.6	12.6	18.2	25.9	55.4	3.3	65.7	13.3	62.4
<i>femmine</i>	193	21.1	12.5	7.8	12.3	17.2	28.0	47.7	3.4	69.6	15.7	66.3

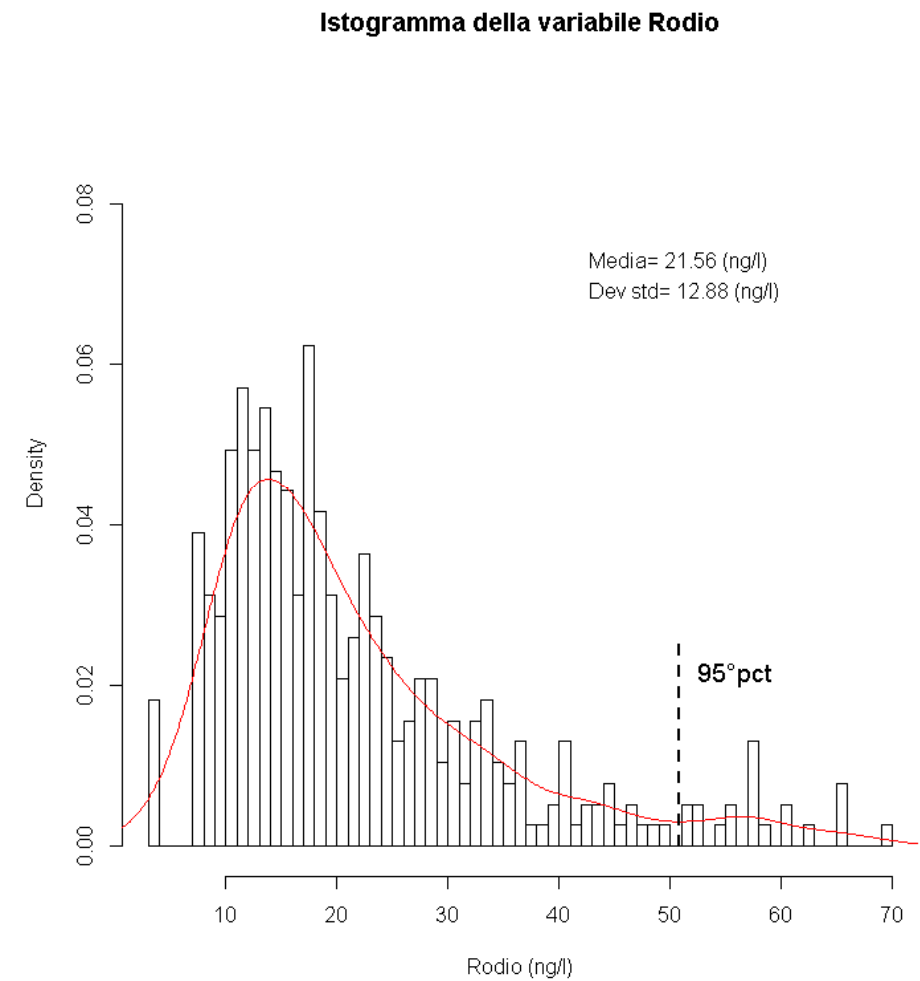
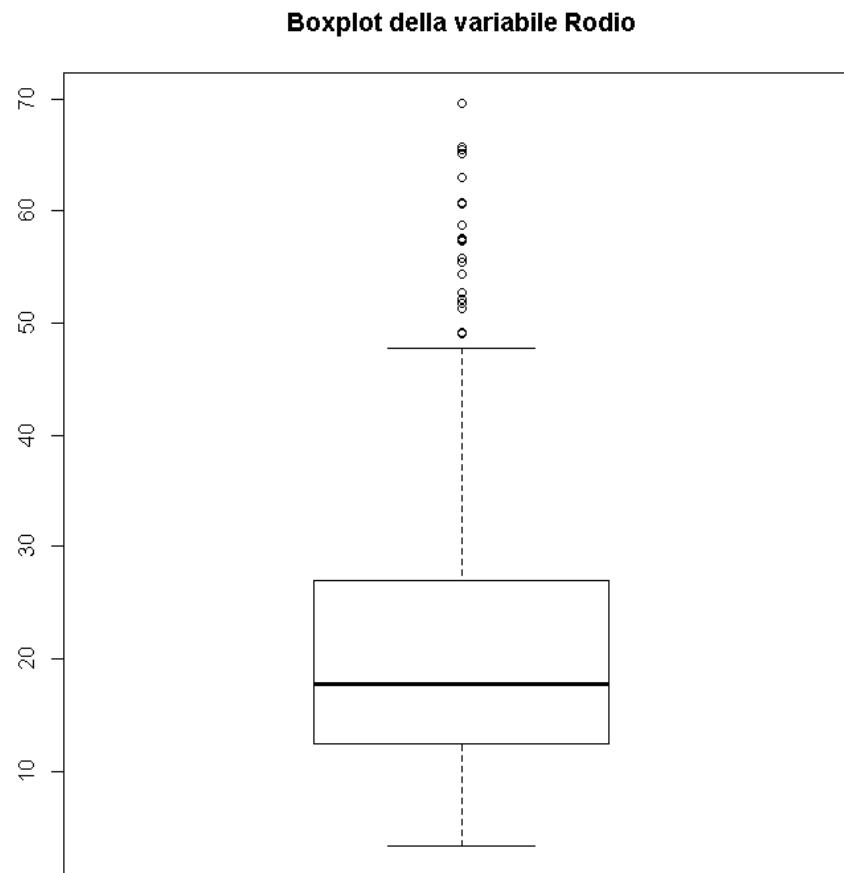
Test di Kruskal-Wallis: p-value=0.6222

Tab 111. Distribuzione valori di Rodio (Rh) (ng/l) per classi d'età

	<i>n</i>	<i>media</i>	<i>dev std</i>	5° <i>perc</i>	25° <i>perc</i>	50° <i>perc</i>	75° <i>perc</i>	95° <i>perc</i>	<i>min</i>	<i>max</i>	<i>IQR</i>	<i>range</i>
<i>31-40</i>	55	21.3	11.5	3.4	13.0	18.4	28.6	44.3	3.4	65.4	15.6	62.1
<i>41-50</i>	118	22.0	13.0	8.8	12.4	18.0	26.6	52.1	7.0	65.7	14.2	58.7
<i>51-60</i>	114	21.6	13.6	8.1	12.2	17.1	26.8	57.3	3.4	65.1	14.5	61.8
<i>61-70</i>	98	21.1	12.8	7.2	12.1	17.5	27.7	47.7	3.3	69.6	15.6	66.3

Test di Kruskal-Wallis: p-value=0.8741

Fig 32. Box plot e istogramma della distribuzione dei valori totali di Rodio (Rh) (ng/l)



Tab 112. Distribuzione valori di Antimonio (Sb) ($\mu\text{g/l}$) per zona di residenza

	<i>n</i>	<i>media</i>	<i>dev std</i>	<i>5° perc</i>	<i>25° perc</i>	<i>50° perc</i>	<i>75° perc</i>	<i>95° perc</i>	<i>min</i>	<i>max</i>	<i>IQR</i>	<i>range</i>
<i>resid T03</i>	191	0.0891	0.0540	0.0251	0.0505	0.0709	0.1247	0.2039	0.0074	0.2707	0.0742	0.2633
<i>resid T01</i>	193	0.0658	0.0374	0.0169	0.0401	0.0603	0.0847	0.1476	0.0075	0.2050	0.0446	0.1975
<i>Test di Kruskal-Wallis: p-value <0.0001</i>												
<i>totale</i>	384	0.0774	0.0478	0.0217	0.0419	0.0653	0.1005	0.1756	0.0074	0.2707	0.0585	0.2633

Limite di rilevabilità: 0.015 $\mu\text{g/l}$; 98.2% campioni al di sopra del limite di rilevabilità.

Tab 113. Distribuzione valori di Antimonio (Sb) ($\mu\text{g/l}$) per sesso

	<i>n</i>	<i>media</i>	<i>dev std</i>	<i>5° perc</i>	<i>25° perc</i>	<i>50° perc</i>	<i>75° perc</i>	<i>95° perc</i>	<i>min</i>	<i>max</i>	<i>IQR</i>	<i>range</i>
<i>maschi</i>	191	0.0791	0.0498	0.0249	0.0418	0.0652	0.1021	0.1980	0.0074	0.2707	0.0604	0.2633
<i>femmine</i>	193	0.0757	0.0458	0.0200	0.0419	0.0653	0.0922	0.1691	0.0075	0.2352	0.0502	0.2276

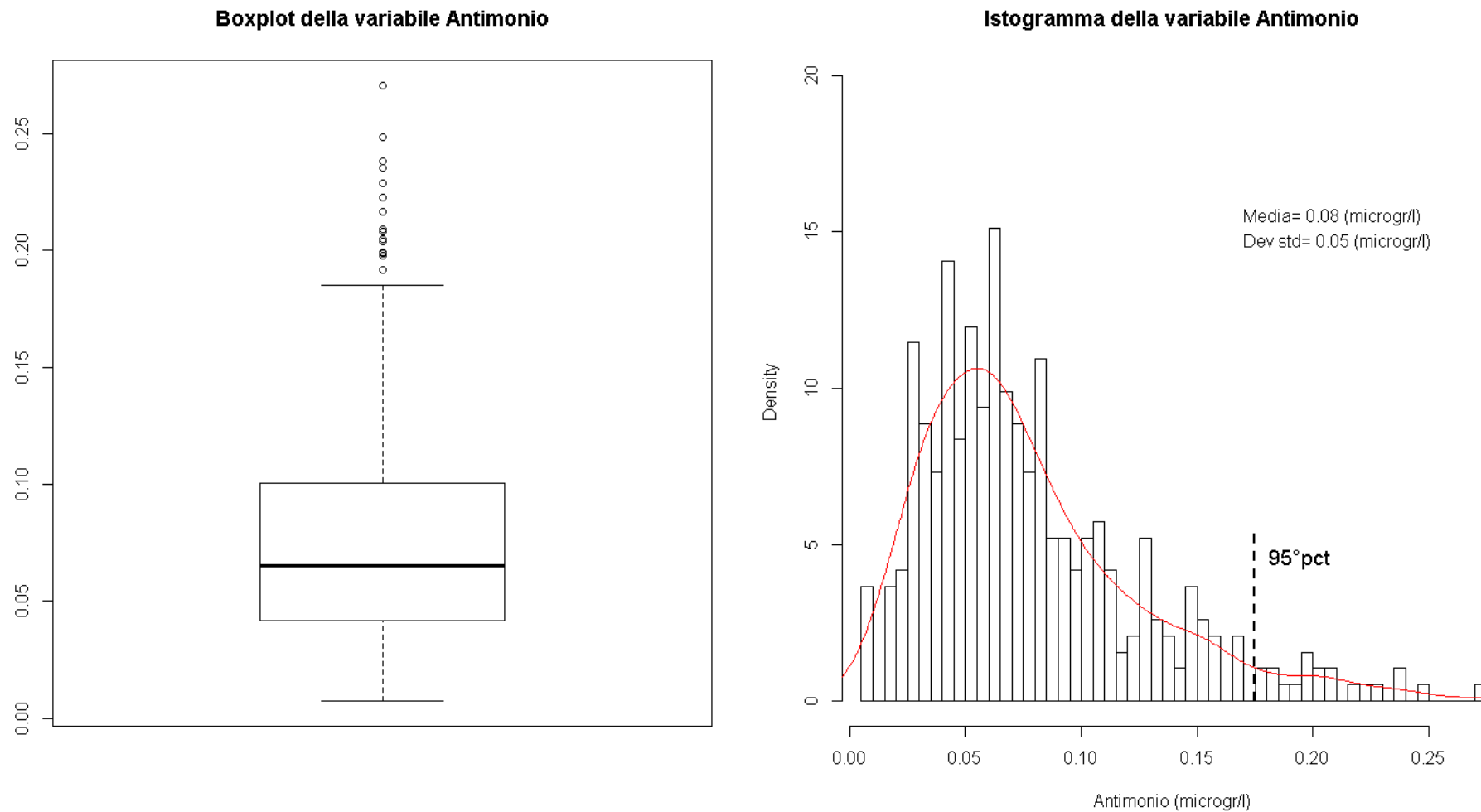
Test di Kruskal-Wallis: p-value=0.6817

Tab 114. Distribuzione valori di Antimonio (Sb) ($\mu\text{g/l}$) per classi d'età

	<i>n</i>	<i>media</i>	<i>dev std</i>	<i>5° perc</i>	<i>25° perc</i>	<i>50° perc</i>	<i>75° perc</i>	<i>95° perc</i>	<i>min</i>	<i>max</i>	<i>IQR</i>	<i>range</i>
<i>31-40</i>	56	0.0772	0.0491	0.0199	0.0352	0.0682	0.1057	0.1807	0.0074	0.2039	0.0704	0.1965
<i>41-50</i>	119	0.0851	0.0513	0.0202	0.0468	0.0748	0.1087	0.2083	0.0165	0.2383	0.0618	0.2218
<i>51-60</i>	111	0.0704	0.0460	0.0201	0.0403	0.0616	0.0847	0.1851	0.0075	0.2485	0.0444	0.2409
<i>61-70</i>	98	0.0761	0.0438	0.0251	0.0449	0.0645	0.1055	0.1545	0.0075	0.2707	0.0606	0.2632

Test di Kruskal-Wallis: p-value=0.1321

Fig 33. Box plot e istogramma della distribuzione dei valori totali di Antimonio (Sb) ($\mu\text{g/l}$)



Tab 115. Distribuzione valori di Stagno (Sn) ($\mu\text{g/l}$) per zona di residenza

	<i>n</i>	<i>media</i>	<i>dev std</i>	5° <i>perc</i>	25° <i>perc</i>	50° <i>perc</i>	75° <i>perc</i>	95° <i>perc</i>	<i>min</i>	<i>max</i>	<i>IQR</i>	<i>range</i>
<i>resid T03</i>	192	0.687	0.533	0.094	0.319	0.561	0.889	1.865	0.020	3.007	0.569	2.987
<i>resid T01</i>	187	0.825	0.640	0.101	0.347	0.687	1.049	2.323	0.051	3.007	0.702	2.956
<i>Test di Kruskal-Wallis: p-value =0.0511</i>												
<i>totale</i>	379	0.755	0.591	0.099	0.332	0.623	0.954	1.994	0.020	3.007	0.622	2.987

Limite di rilevabilità: 0.04 $\mu\text{g/l}$; 99.7% campioni al di sopra del limite di rilevabilità.

Tab 116. Distribuzione valori di Stagno (Sn) ($\mu\text{g/l}$) per sesso

	<i>n</i>	<i>media</i>	<i>dev std</i>	5° <i>perc</i>	25° <i>perc</i>	50° <i>perc</i>	75° <i>perc</i>	95° <i>perc</i>	<i>min</i>	<i>max</i>	<i>IQR</i>	<i>range</i>
<i>maschi</i>	187	0.796	0.574	0.116	0.405	0.669	0.996	1.951	0.020	2.832	0.591	2.812
<i>femmine</i>	192	0.715	0.607	0.094	0.282	0.555	0.928	2.015	0.042	3.007	0.646	2.965

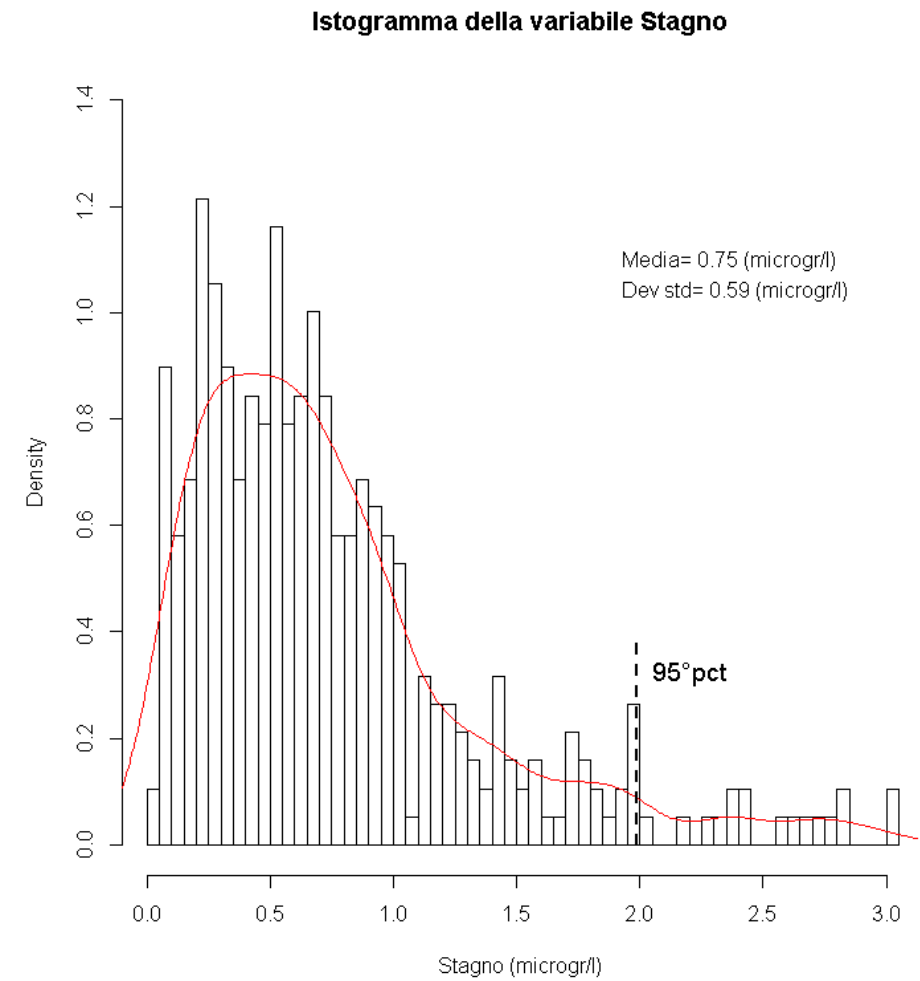
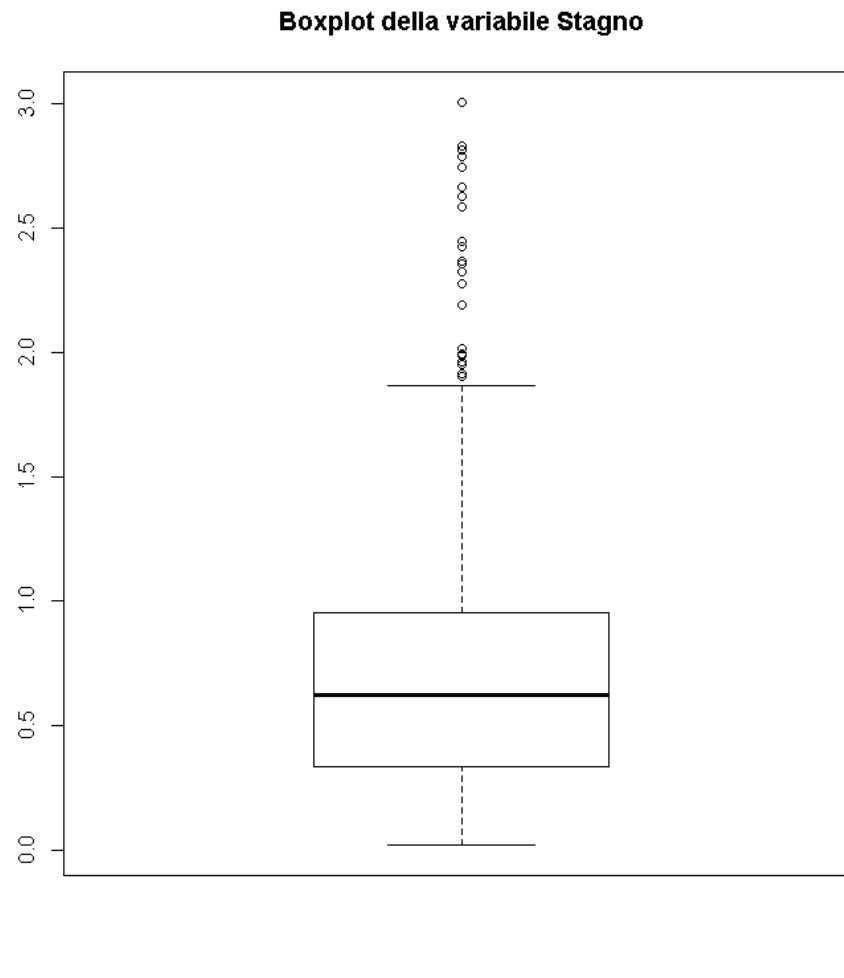
Test di Kruskal-Wallis: p-value=0.0438

Tab 117. Distribuzione valori di Stagno (Sn) ($\mu\text{g/l}$) per classi d'età

	<i>n</i>	<i>media</i>	<i>dev std</i>	5° <i>perc</i>	25° <i>perc</i>	50° <i>perc</i>	75° <i>perc</i>	95° <i>perc</i>	<i>min</i>	<i>max</i>	<i>IQR</i>	<i>range</i>
<i>31-40</i>	53	0.684	0.488	0.065	0.271	0.599	0.954	1.708	0.054	1.803	0.683	1.749
<i>41-50</i>	116	0.838	0.635	0.142	0.338	0.720	1.076	2.366	0.051	2.832	0.738	2.781
<i>51-60</i>	111	0.721	0.624	0.082	0.332	0.561	0.863	2.193	0.020	3.007	0.530	2.987
<i>61-70</i>	99	0.733	0.548	0.135	0.344	0.630	0.901	1.994	0.055	3.007	0.557	2.952

Test di Kruskal-Wallis: p-value=0.2800

Fig 34. Box plot e istogramma della distribuzione dei valori totali di Stagno (Sn) ($\mu\text{g/l}$)



Tab 118. Distribuzione valori di Tallio (Tl) ($\mu\text{g/l}$) per zona di residenza

	<i>n</i>	<i>media</i>	<i>dev std</i>	<i>5° perc</i>	<i>25° perc</i>	<i>50° perc</i>	<i>75° perc</i>	<i>95° perc</i>	<i>min</i>	<i>max</i>	<i>IQR</i>	<i>range</i>
<i>resid T03</i>	197	0.291	0.189	0.081	0.160	0.240	0.357	0.660	0.041	1.034	0.197	0.993
<i>resid T01</i>	194	0.336	0.188	0.089	0.190	0.307	0.441	0.699	0.014	0.986	0.251	0.971
<i>Test di Kruskal-Wallis: p-value =0.0034</i>												
<i>totale</i>	391	0.313	0.190	0.084	0.173	0.267	0.401	0.685	0.014	1.034	0.227	1.020

Limite di rilevabilità: 0.028 $\mu\text{g/l}$; 99.7% campioni al di sopra del limite di rilevabilità.

Tab 119. Distribuzione valori di Tallio (Tl) ($\mu\text{g/l}$) per sesso

	<i>n</i>	<i>media</i>	<i>dev std</i>	<i>5° perc</i>	<i>25° perc</i>	<i>50° perc</i>	<i>75° perc</i>	<i>95° perc</i>	<i>min</i>	<i>max</i>	<i>IQR</i>	<i>range</i>
<i>maschi</i>	193	0.338	0.201	0.096	0.193	0.291	0.441	0.753	0.051	1.034	0.248	0.983
<i>femmine</i>	198	0.289	0.176	0.081	0.162	0.252	0.387	0.640	0.014	0.986	0.224	0.971

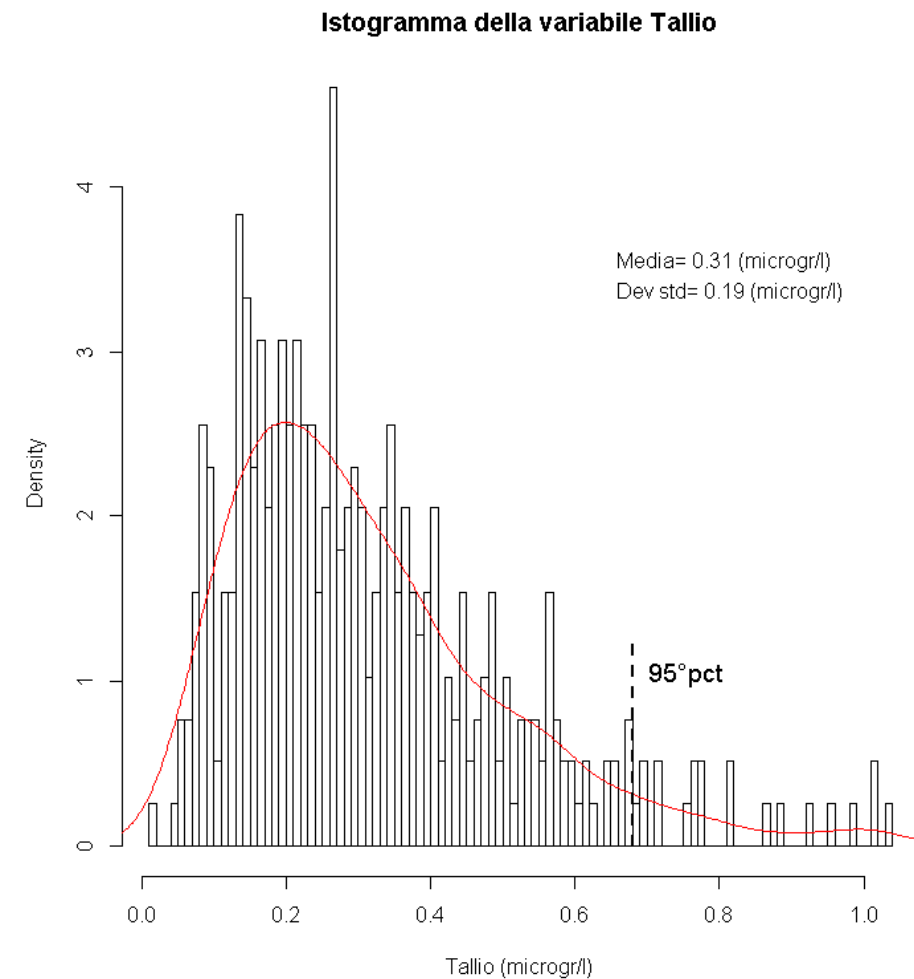
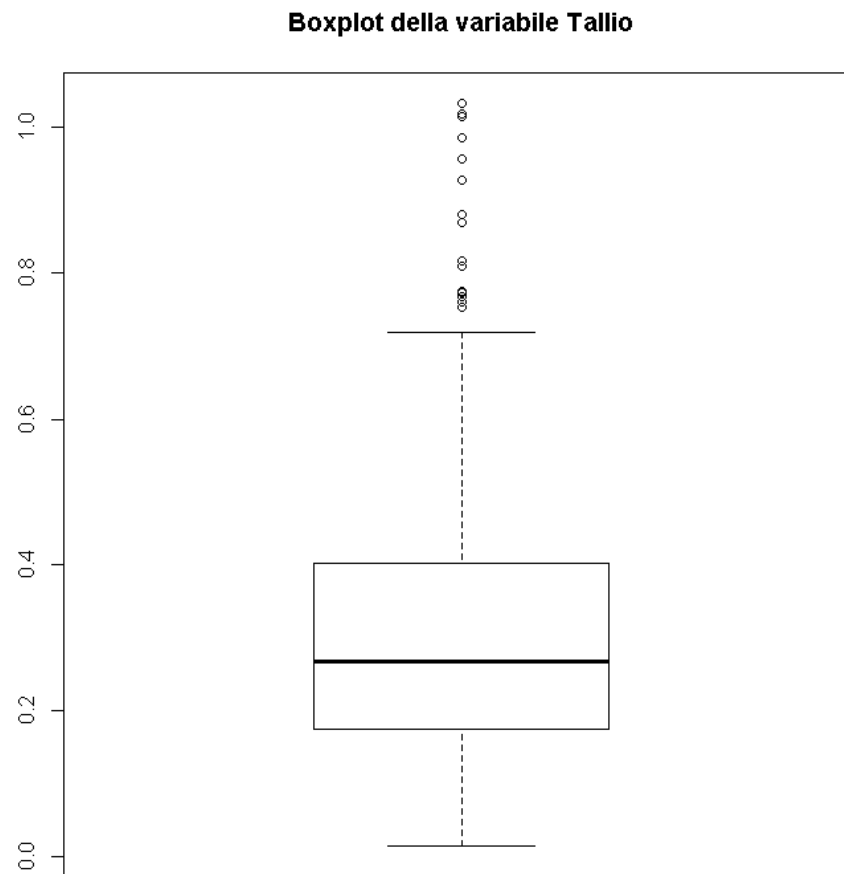
Test di Kruskal-Wallis: p-value=0.0114

Tab 120. Distribuzione valori di Tallio (Tl) ($\mu\text{g/l}$) per classi d'età

	<i>n</i>	<i>media</i>	<i>dev std</i>	<i>5° perc</i>	<i>25° perc</i>	<i>50° perc</i>	<i>75° perc</i>	<i>95° perc</i>	<i>min</i>	<i>max</i>	<i>IQR</i>	<i>range</i>
<i>31-40</i>	54	0.298	0.183	0.069	0.162	0.281	0.392	0.590	0.059	1.019	0.230	0.960
<i>41-50</i>	120	0.293	0.156	0.071	0.184	0.263	0.368	0.603	0.014	0.817	0.184	0.803
<i>51-60</i>	116	0.319	0.201	0.089	0.164	0.268	0.457	0.761	0.051	1.015	0.293	0.964
<i>61-70</i>	101	0.339	0.215	0.111	0.175	0.267	0.431	0.775	0.083	1.034	0.256	0.951

Test di Kruskal-Wallis: p-value=0.7630

Fig 35. Box plot e istogramma della distribuzione dei valori totali di Tallio (Tl) ($\mu\text{g/l}$)



Tab 121. Distribuzione valori di Vanadio (V) ($\mu\text{g/l}$) per zona di residenza

	<i>n</i>	<i>media</i>	<i>dev std</i>	<i>5° perc</i>	<i>25° perc</i>	<i>50° perc</i>	<i>75° perc</i>	<i>95° perc</i>	<i>min</i>	<i>max</i>	<i>IQR</i>	<i>range</i>
<i>resid T03</i>	189	0.0413	0.0282	0.0127	0.0249	0.0347	0.0497	0.1068	0.0100	0.1589	0.0248	0.1488
<i>resid T01</i>	192	0.0419	0.0292	0.0149	0.0201	0.0347	0.0547	0.1086	0.0040	0.1398	0.0347	0.1358
<i>Test di Kruskal-Wallis: p-value = 0.6788</i>												
<i>totale</i>	381	0.0416	0.0287	0.0149	0.0202	0.0347	0.0544	0.1068	0.0040	0.1589	0.0342	0.1548

Limite di rilevabilità: 0.008 $\mu\text{g/l}$; 99.7% campioni al di sopra del limite di rilevabilità.

Tab 122. Distribuzione valori di Vanadio (V) ($\mu\text{g/l}$) per sesso

	<i>n</i>	<i>media</i>	<i>dev std</i>	<i>5° perc</i>	<i>25° perc</i>	<i>50° perc</i>	<i>75° perc</i>	<i>95° perc</i>	<i>min</i>	<i>max</i>	<i>IQR</i>	<i>range</i>
<i>maschi</i>	185	0.0480	0.0315	0.0149	0.0250	0.0397	0.0602	0.1144	0.0099	0.1589	0.0351	0.1489
<i>femmine</i>	196	0.0357	0.0244	0.0126	0.0201	0.0299	0.0403	0.0900	0.0040	0.1301	0.0202	0.1260

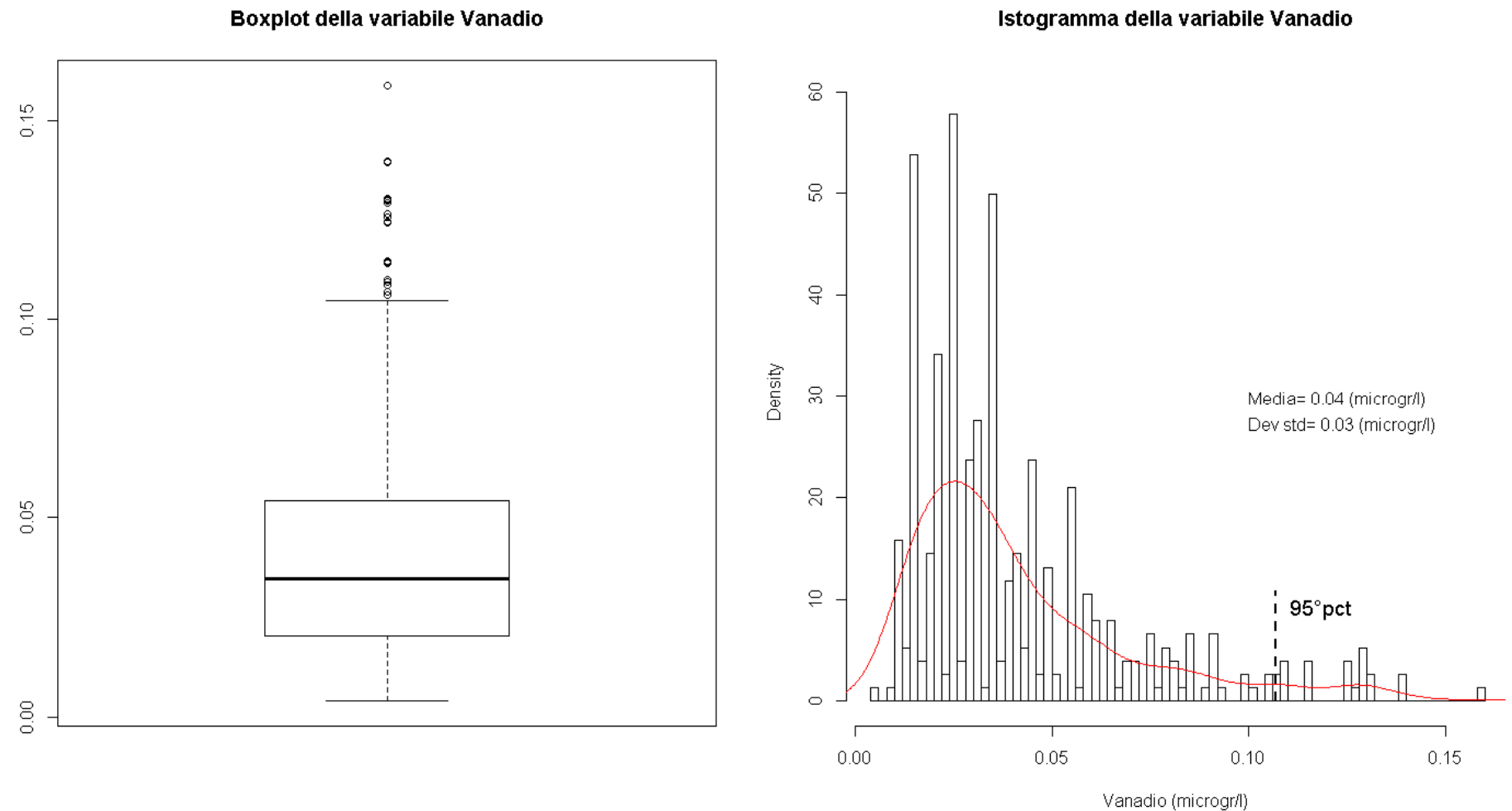
Test di Kruskal-Wallis: p-value < 0.0001

Tab 123. Distribuzione valori di Vanadio (V) ($\mu\text{g/l}$) per classi d'età

	<i>n</i>	<i>media</i>	<i>dev std</i>	<i>5° perc</i>	<i>25° perc</i>	<i>50° perc</i>	<i>75° perc</i>	<i>95° perc</i>	<i>min</i>	<i>max</i>	<i>IQR</i>	<i>range</i>
<i>31-40</i>	54	0.0370	0.0227	0.0101	0.0199	0.0302	0.0448	0.0904	0.0100	0.1061	0.0249	0.0961
<i>41-50</i>	117	0.0449	0.0317	0.0148	0.0248	0.0349	0.0549	0.1266	0.0040	0.1398	0.0301	0.1358
<i>51-60</i>	111	0.0428	0.0296	0.0127	0.0202	0.0347	0.0596	0.1068	0.0100	0.1589	0.0395	0.1488
<i>61-70</i>	99	0.0390	0.0265	0.0149	0.0201	0.0300	0.0498	0.1086	0.0099	0.1303	0.0297	0.1204

Test di Kruskal-Wallis: p-value = 0.4223

Fig 36. Box plot e istogramma della distribuzione dei valori totali di Vanadio (V) ($\mu\text{g/l}$)



Tab 124. Distribuzione valori di Zinco (Zn) ($\mu\text{g/l}$) per zona di residenza

	<i>n</i>	<i>media</i>	<i>dev std</i>	5° <i>perc</i>	25° <i>perc</i>	50° <i>perc</i>	75° <i>perc</i>	95° <i>perc</i>	<i>min</i>	<i>max</i>	<i>IQR</i>	<i>range</i>
<i>resid T03</i>	196	445	309	97	209	368	609	1023	22	1844	400	1822
<i>resid T01</i>	192	496	372	107	220	402	662	1298	47	1912	441	1865
<i>Test di Kruskal-Wallis: p-value =0.3501</i>												
<i>totale</i>	388	471	342	98	217	389	626	1146	22	1912	408	1890

Limite di rilevabilità: 2.0 $\mu\text{g/l}$; 100.0% campioni al di sopra del limite di rilevabilità.

Tab 125. Distribuzione valori di Zinco (Zn) ($\mu\text{g/l}$) per sesso

	<i>n</i>	<i>media</i>	<i>dev std</i>	5° <i>perc</i>	25° <i>perc</i>	50° <i>perc</i>	75° <i>perc</i>	95° <i>perc</i>	<i>min</i>	<i>max</i>	<i>IQR</i>	<i>range</i>
<i>maschi</i>	190	564	337	139	314	506	753	1228	47	1844	439	1797
<i>femmine</i>	198	381	323	81	164	293	464	1028	22	1912	299	1890

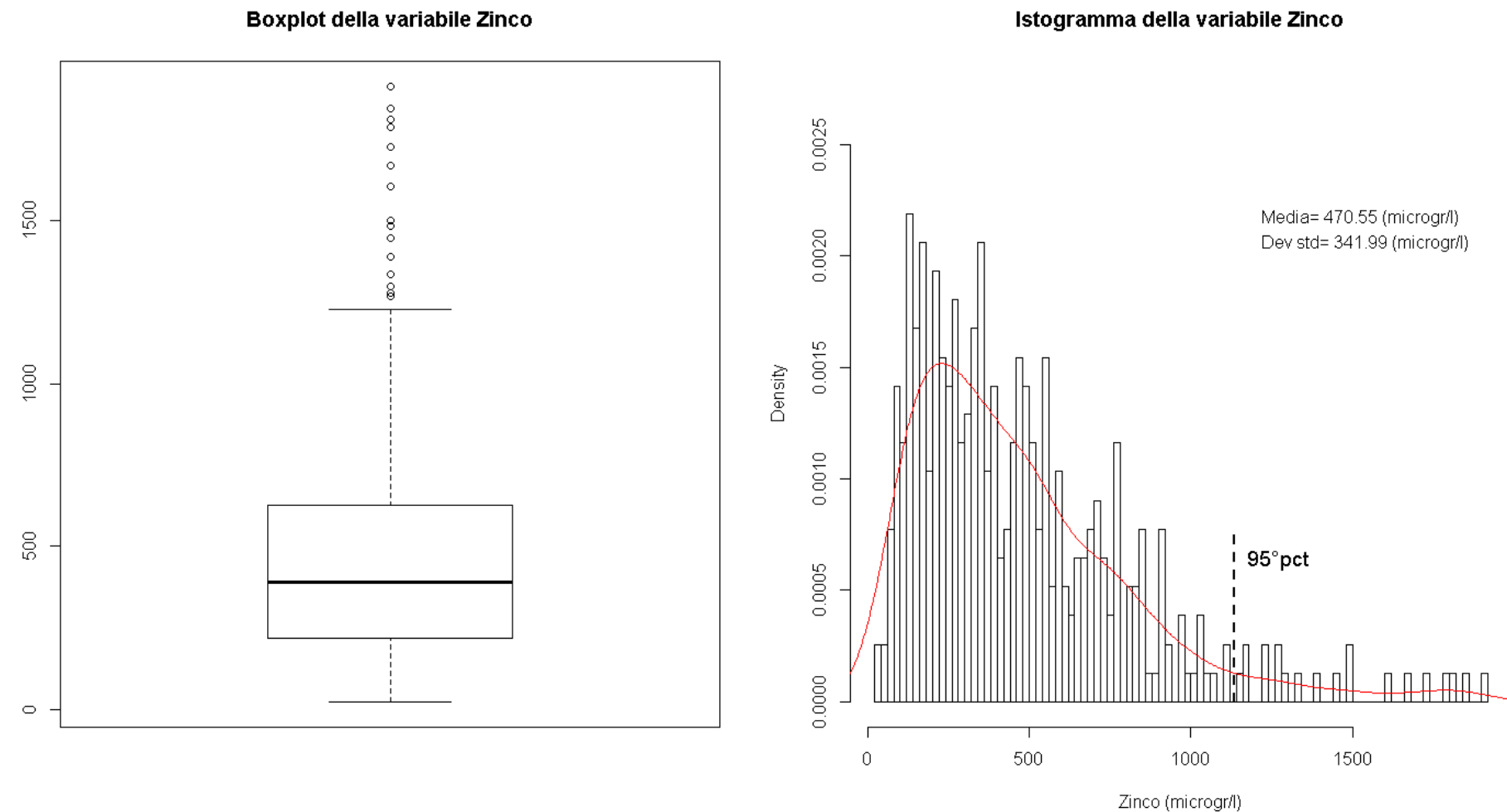
Test di Kruskal-Wallis: p-value<0.0001

Tab 126. Distribuzione valori di Zinco (Zn) ($\mu\text{g/l}$) per classi d'età

	<i>n</i>	<i>media</i>	<i>dev std</i>	5° <i>perc</i>	25° <i>perc</i>	50° <i>perc</i>	75° <i>perc</i>	95° <i>perc</i>	<i>min</i>	<i>max</i>	<i>IQR</i>	<i>range</i>
<i>31-40</i>	56	427	305	66	202	375	538	1023	22	1725	336	1703
<i>41-50</i>	117	496	354	116	240	392	647	1268	47	1844	407	1797
<i>51-60</i>	115	429	301	99	177	369	585	1017	35	1482	408	1448
<i>61-70</i>	100	513	385	102	245	424	688	1362	61	1912	443	1851

Test di Kruskal-Wallis: p-value=0.3081

Fig 36. Box plot e istogramma della distribuzione dei valori totali di Zinco (Zn) ($\mu\text{g/l}$)



Tab 127. Distribuzione valori di Piombo ($\mu\text{g/l}$) per zona di residenza

	<i>n</i>	<i>media</i>	<i>dev std</i>	5° <i>perc</i>	25° <i>perc</i>	50° <i>perc</i>	75° <i>perc</i>	95° <i>perc</i>	<i>min</i>	<i>max</i>	<i>IQR</i>	<i>range</i>
<i>resid T03</i>	152	21,17	12,76	4,95	11,80	18,01	27,05	45,08	1,25	63,48	15,25	62,23
<i>resid T01</i>	185	22,33	13,17	7,75	13,33	19,38	27,75	48,58	4,13	71,60	14,43	67,48
<i>Test di Kruskal-Wallis: p-value = 0,442</i>												
<i>totale</i>	337	21,81	12,98	6,52	12,37	18,48	27,05	46,95	1,25	71,60	14,68	70,35

Tab 128. Distribuzione valori di Piombo ($\mu\text{g/l}$) per sesso

	<i>n</i>	<i>media</i>	<i>dev std</i>	5° <i>perc</i>	25° <i>perc</i>	50° <i>perc</i>	75° <i>perc</i>	95° <i>perc</i>	<i>min</i>	<i>max</i>	<i>IQR</i>	<i>range</i>
<i>maschi</i>	167	23,77	13,61	6,95	13,88	21,20	32,05	48,43	1,25	70,65	18,18	69,40
<i>femmine</i>	170	19,88	12,06	5,84	11,75	16,71	24,39	44,08	2,88	71,60	12,64	68,73

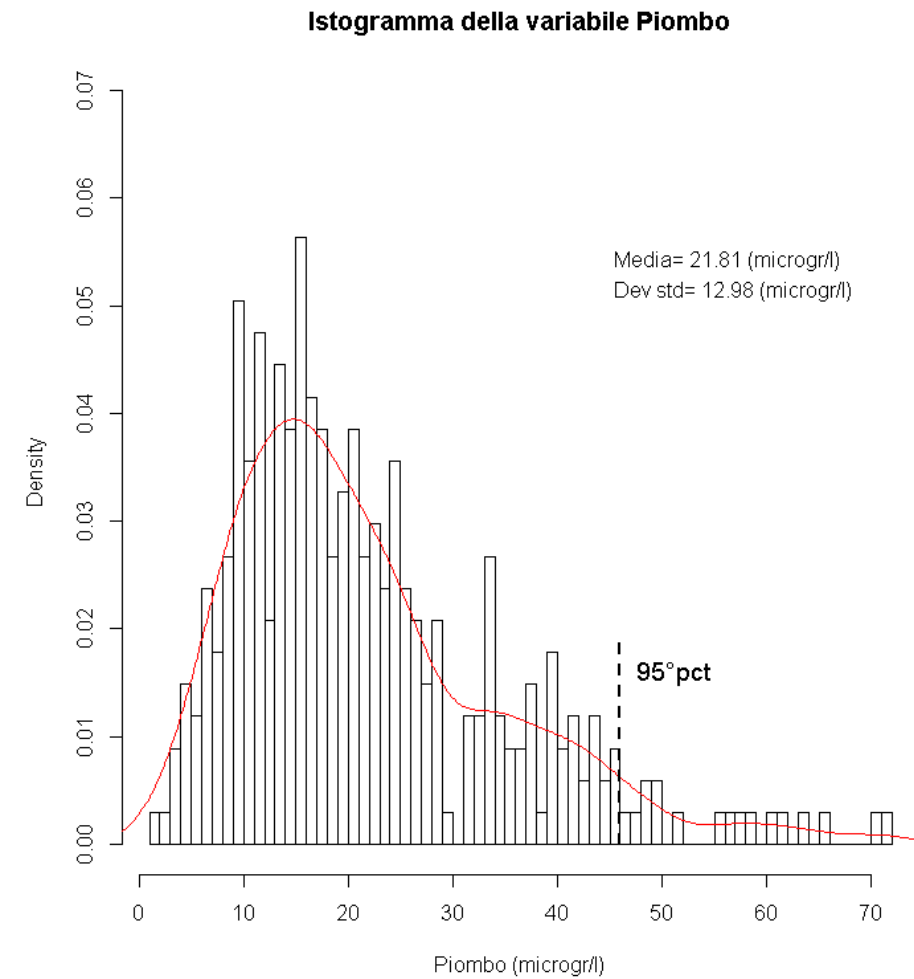
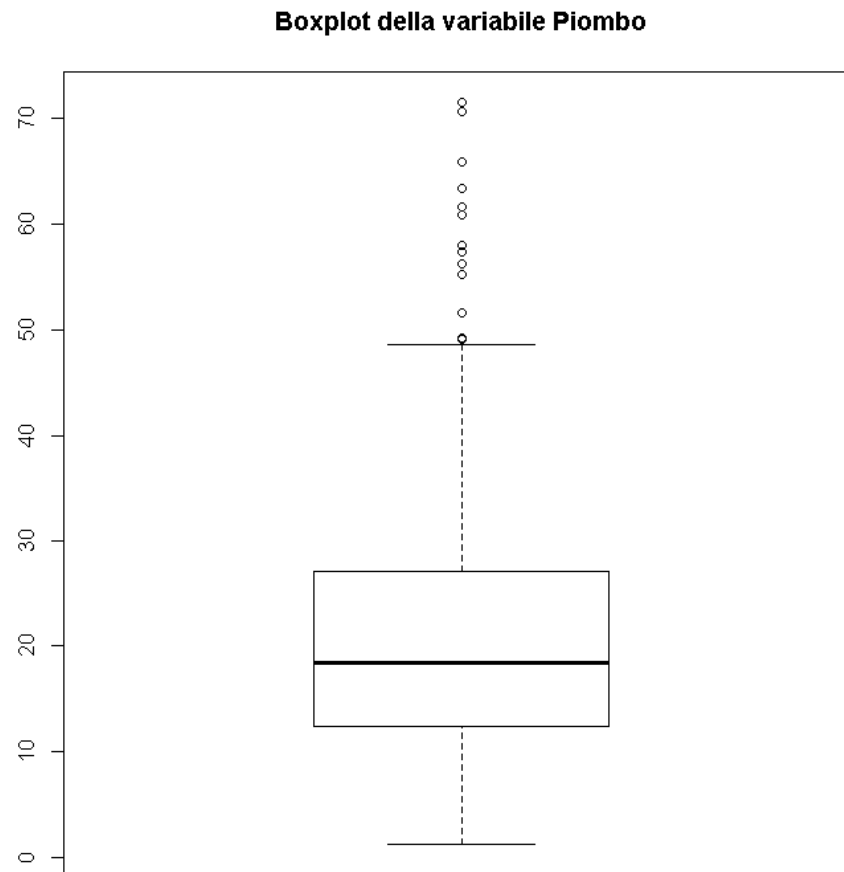
Test di Kruskal-Wallis: p-value = 0,002

Tab 129. Distribuzione valori di Piombo ($\mu\text{g/l}$) per classi d'età

	<i>n</i>	<i>media</i>	<i>dev std</i>	5° <i>perc</i>	25° <i>perc</i>	50° <i>perc</i>	75° <i>perc</i>	95° <i>perc</i>	<i>min</i>	<i>max</i>	<i>IQR</i>	<i>range</i>
<i>31-40</i>	49	17,89	11,14	5,45	11,18	16,05	21,43	39,90	1,25	65,88	10,25	64,63
<i>41-50</i>	105	17,51	9,49	5,62	10,88	15,80	20,78	39,75	3,38	45,08	9,90	41,70
<i>51-60</i>	102	25,92	14,29	8,20	15,65	22,89	34,08	56,28	2,88	70,65	18,43	67,78
<i>61-70</i>	81	24,56	13,99	7,15	13,58	22,23	33,30	49,08	4,28	71,60	19,73	67,33

Test di Kruskal-Wallis: p-value <0,0001

Fig 37. Box plot e istogramma della distribuzione dei valori totali di Piombo ematico ($\mu\text{g/l}$)



Tab 130. Numero di outliers ed estremi per i metalli

<i>Parametro</i>	<i>Numero outlier*</i>	<i>Numero estremi**</i>
<i>Arsenico</i>	18	27
<i>Berillio</i>	5	2
<i>Cadmio</i>	14	4
<i>Cobalto</i>	19	23
<i>Cromo</i>	13	11
<i>Rame</i>	14	5
<i>Mercurio</i>	22	8
<i>Iridio</i>	14	2
<i>Manganese</i>	13	11
<i>Nichel</i>	21	3
<i>Palladio</i>	19	14
<i>Platino</i>	18	15
<i>Rodio</i>	20	8
<i>Antimonio</i>	15	9
<i>Stagno</i>	17	14
<i>Tallio</i>	15	2
<i>Vanadio</i>	19	12
<i>Zinco</i>	13	5
<i>Piombo</i>	10	7

*Sono considerati outlier i valori superiori a $Q3 + 1,5(Q3-Q1)$

**Sono considerati estremi i valori superiori a $Q3 + 3(Q3-Q1)$; tali valori sono stati esclusi dall'analisi descrittiva dei dati.